



Muskuloskeletal radiologi **-påbyggnadskurs**

(nivå 2 enligt ESR)

Välkommen till kursen i muskuloskeletal radiologi som kommer att hållas i Göteborg den 12–15 maj 2025.

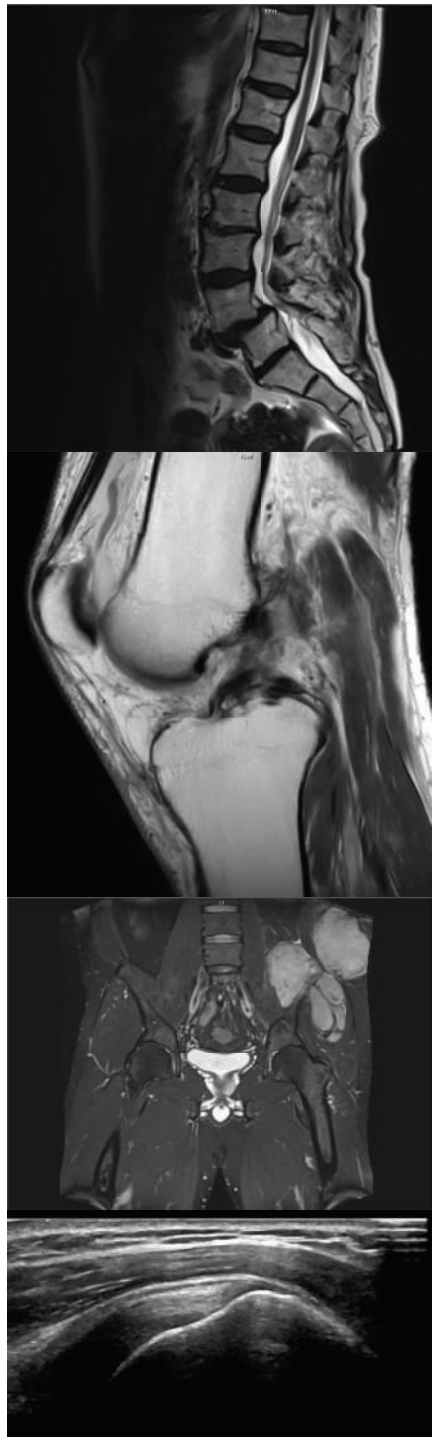
Målgruppen för kursen är ST-läkare (år 3–5) samt specialister som vill vidareutveckla och fördjupa sina kunskaper inom systematisk granskning av röntgenbilder, datortomografi, ultraljud och magnetresonans.

Målet med kursen är att träna på en systematisk bedömning av undersökningar och fördjupa de kliniskt viktiga aspekterna av muskuloskeletal radiologi inom områdena trauma, inflammationer, infektioner och tumörer inom alla modaliteter. En viktig del av kursen består av återkoppling från ortopeder. En stor del av kursen ägnas åt praktisk analys av undersökningar under handledning av en erfaren radiolog.

Pawel Szaro,
Sahlgrenska Universitetssjukhuset,
Göteborgs Universitet
Ordförande för Svensk Förening för
Musculoskeletal Radiologi (SFMSR)



Läs mer och anmäl
dig via QR-kod



<https://grk7mn.webwave.dev>



Program

12.05.2024 - Måndag

10:00–10:30: Välkommen, introduktion, information om subspecialisering inom muskuloskeletal radiologi (PS)

10:30–12:00: Knä (PS)

12:00–13:00: Lunch

13:00–13:45: Knä med olj demonstration (PS)

13:45–14:30: Axel (PS)

14:30–14:45: Fika

14:45–15:30: Axel med olj demonstration (PS)

15:30–16:30: Återkoppling från ortoped till radiologer – axel och knä (VG)

13.05.2024 - Tisdag

08:30–10:00: Tumördiagnostik (ZA)

10:00–10:30: Fika

10:30–11:15: Tumörer (HF)

11:15–12:00: Tumörer (HF)

12:00–13:00: Lunch

13:00–13:45: Återkoppling från ortoped till radiologer – tumörer (Tumörteamet)

13:45–14:15: Biopsier och interventioner (KG)

14:15–15:00: Inflammatoriska sjukdomar (KG)

15:00–15:15: Fika

15:15–16:30: Infektioner (PS)

14.05.2024 - Onsdag

08:30–10:00: Artros och proteser (KG)

10:00–10:30: Fika

10:30–12:00: Hand handled med olj demonstration (TS)

12:00–13:00: Lunch

13:00–14:00: Spondylartriter (MG)

14:00–15:00: Fot och fotled (PS)

15:00–15:15: Fika

15:15–16:30 Återkoppling från ortoped till radiologer – fotled (KH)

Kursmiddag kl.19:00

15.05.2024 - Torsdag

08:30–9:45: Metabola och genetiska sjukdomar (MG)

09:45–10:00: Fika

10:00–11:15: Höft (MG)

11:15–12:00 Återkoppling från ortoped till radiologer – höft (MS)

12:00–13:00: Lunch

13:00–14:30: Ryggdiagnostik (KG)

14:30–14:45: Fika

14:45–16:00: Armbåge med olj demonstration (PS)

16:00–16:30: Frågestund, quiz, kursavslutning (PS, MG)

Föreläsare:

MG: Mats Geijer¹, radiolog

PS: Paweł Szaro², radiolog

HF: Hanna Fogell¹, radiolog

KG: Khalidun Gataa³, radiolog

ZA: Zlatan Alagic², radiolog

TS: Tomas Söderman³, radiolog

VG: Vladislavs Gordins¹

KNH: Katarina Nilsson Helander¹

MS: Mikael Sansone¹

Tumörteamet¹

1. Sahlgrenska Universitetssjukhuset

2. Karolinska Universitetssjukhuset

3. Akademiska sjukhuset, Uppsala

Kurs: MRT ledar

18.09.2024

Pawel Szaro

Sahlgrenska University Hospital,
Gothenburg, Sweden.



@drpawelszaro

Muskuloskeletal radiologi -påbyggnadskurs

(nivå 2 enligt ESR)

Välkommen till kursen i muskuloskeletal radiologi som kommer att hållas i Göteborg den 12-15 maj 2025.

Målgruppen för kursen är ST-läkare (år 3-5) samt specialister som vill vidareutveckla och fördjupa sina kunskaper inom systematisk granskning av röntgenbilder, datortomografi, ultraljud och magnetresonans.

Målet med kursen är att träna på en systematisk bedömning av undersökningar och fördjupa de kliniskt viktiga aspekterna av muskuloskeletal radiologi inom områdena trauma, inflammationer, infektioner och tumörer inom alla modaliteter. En viktig del av kursen består av återkoppling från ortopeder. En stor del av kursen ägnas åt praktisk analys av undersökningar under handledning av en erfaren radiolog.

Pawel Szaro,
Sahlgrenska Universitetssjukhuset,
Göteborgs Universitet,
Ordförande för Svensk Förening för
Muskuloskeletal Radiologi (SFMSR)

Läs mer och anmäl
dig via QR-kod



1

Schema

8.00-8.10 Fika

8.10-8.15 Välkommen till kursen; *Pawel Szaro*

8.15-8.50 Introduktion till MR-teknik – *Seppo Koskinen*

Paus

9.00-10.00 MR Axel – rotatorkuff – *Pawel Szaro*

Paus

10.15-11.00 MR Axel – instabilitet, andra orsaker till axelsmärta –*Seppo Koskinen*

Paus

11.15-12.00 MR armbåge (1) stabilitet (senor och ligament) – *Pawel Szaro*

Paus – lunch

13.15-14.00 MR armbåge (2) övrigt (nerver, skelett, brosk) – *Pawel Szaro*

Paus

14.15-16.15 MR handled; *Seppo Koskinen*

16.15 Avslutning och kursutvärdering; *Pawel Szaro*

2

INTRODUKTION TILL MR-TEKNIK

ST-kurs Muskuloskeletal MR - Övre extremitet
RÖNTGENVECKA 2024 ÖREBRO

SEppo Koskinen, M.D., Ph.D

Enheten för radiologi

Institutionen för klinisk vetenskap, intervention

och teknik (CLINTEC)

Karolinska Institutet/Karolinska Universitetssjukhus

Radiolog, Terveystalo

Konsult, ME Radiologi KS Solna



DISPOSITION

- MR LEDER - ALLMÄNT
- MR-SEKVENSER

1

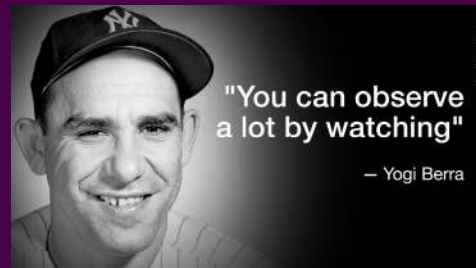
2

LÄRANDEMÅL

- Förtstå allmänna krav och förutsättningar för en MSK-MRT av hög kvalité
- Förtstå och förklara MR sekvensernas för- och nackdelar i klinisk MSK radiologi, ffa ang. ledet



3



4

LEDER

- BRA BILDER
 - Inga rörelseartefakter
 - Bra anatomisk upplösning
 - FOV 8-16 cm
 - Matris > 256
 - Snitt \leq 3 mm
 - Använd en passlig spol
 - Ha rätta sekvenser

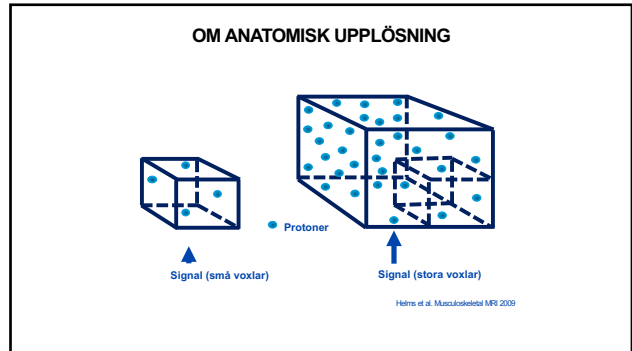


5

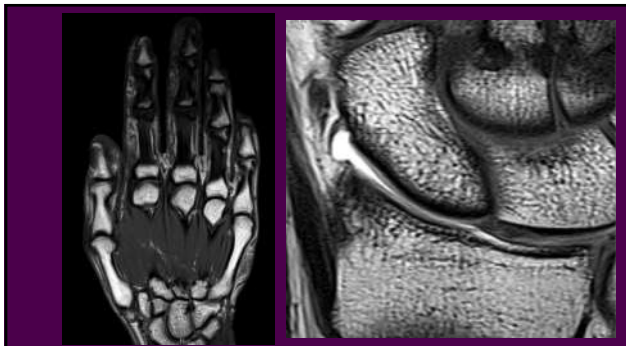
6



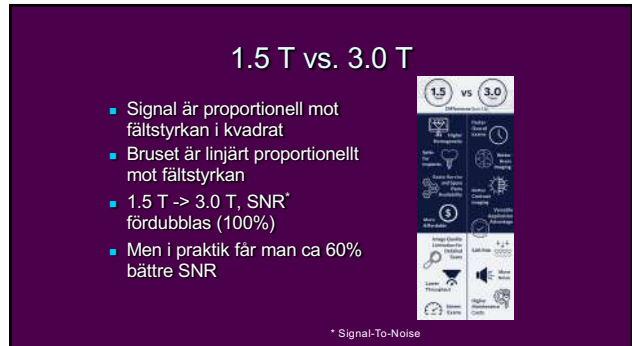
7



8



9



10

- ### MÅL
- Visualisera anatomin (hög upplösning)
 - Visualisera patologiska tillstånd (fatsat)
 - Beskriva och karakterisera patologiska tillstånd
 - I tre plan (AX, SAG, COR)
 - För att kunna diagnoseras ledernas patologiska tillstånd

11

Sekvens	Ekotid (TE)
T2	>60 ms
Intermediär	30-60 ms
PD	10-30ms

⚠️

2D-FSE

12

2D-FSE

- ETL < 10 för PD/IM annars blir bilderna suddiga/oskarpa
- TE < 40 ms, kom ihåg magisk vinkel-artefakt
- TE < 50 ms maksimerar SNR
- TR > 3000 ms bra kontrast mellan brosk och ledvätska

13

FETTSUPPRIMERING

- Att framhäva vätska och ödem för att detektera och karakterisera patologiska förändringar
- Mycket viktigt i dagens MSK MRT

14

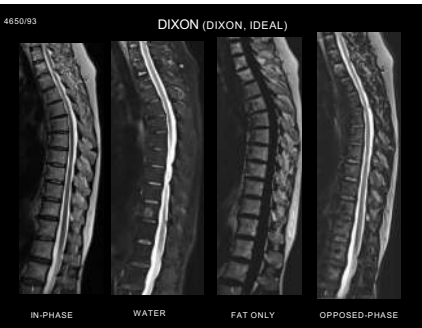
FETTSUPPRIMERING

- CHEMICAL SHIFT ("FAT SAT")
 - CHESS- chemical shift based fat suppression
 - WATER EXCITATION (DESS, VIBE, COSMIC)
 - DIXON
- INVERSION
 - STIR – short TI inversion recovery
 - SPIR - spectral presaturation with inversion recovery
 - SPAIR – spectral adiabatic inversion recovery

15



16



17

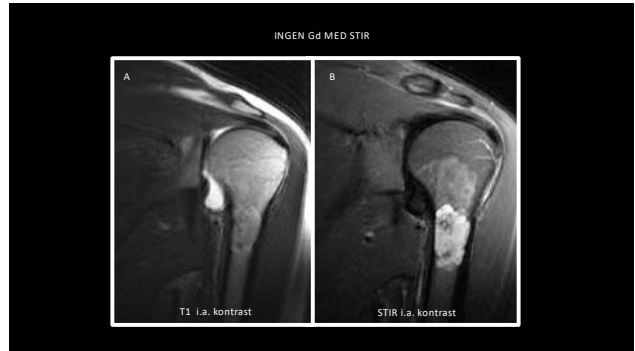
FETTSUPPRIMERING

- INVERSION
 - STIR – short TI inversion recovery
 - SPIR - spectral presaturation with inversion recovery
 - SPAIR – spectral adiabatic inversion recovery
- STIR – ingen Gd
- SPIR/SPAIR – Gd OK

18



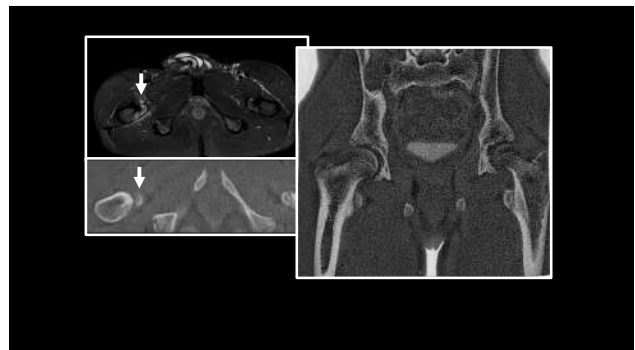
19



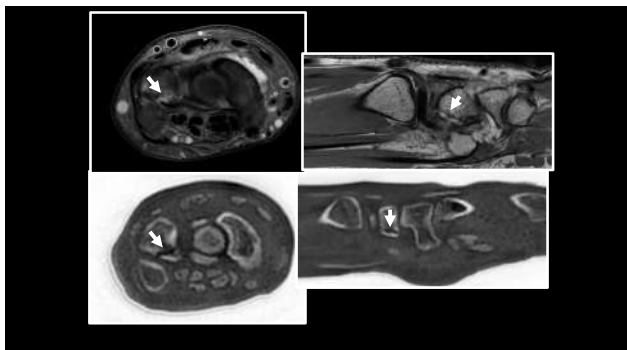
20



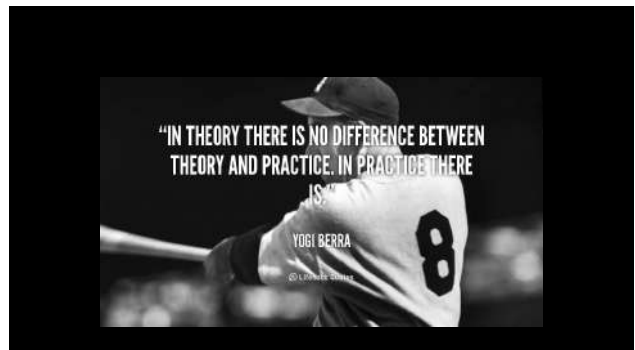
21



22



23



24

MÅL

- Visualisera anatomin (hög upplösning)
- Visualisera patologiska tillstånd (fatsat)
- Beskriva och karakterisera patologiska tillstånd
- I tre plan (AX, SAG, COR)
- För att kunna diagnostisera ledernas patologiska tillstånd

25

APPROACH

- PD/T2 fatsat
 - Brosk, ligament, benmärg, ödem, vätska
- T1
 - benmärg
- PD
 - Anomi, tendinos
- T2* för hemosiderin, kondrokalsinos

26

HYALINBROSK

- Cellularmatrix: kondrosyter 4%
- Extracellulärmatrix:
 - Collagen II (15-20%)
 - Proteoglykaner (3-10%)
 - Vatten (65-85%)
 - GAG

27

HYALINBROSK

- Senare broskdegeneration
 - Nedbrytning och minskning av proteoglykaner
 - Ulceration – flöde av proteoglykaner till ledvätska
 - Vatten  → förmåga att tåla belastning 

28

SEKVENS

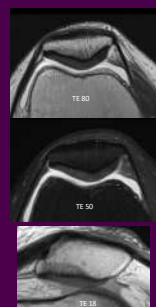
- 2D IM-v FSE med och utan fatsat
- 3D FSE (CUBE, SPACE)
 
- SPGR
- FLASH

29



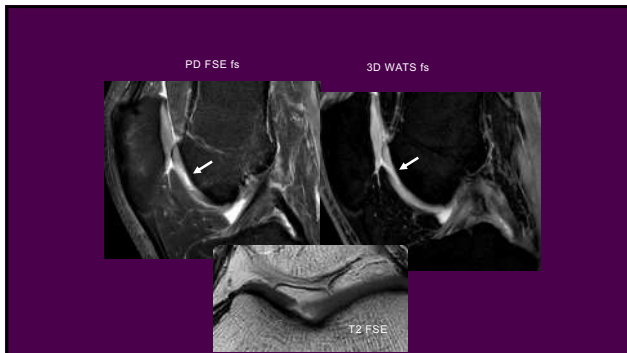
2D-FSE

Sekvens	Ekotid
T2	>60 ms
Intermediär	30-60 ms
PD	10-30ms



Loh TM. MR imaging in osteoarthritic knee joints and synovitis. Radiol Clin North Am 2009;47:617-32.

30



31

MRT ledar - undersökningssteknik

IM/T2 Fat Sat* FSE x 3
+
T1 / PD / T2

LÄGG TILL
T2* för hemosiderin, kondrokalsinos

*IM FSE 3100/34, T2-viktad FSE 4000/50

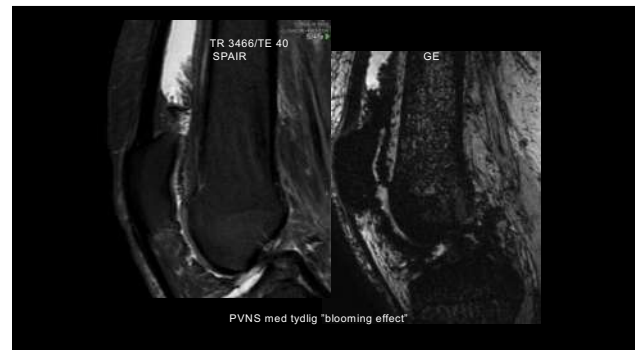
32

MERA SEKVENSER

- 3D FSE (CUBE, SPACE)
 - Isotropiska voxelar
 - Roll i MSK MR är (fortfarande) oklar
 - Att minska bruset kan minska us tiden avsevärt
- DWI ?
- DESS
- VIBE
- FIESTA
- FSPGR
- SPGR
- FLASH

} gradient eko, också i 3D

33



34

MIN PERSONLIGA OPINION

- GRADIENT EKO BILDER HAR BEGRÄNSAD ROLL I MSK MRT

35

VIKTIGT

- En sekvens som är ödemsensitiv / vattensensitiv/ water sensitive

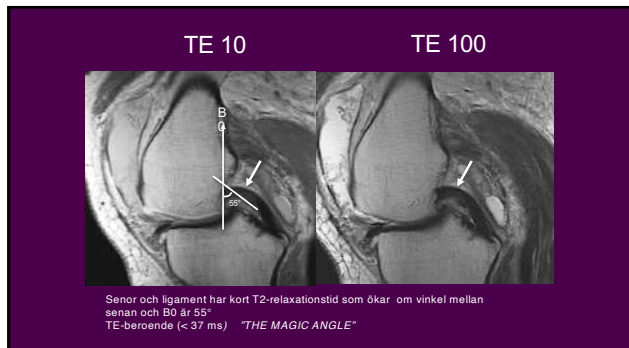
36

- MRA - magnetresonansartrografi**
- = intra-artikulär kontrast med utspätt Gd
 - Bättre diagnostik och med större konfidens
 - T1 fästsat x 3 + 1 vattensensitiv sekvens
 - T1/T1 fs + IM sekvenser
 - Indikationer bl.a.
 - Axel, höft labrumrupturer
 - Cuff-rupturer
 - TFCC, SL, LT rupturer i handled
 - Postoperativ menisk
 - Ligamentskador i ambåge
 - Intra-artikulära fria fragment
 - Komplikationsfrekvensen är extremt låg (6/13300)
- Hugh PC, Newberg AH, Newman JS, Wetmore SM. Complications of arthrography. *Semin Musculoskeletal Radiol* 1998;2(4):345-8.

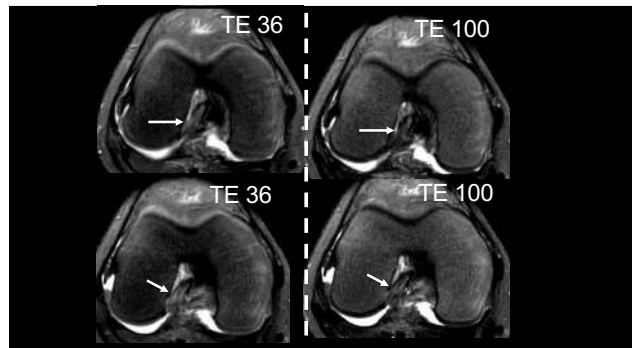
37

FALLGROPAR MED (FÖR) KORT TE

38



39



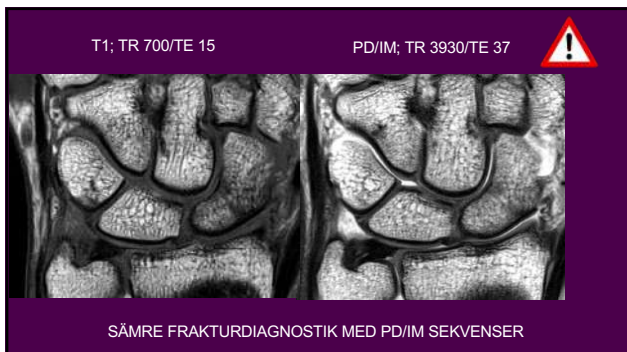
40



41



42



43



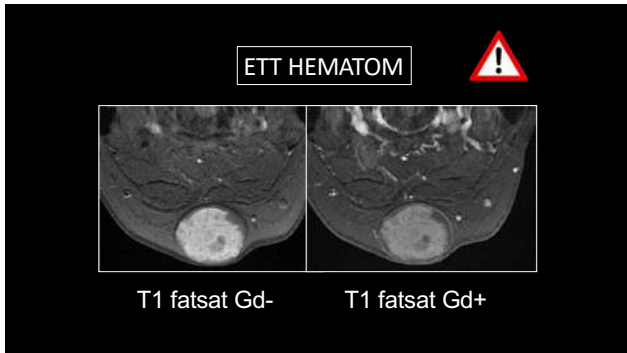
44



45



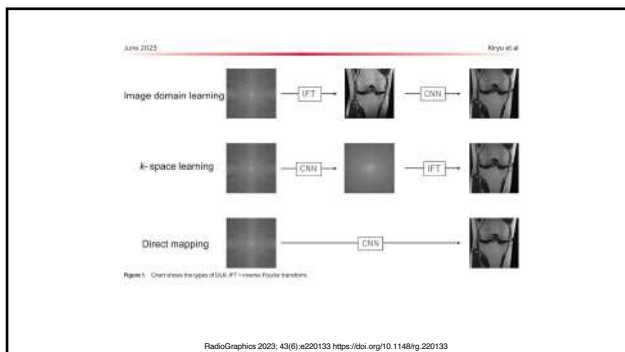
46



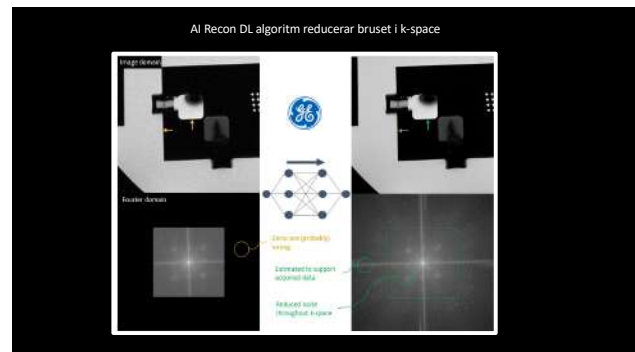
47



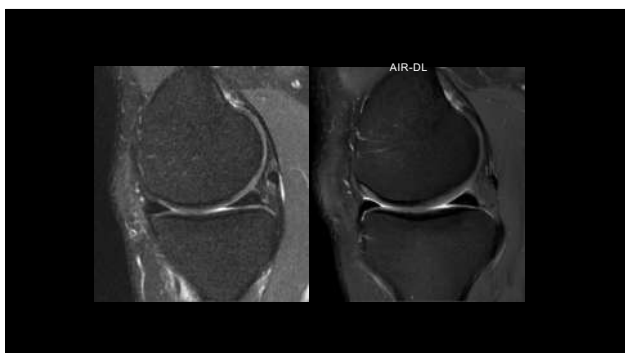
48



49



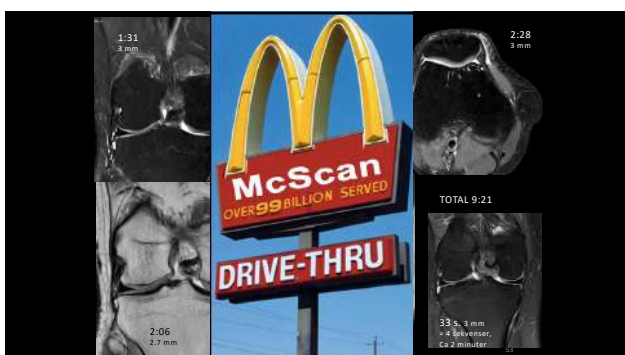
50



51



52



53



54



55



56

Fat suppression techniques

```

graph TD
    A[Fat suppression techniques] --> B[Chemical shift based]
    A --> C[Inversion based]
    A --> D[Hybrid]
    B --> E[CHESS  
FatSat]
    B --> F[Water excitation]
    C --> G[Dixon techniques  
Fat water separation]
    C --> H[STIR]
    C --> I[SPAIR]
    C --> J[SPR]
  
```

Table 1: Advantages and Disadvantages of Different Fat-Suppression Techniques in Musculoskeletal MR Imaging

Technique	Imaging Time	SNR	SAR	Effect of Metal	B ₁ Sensitivity	B ₂ Sensitivity	Preferred Field Strength
Chemical fat saturation	Short*	High	Medium	Strong	Sensitive	Sensitive	High
STIR	Long	Low	High	Minimal	Inensitive	Inensitive	Indifferent
SPAIR	Long	High	High	Strong	Sensitive	Sensitive	High
SPR	Long	High	High	Strong	Sensitive	Inensitive	High
Water excitation	Short	High	Low	Strong	Sensitive	Inensitive	Medium†
Dixon	Long	High	Low	Minimal	Inensitive (three- or four-point Dixon)	Inensitive	Medium‡

Grande et al. Fat-Suppression Techniques for 3-T MR Imaging of the Musculoskeletal System. RadioGraphics 2014; 34:217–225

57



58



59



60

LEDER

- Gradient eko GE T2*

+

-

- ligament (bra upplösning)
- fria fragment, små blödningar (susceptibilitet artefakter från hemosiderin)
- (mycket) låg sensitivitet för benmärgspatologi
- omfattande metallartefakter
- "magisk vinkel"

LEDER

STIR

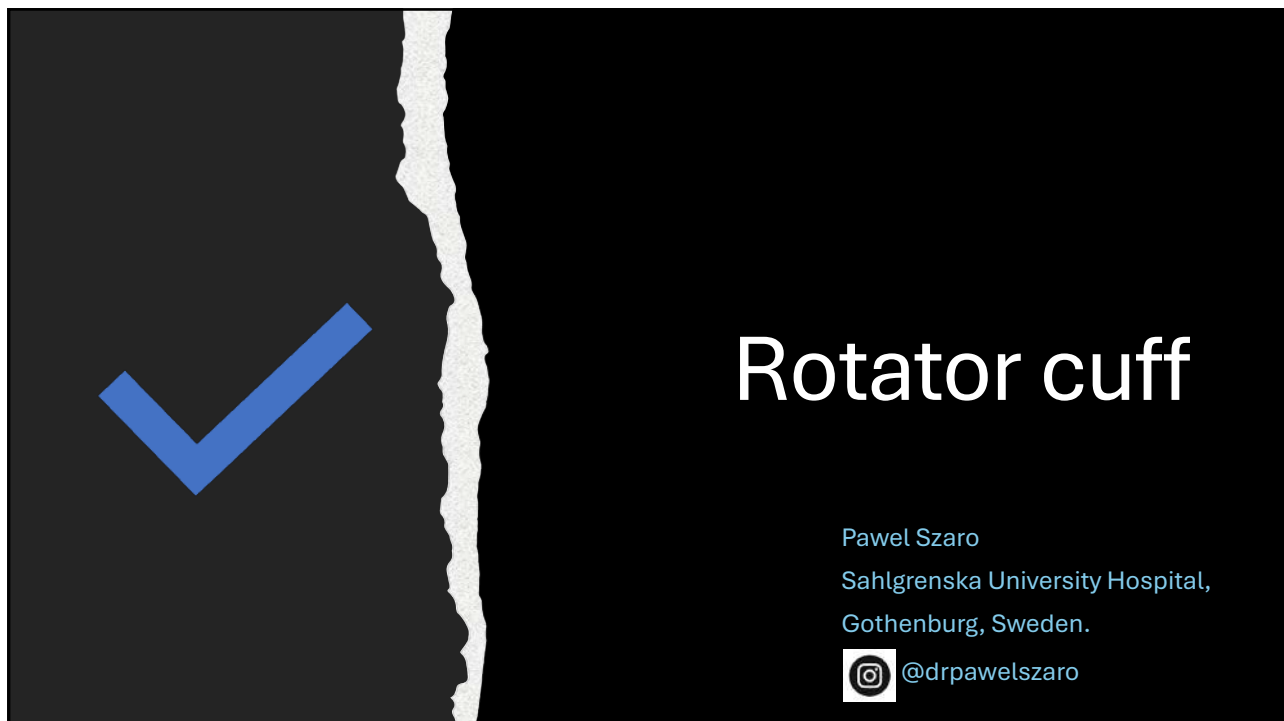
+

-

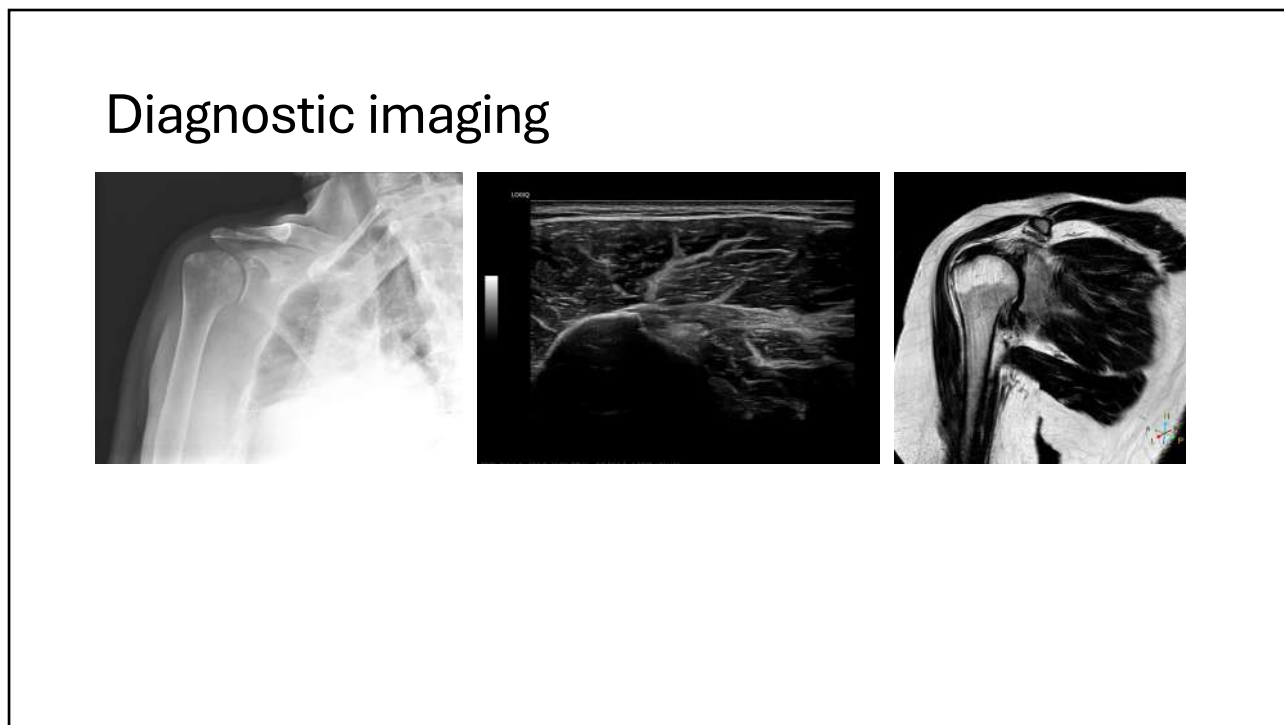
- ben-mjukdelspatologi
- homogen fettsupprimering
- relativt låg SNR
- inte med Gd

61

62

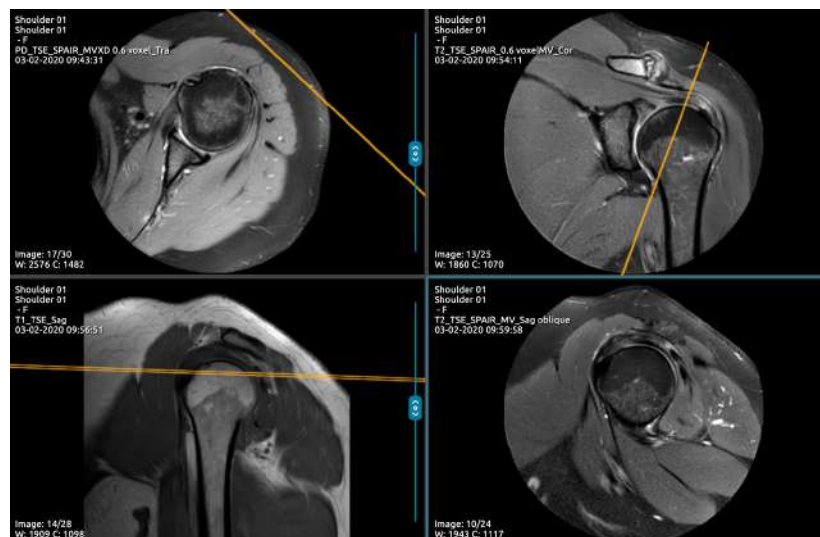


3



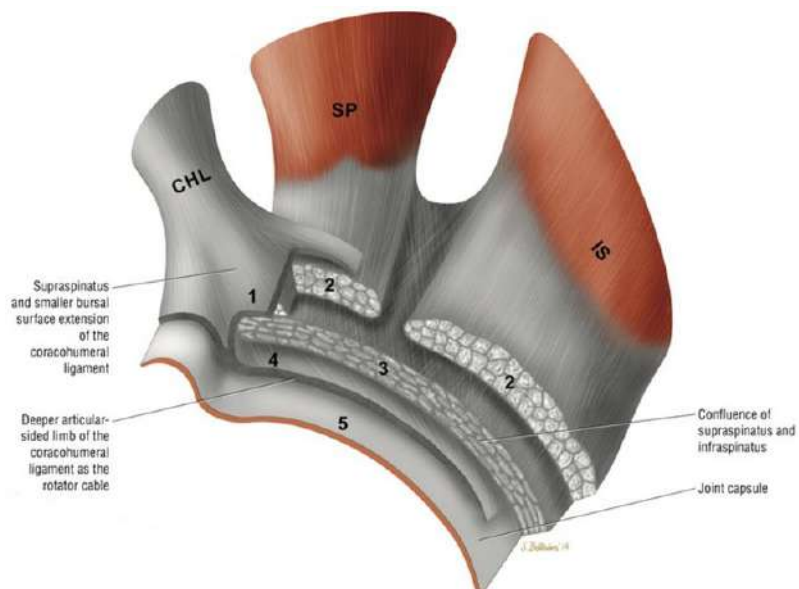
4

MRI



5

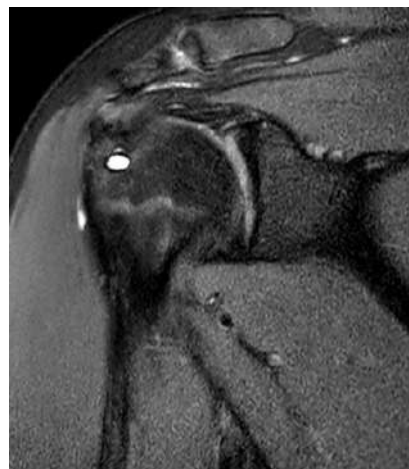
Rotator cuff



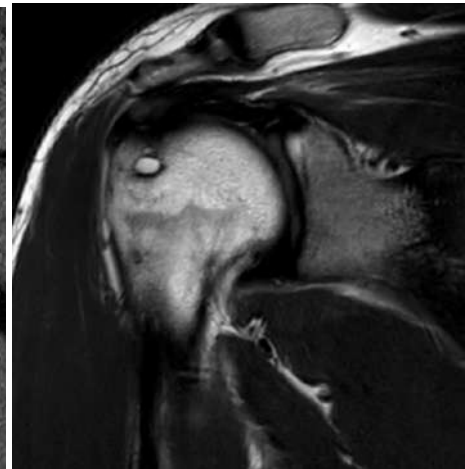
6

Tendinosis

- Förtjockad sena
- Högsignalförändringar – obs magic angle
- Andra degenerativa förändringar tex cystor vid infästningen
- Avsaknad av parallella, linjära fibrer
- Vanligen äldre patienter



PD FS

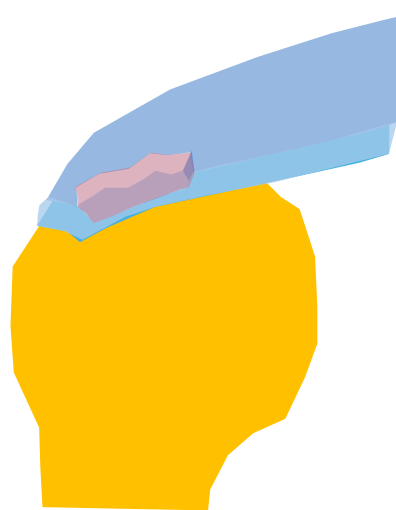


T2

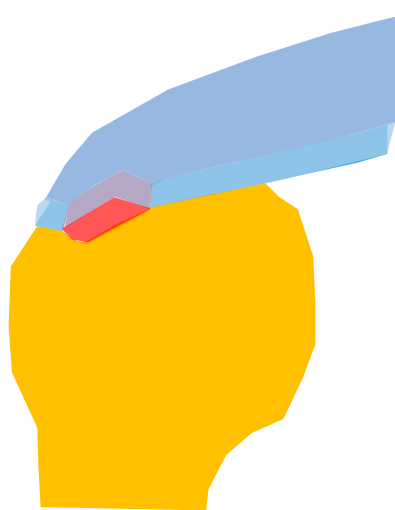
7

7

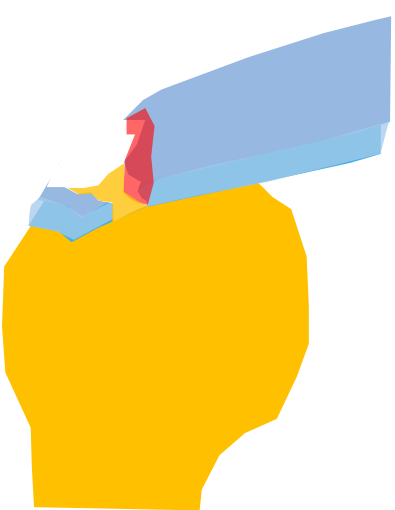
Terminology



Partial – ej genomgånde



Partial – genomgånde

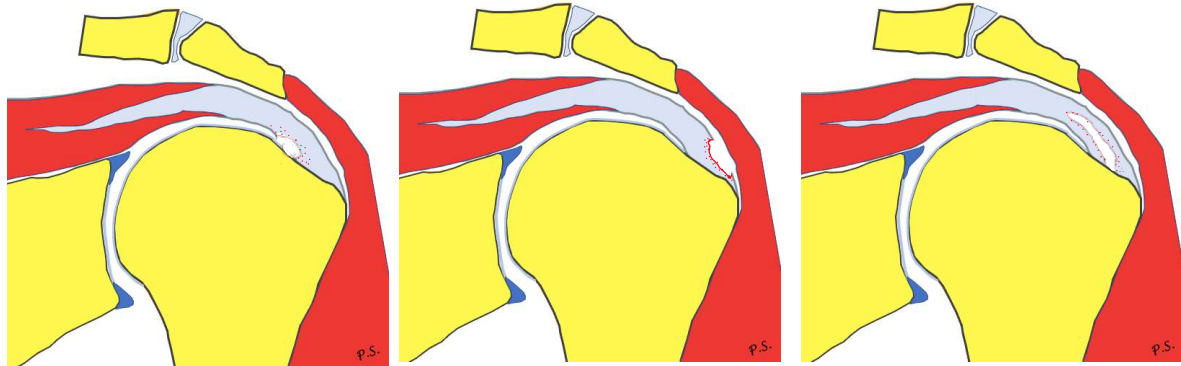


Total – genomgånde

8

4

Rupture



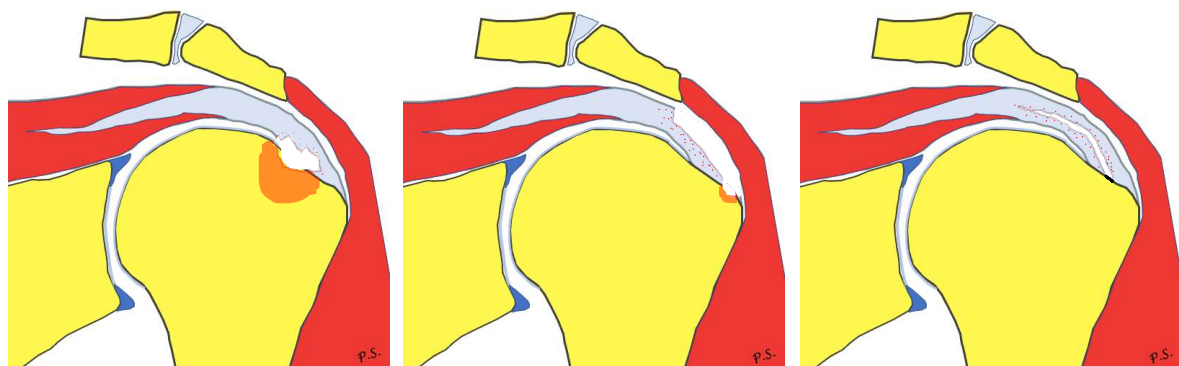
articular side
rim rent

bursal side

intrasubstance

9

Rupture



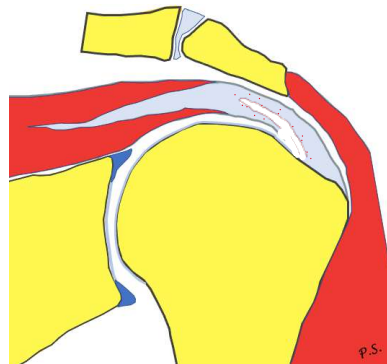
PASTA
partial articular supraspinatus
tendon avulsion

Reverse PASTA

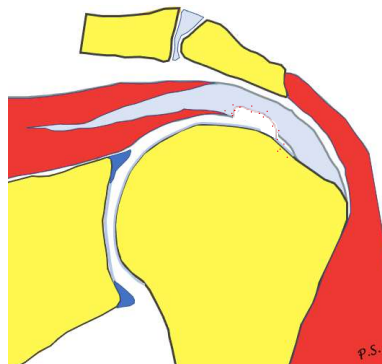
PITA

10

Rupture



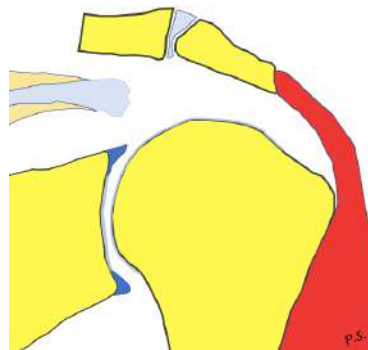
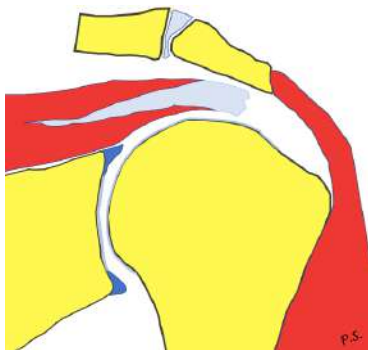
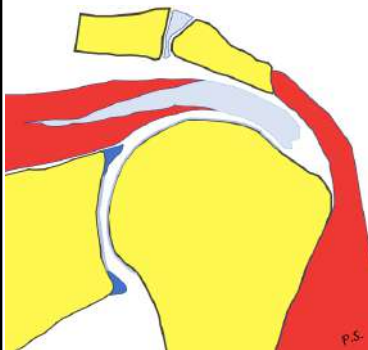
PAINT
partial articular-sided
with interstitial extension



STAS
Supraspinatus Tendon Articular Side

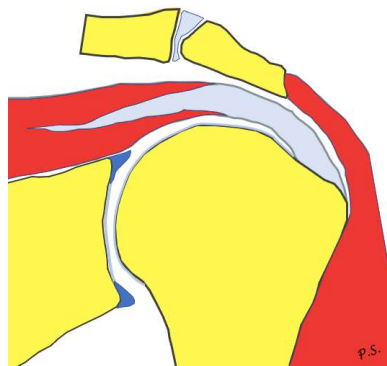
11

Retraction (Patte)

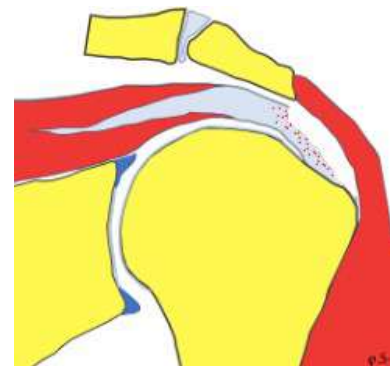


12

Grading

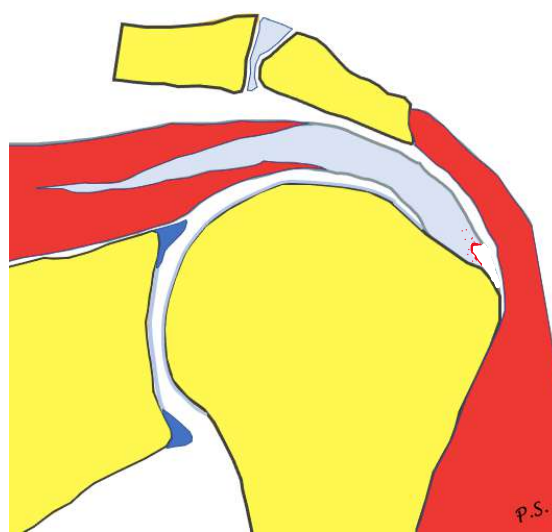


1. <3 mm
2. 3-6 mm
3. >6 mm

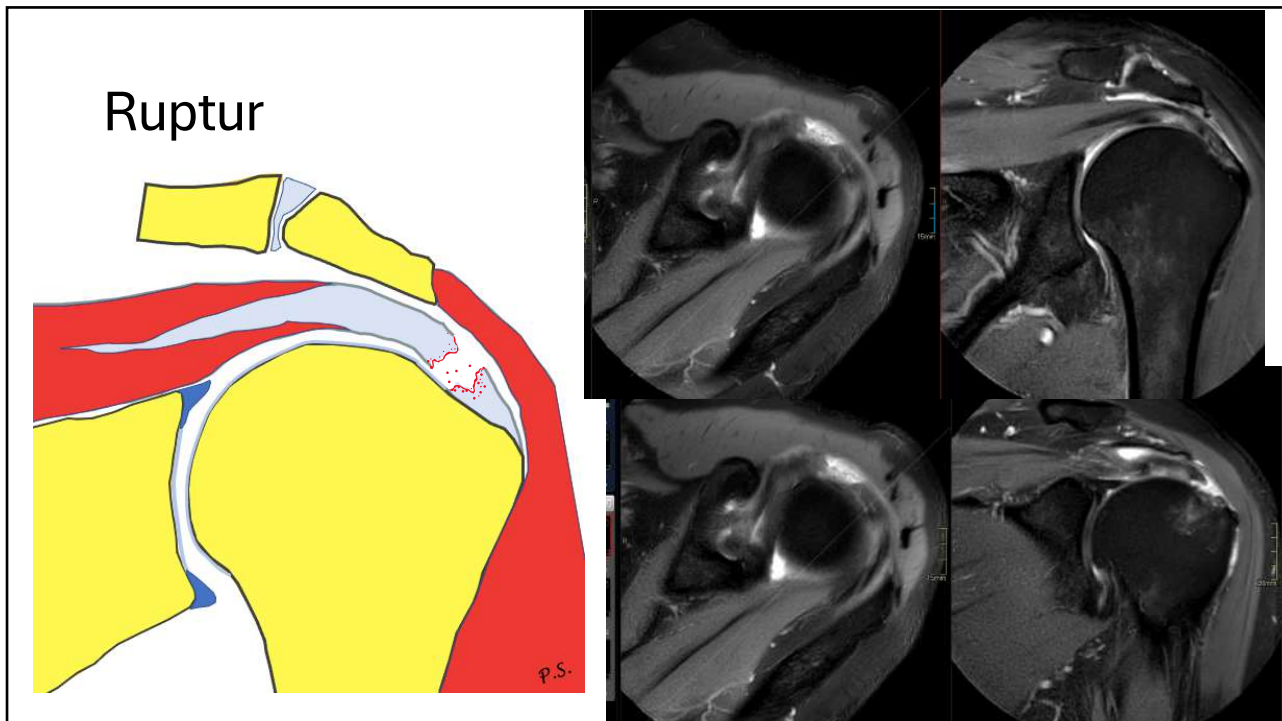


13

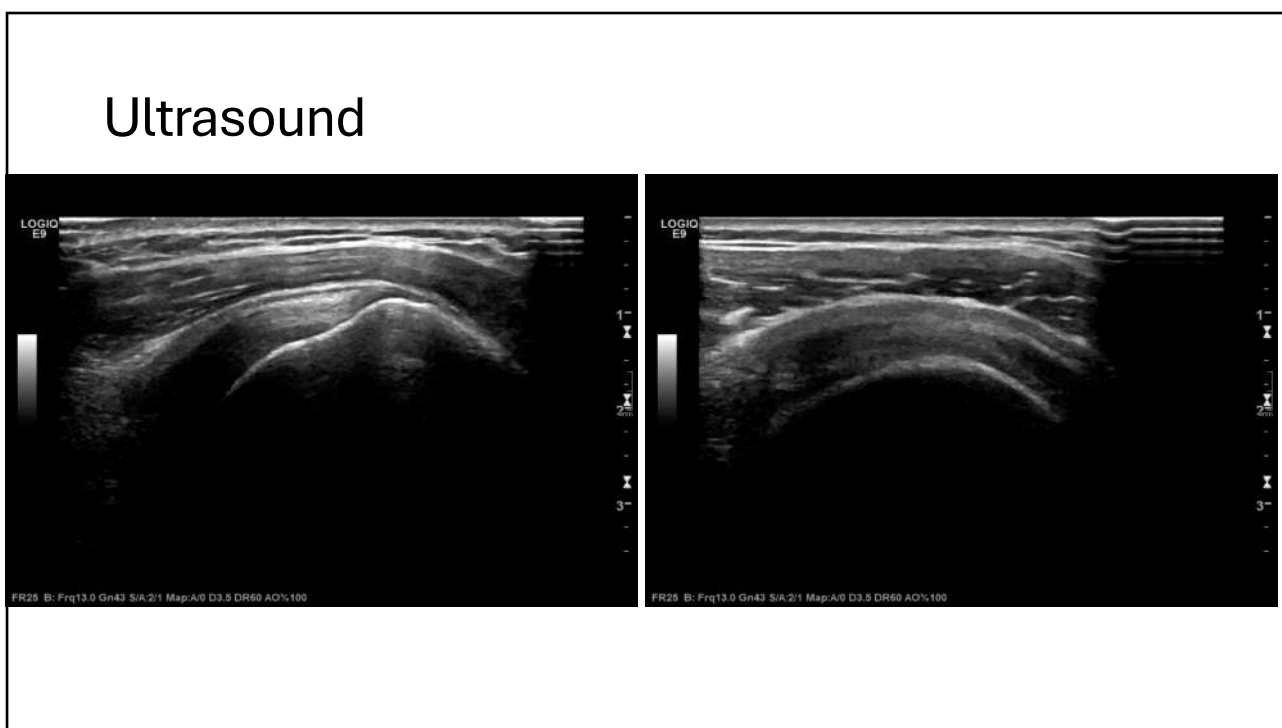
Rupture



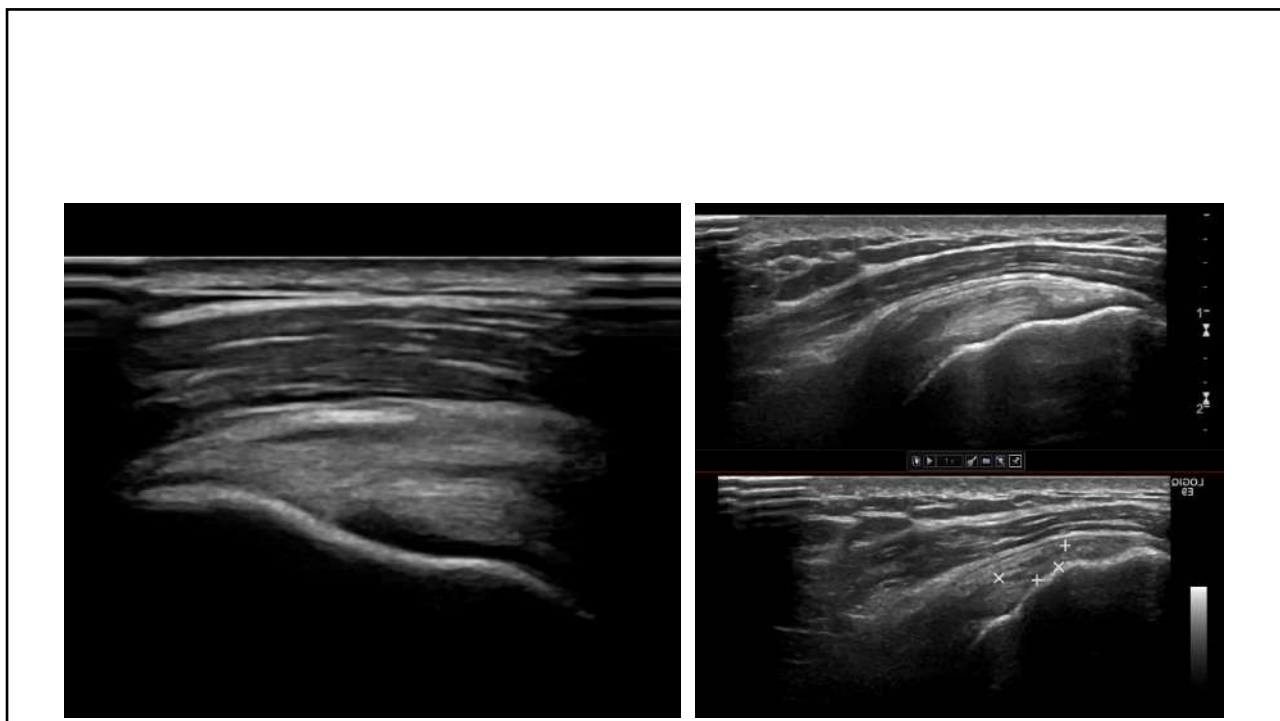
14



15

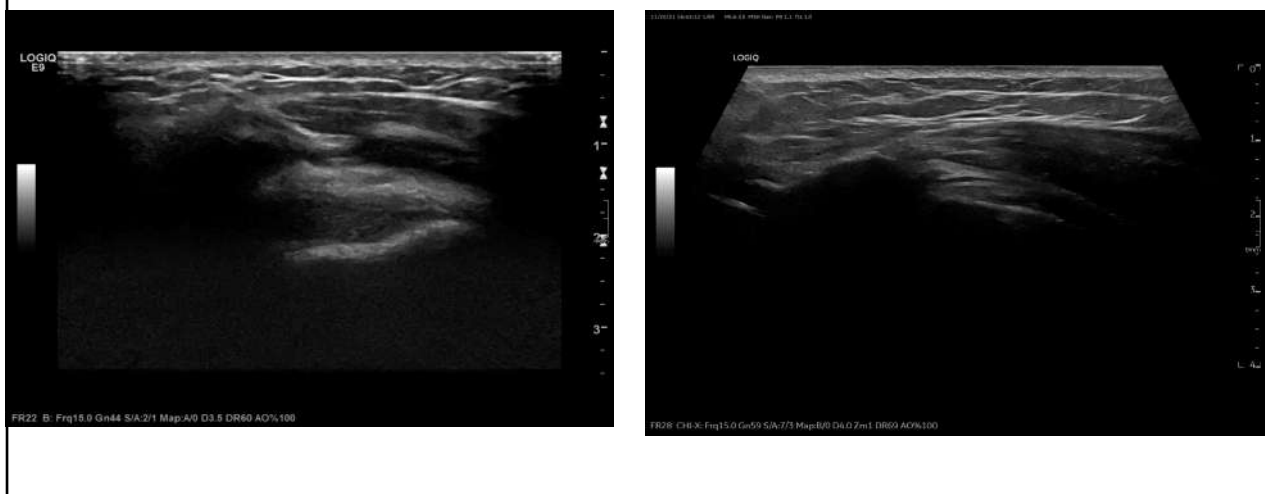


16



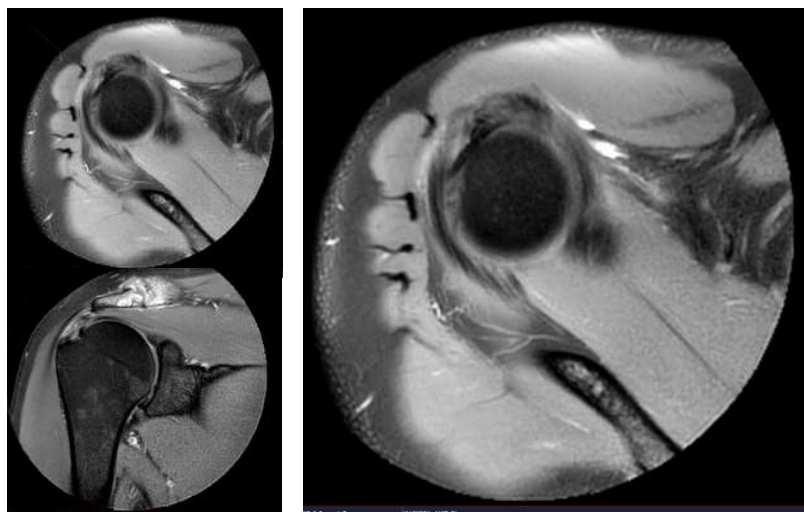
17

Subacromial impingement



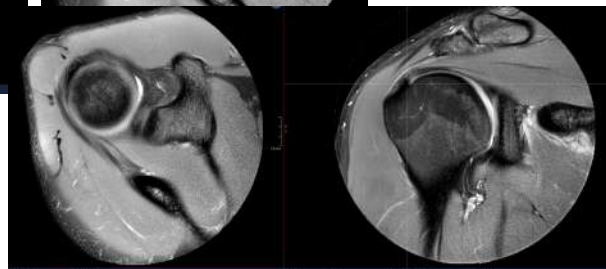
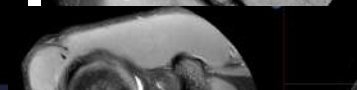
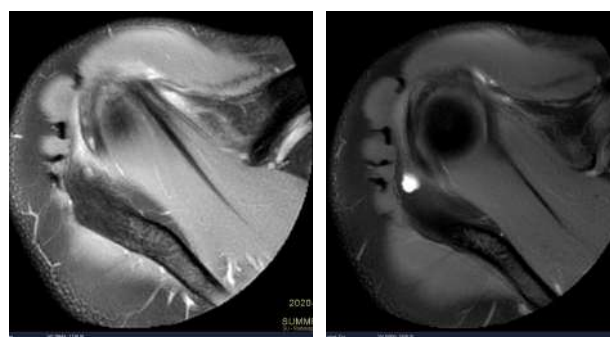
18

Rotator cable



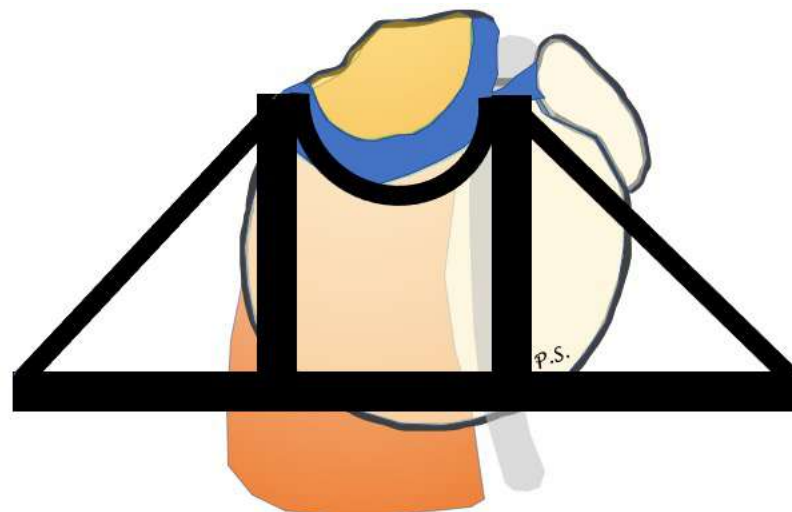
19

Rotator cable



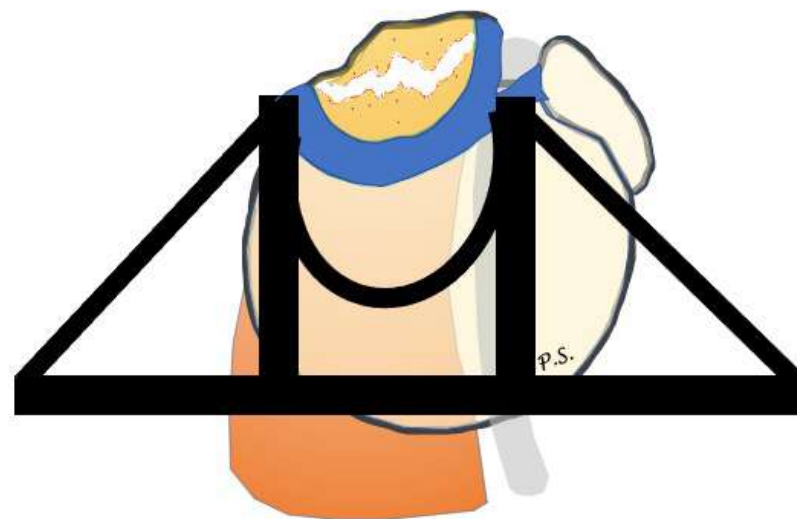
20

Biomechanical suspension-bridge model for a rotator cuff tear



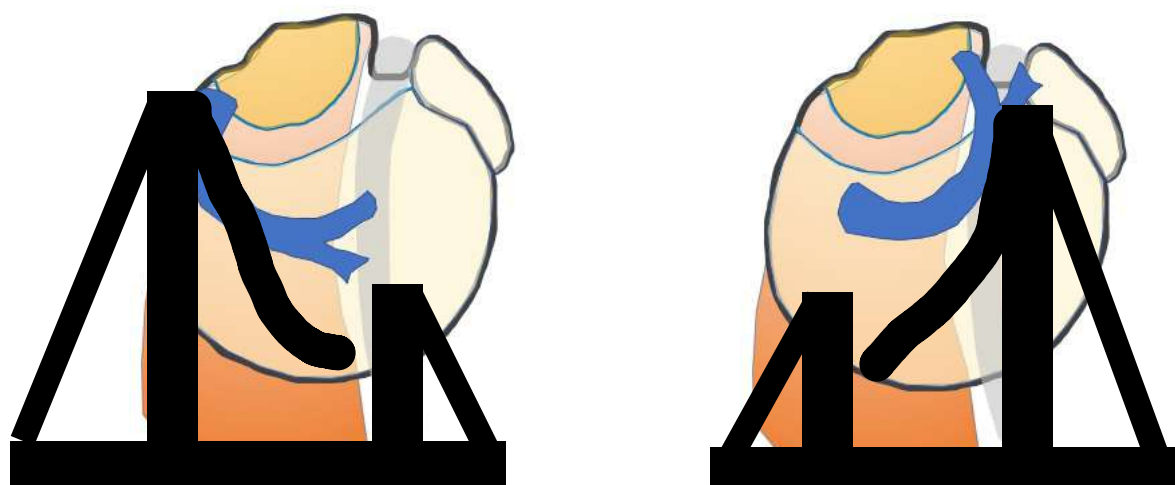
21

Biomechanical suspension-bridge model for a rotator cuff tear



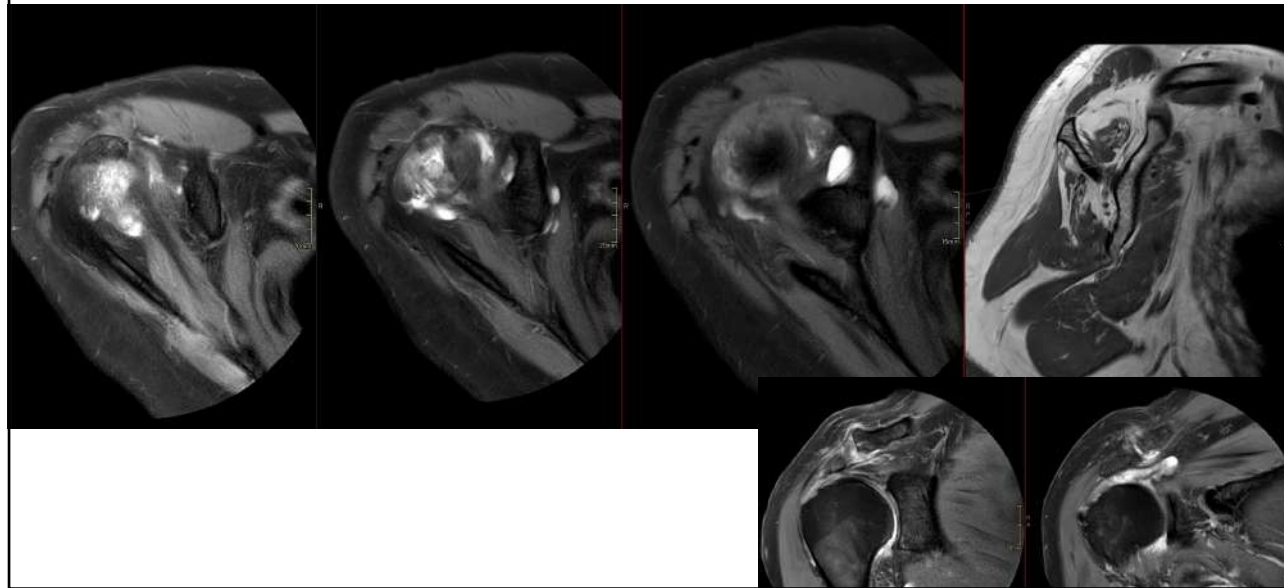
22

Biomechanical suspension-bridge model for a rotator cuff tear



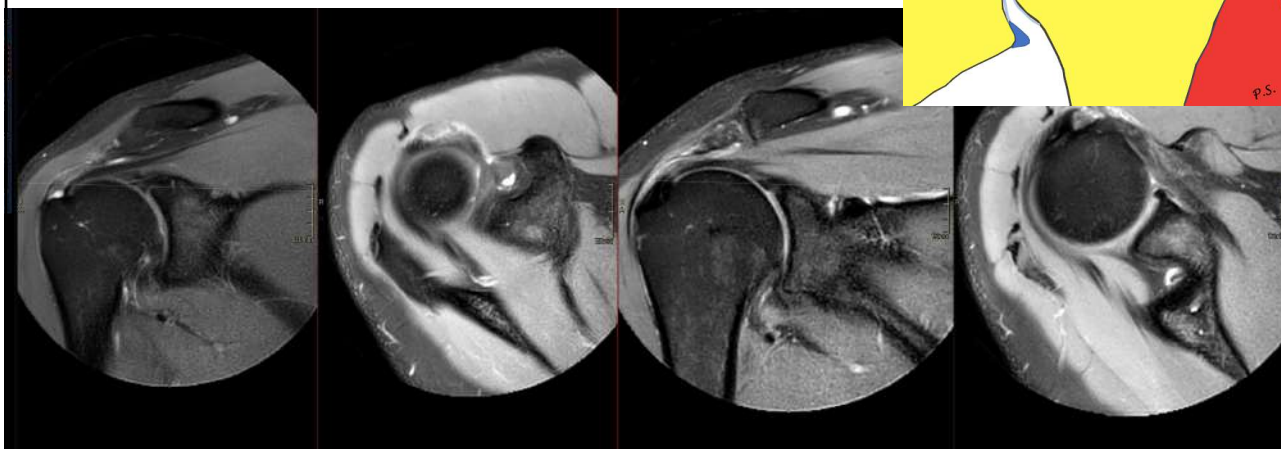
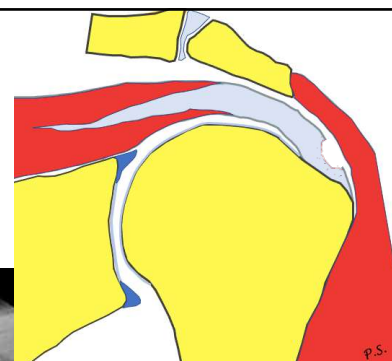
23

Kabel



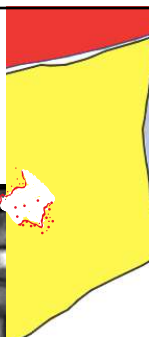
24

Rupture



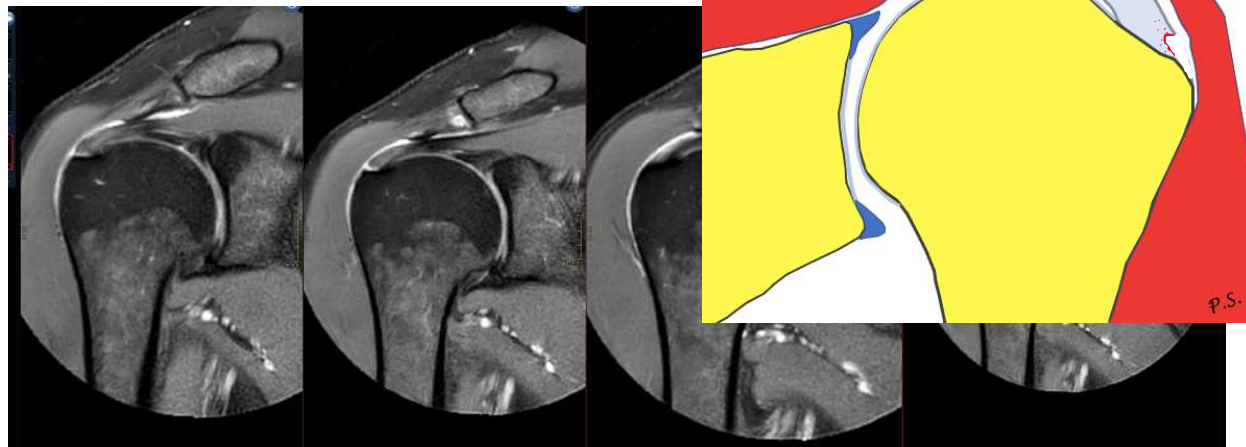
25

Rupture



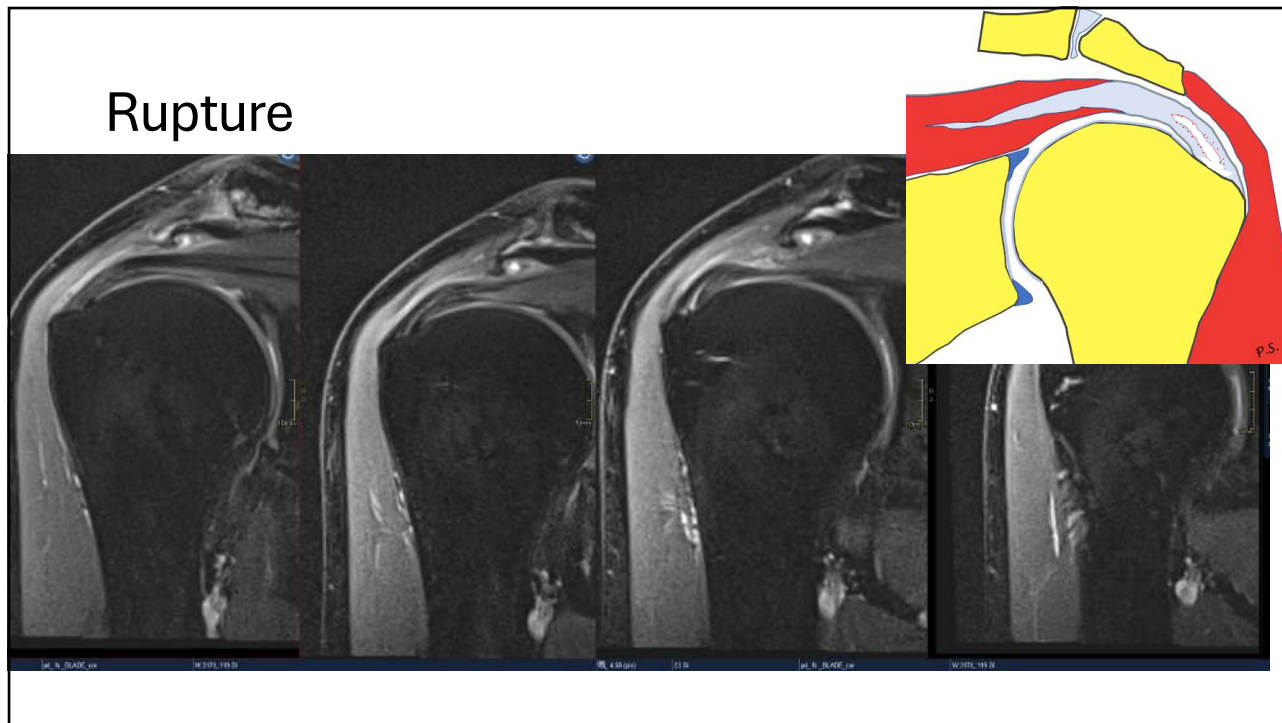
26

Rupture



27

Rupture



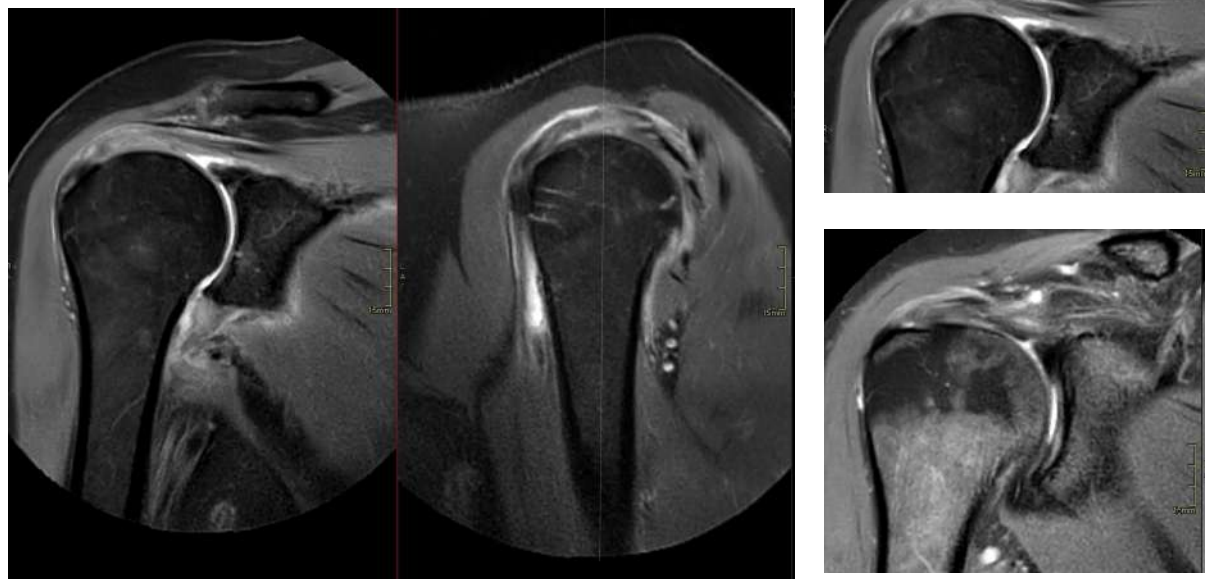
28

Rupture



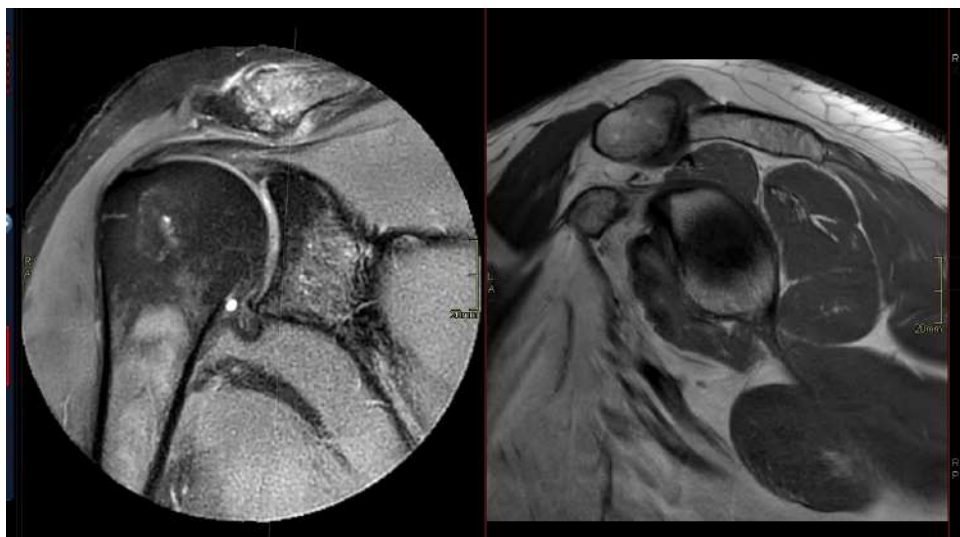
29

Tendinosis



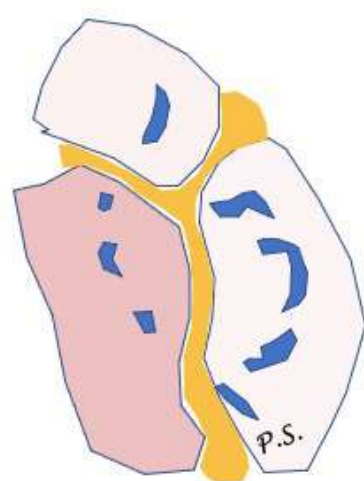
30

Impingement

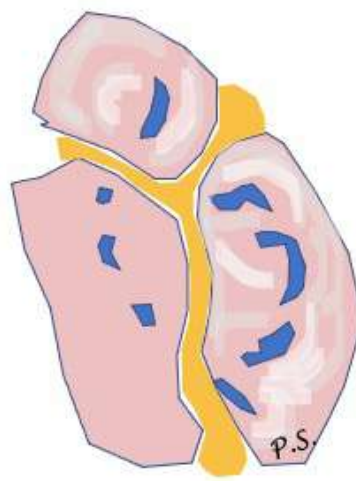


31

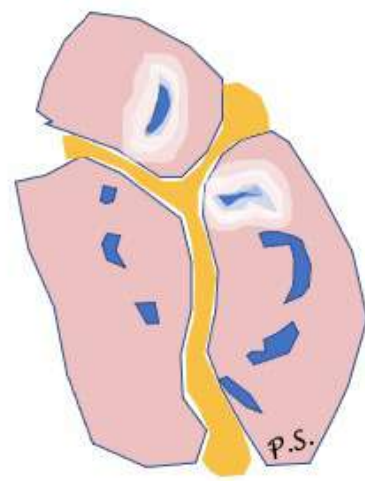
Nerve



Nerve entrapment

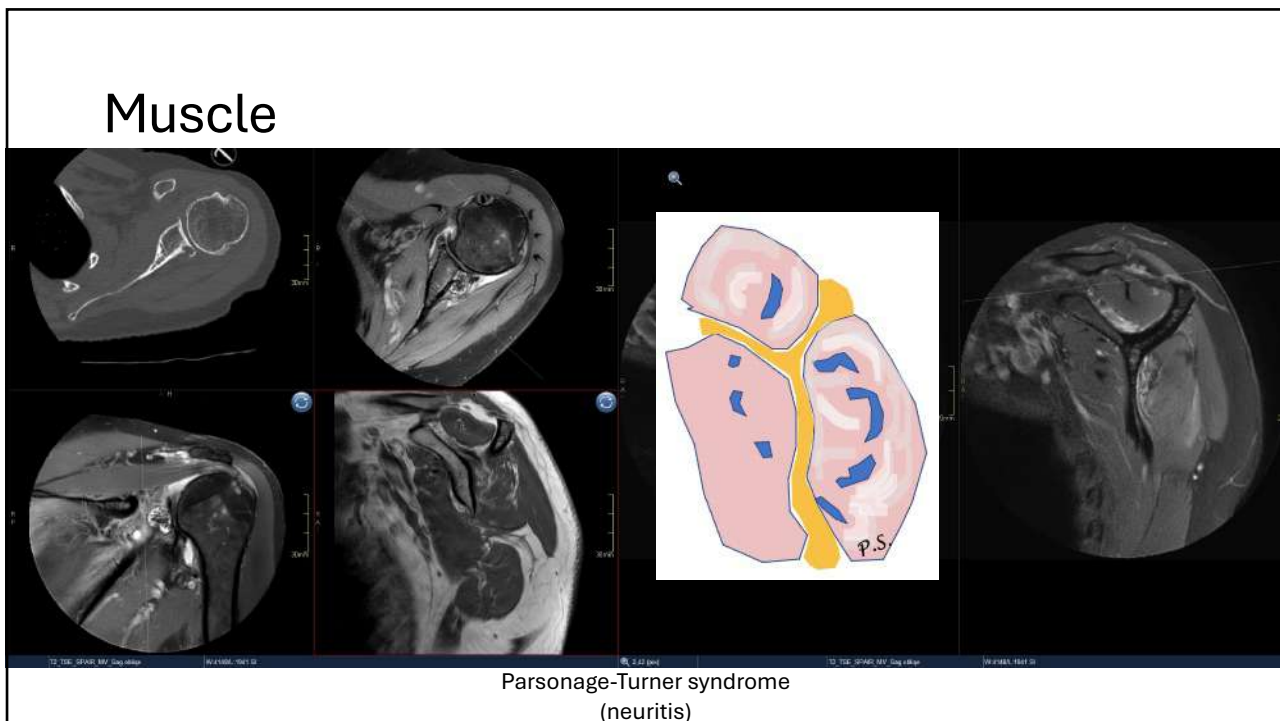
Parsonage-Turner syndrome
(neuritis)

Trauma

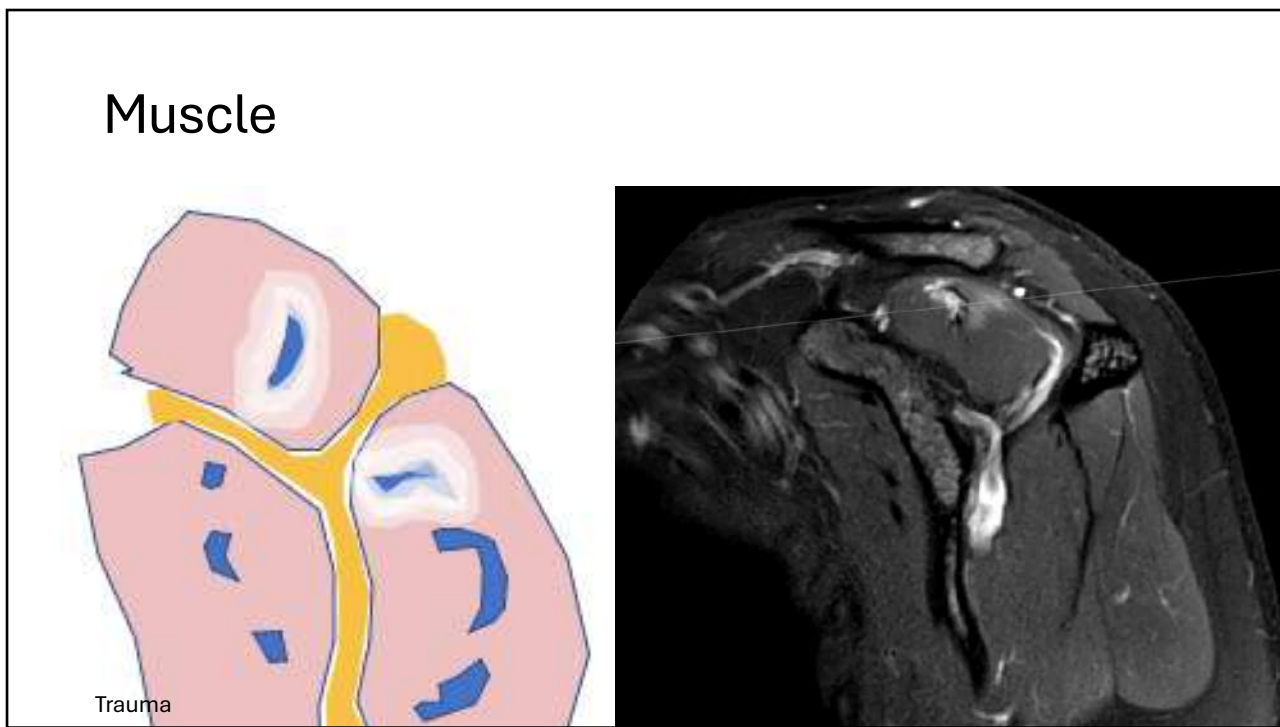


Trauma

32

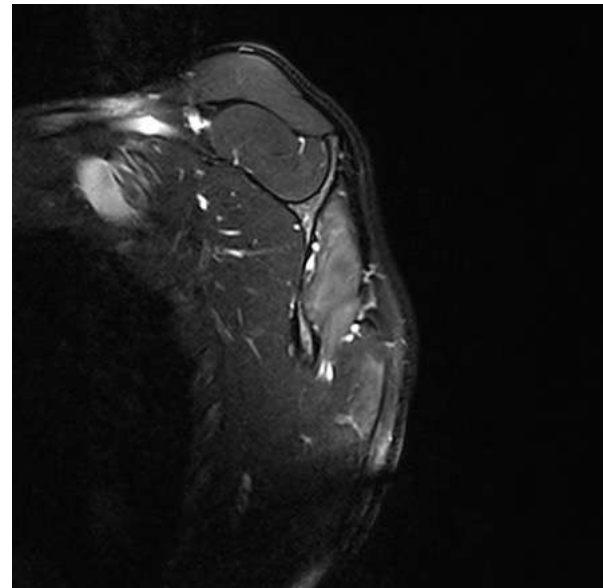
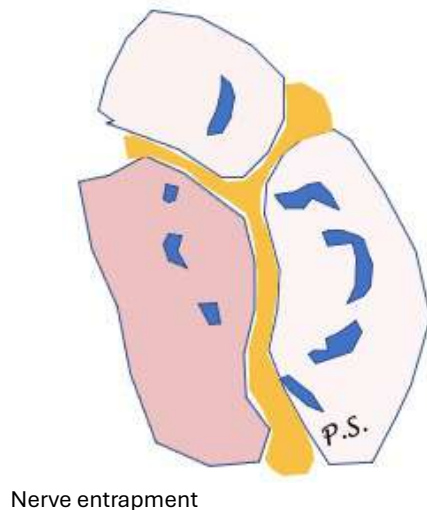


33



34

Muscle

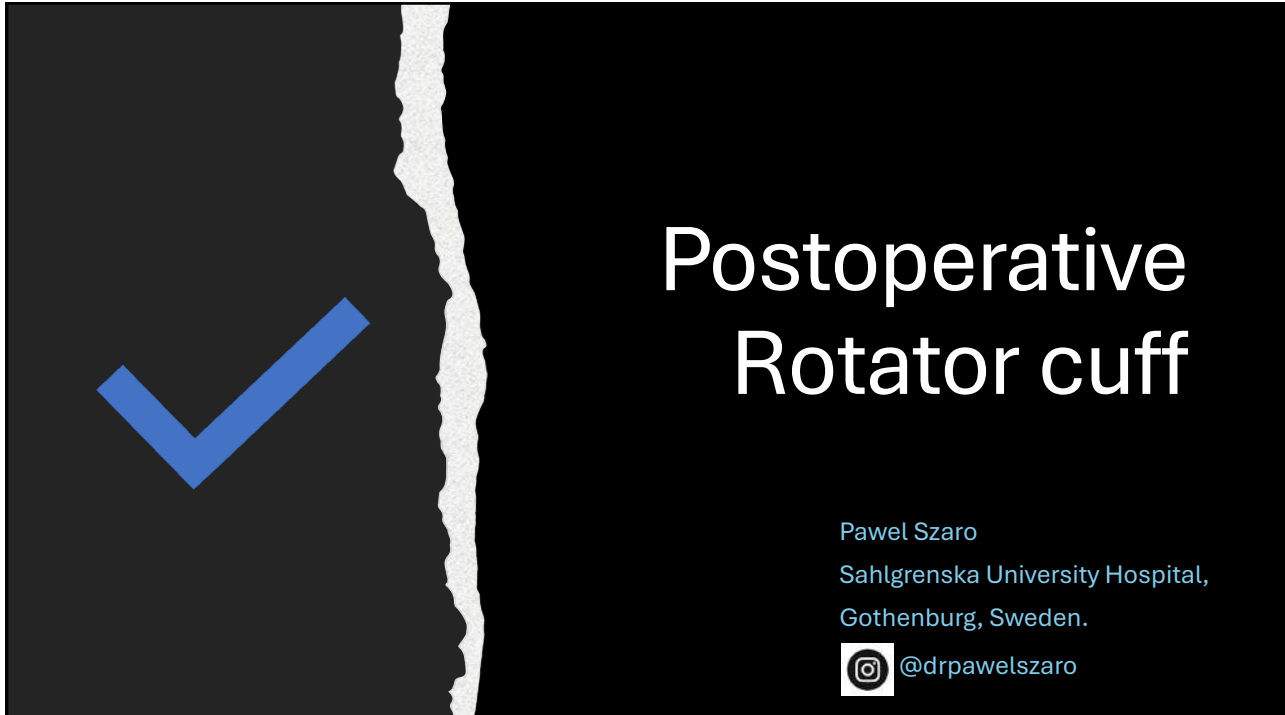


35

Rapport - rupture

- localization of the rupture
- % of the tendon – full thickness? the whole tendon?
- fat atrophy
- muscle belly

36



Postoperative Rotator cuff

Pawel Szaro

Sahlgrenska University Hospital,
Gothenburg, Sweden.



@drpawelszaro

37

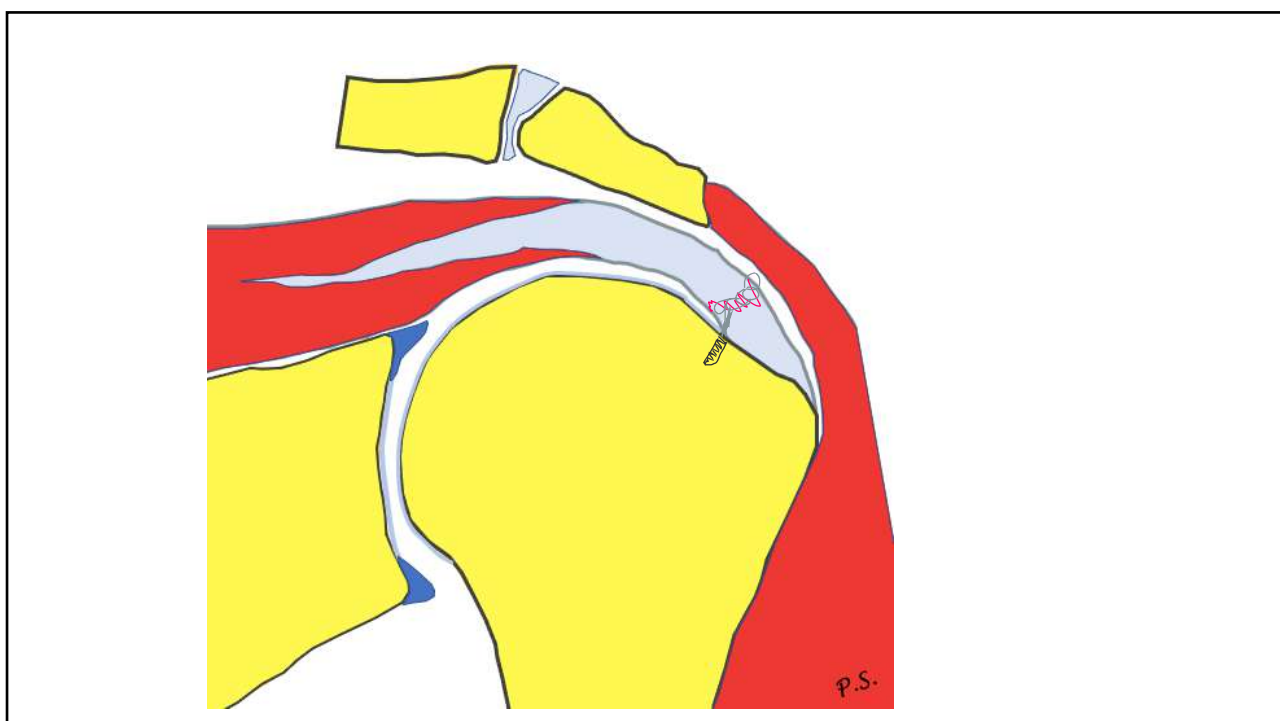
Postoperative shoulder

Structure

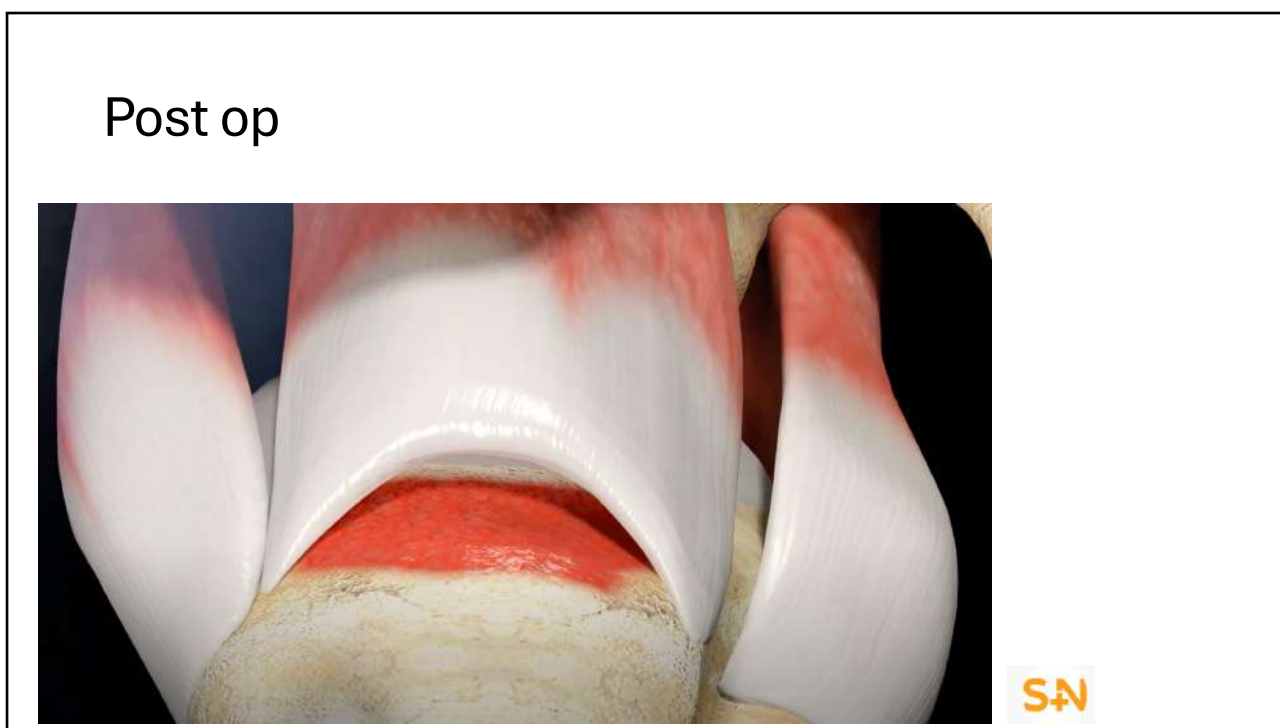
- Surgical disruption of waterthight cuff is not rare
- Communication between joint space and subacromial space is not rare
- Defects or retears <1 cm ussually do not corellate with clinical findings
- Artrography: contrast penetration from joint space to subacromial space
- Signal:
 - Returns to normal only in 1/10
 - Edema-like signal may be seen for as long as 5 years
 - Fibrosis/scarr
 - Granulation tissue

38

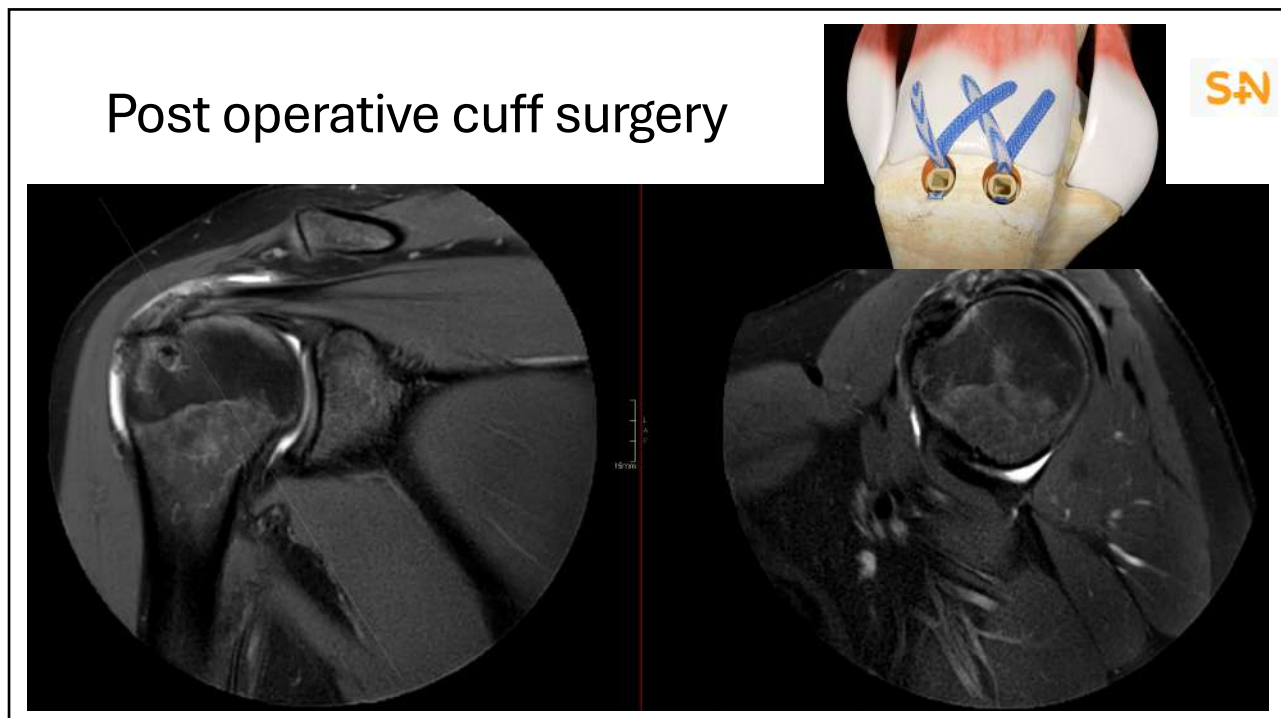
19



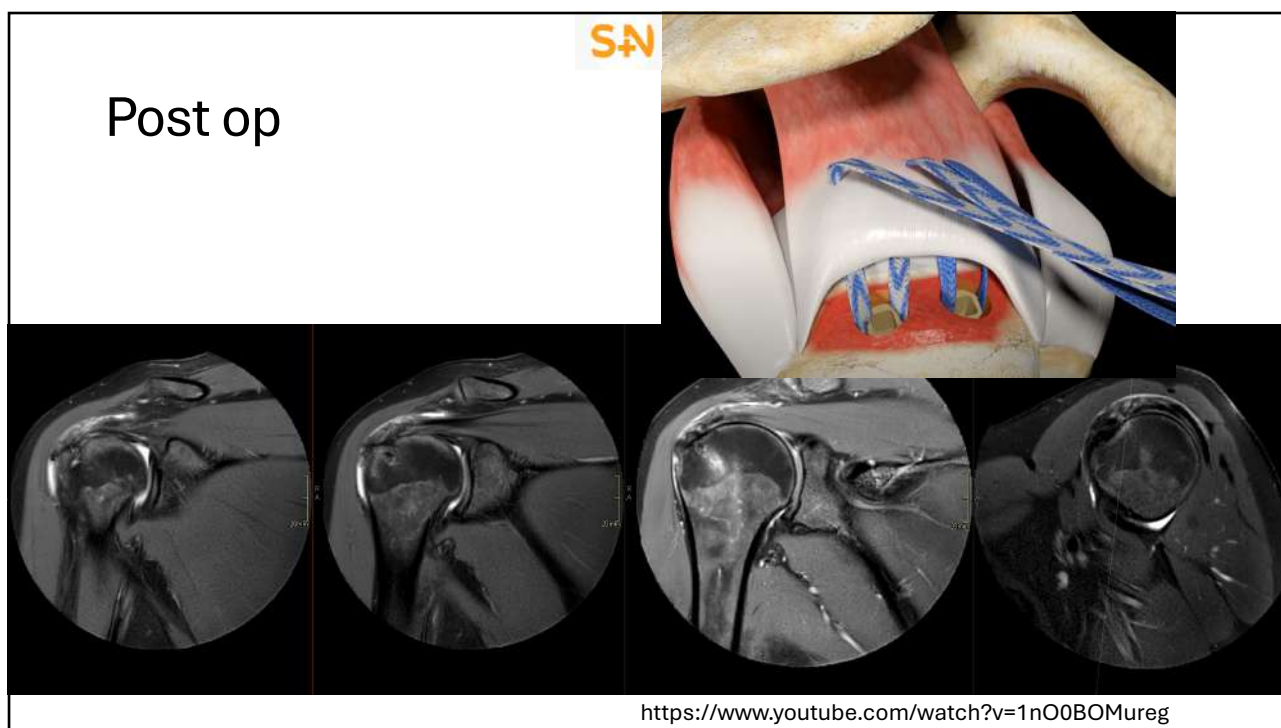
39



40

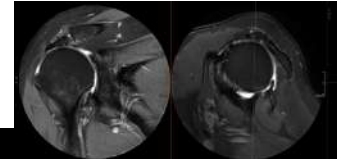
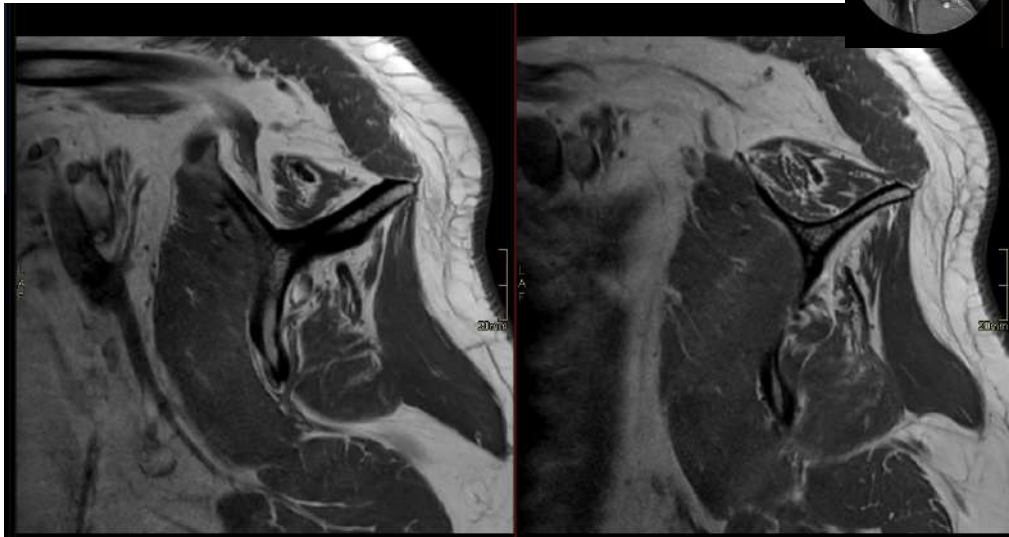


41



42

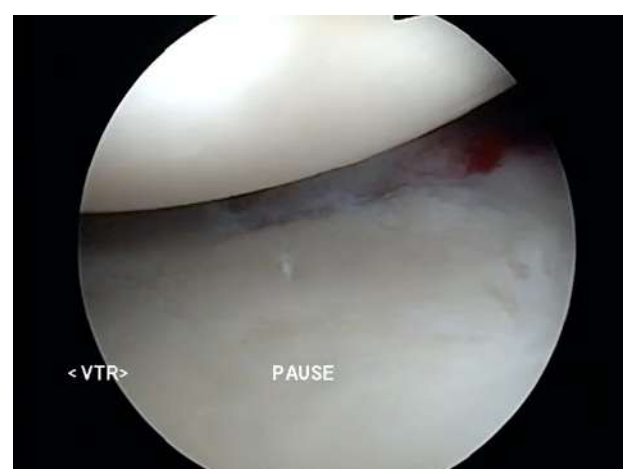
Atrophy



43

Subacromial debridement

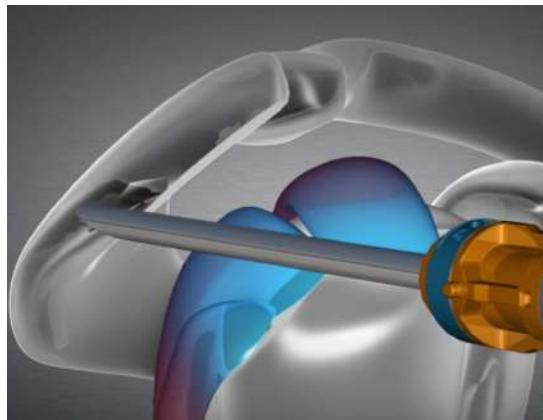
- Subacromial subdeltoid bursa is debrided or removed →
 - granulation tissue
 - fluid



44

Subacromial decompression

- Enlarging of subacromial space
- Osseus burring/excision of undersurface of the anterior acromion
- If arthrosis of AC is present distal clavicle resection is done
- Removal of: subacromia bursa and fat



https://www.youtube.com/watch?v=Lw_wCAtK_jM

45



**Muskuloskeletal
radiologi
-påbyggnadskurs**
(nivå 2 enligt ESR)

Välkommen till kursen i muskuloskeletal radiologi som kommer att hållas i Göteborg den 12–15 maj 2025.

Målet med kursen är att träna på en systematisk bedömning av undersökningar och fördjupa de kliniskt viktiga aspekterna av muskuloskeletal radiologi inom områdena trauma, inflammationer, infektioner och tumörer inom alla modaliteter. En viktig del av kursen består av återkoppling från ortopeder. En stor del av kursen ägnas åt praktisk analys av undersökningar under handledning av en erfaren radiolog.

Pawel Szaro,
Sahlgrenska Universitetssjukhuset,
Göteborgs Universitet
Ordförande för Svensk Förening för
Muskuloskeletal Radiologi (SFMSR)

Läs mer och anmäl
dig via QR-kod
<https://qrtrap.se/bwovce>



Thank you!

pawel.szaro@gu.se

 [@drpaewelszaro](https://www.instagram.com/drpaewelszaro)

46

23

MR AXEL – INSTABILITET, ANDRA ORSAKER TILL AXELEMÄRTA

ST-kurs Muskuloskeletal MR - Övre extremitet
RÖNTGENVECKA 2024 ÖREBRO

SEppo KOSKINEN, M.D., Ph.D
Enheten för radiologi
Institutionen för klinisk vetenskap, intervention
och teknik (CLINTEC)
Karolinska Institutet/Karolinska Universitetssjukhus
Radiclog, Terveystalo
Konsult, ME Radiolog K5 Solna



1

MRT axel

- Undersöknings teknik, anatomi och normala varianter
- Instabilitet / luxation
- Ganglier
- Impingement
- Adhesiv capsulit (frusen axel / frozen shoulder)
- Kalkaxel

2

MRT axel

- *Undersöknings teknik, anatomi och normala varianter*
- Instabilitet / luxation
- Ganglier
- Impingement
- Adhesiv capsulit (frusen axel / frozen shoulder)
- Kalkaxel

3

MR axel

- PD/T2 FSE Fat Sat x 3
- T2 FSE cor tendinos vs. ruptur
- T1 sag muskelatrofi
- MR Arrografi (MRA)
 - ger ökad information av labrum, kapsel, ligament, rotatorkuff-skador
 - Bättre diagnostisk konfidens
 - T1 FSE FatSat x 3 + T2 FSE FatSat Cor
- i.v. Gd: infektion, tumörer

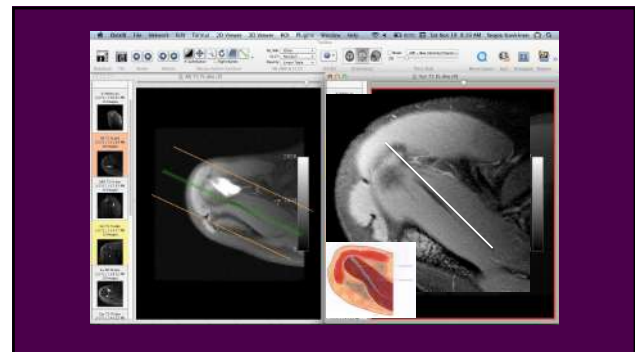
många olika protokoll som fungerar kliniskt (nästan) lika bra

4

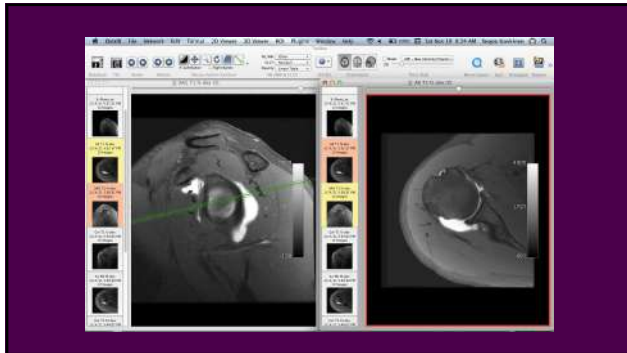
- Överarm i lätt (10°-20°) utårtotation
 - Bättre visualisering av subscapularis och bakre labrum
- Eller neutralläge (tummen upp)



5



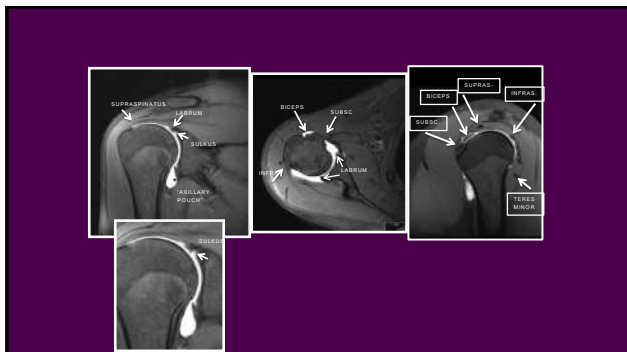
6



7



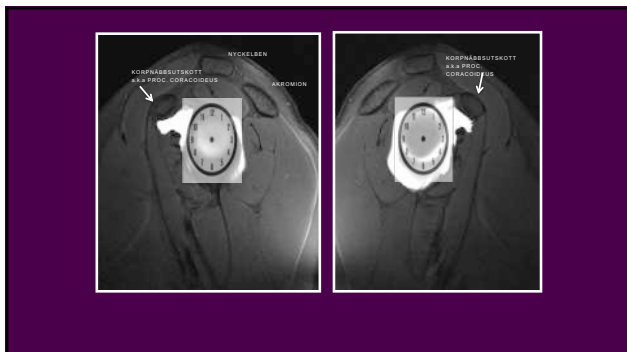
8



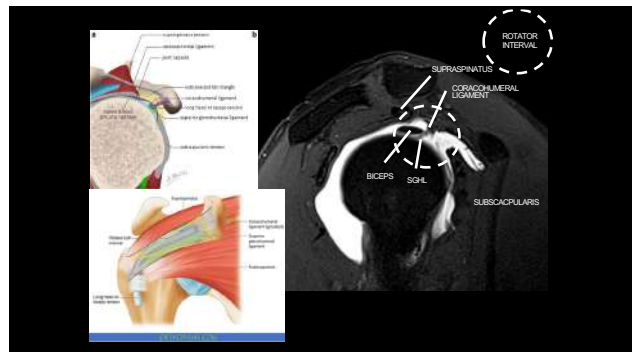
9



10



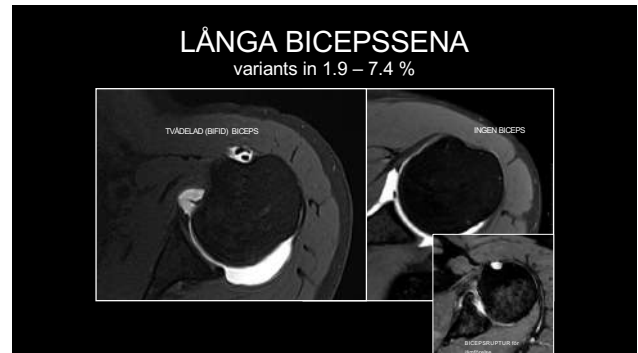
11



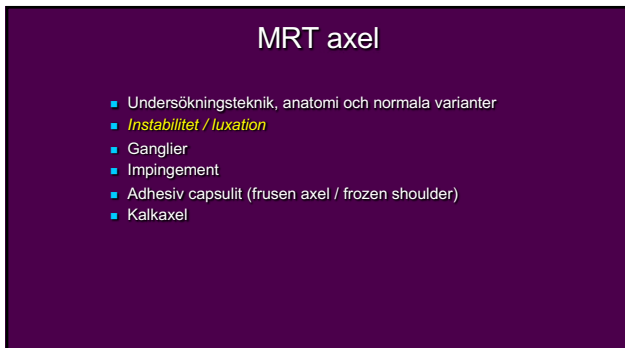
12



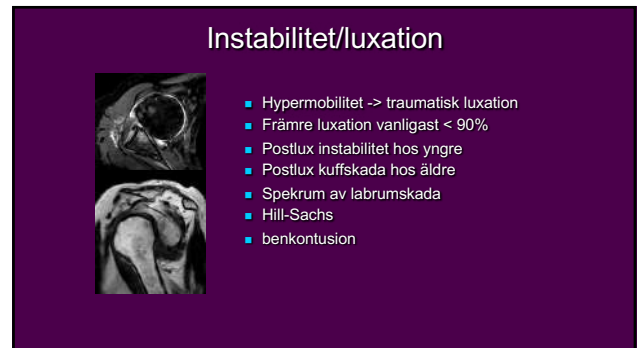
13



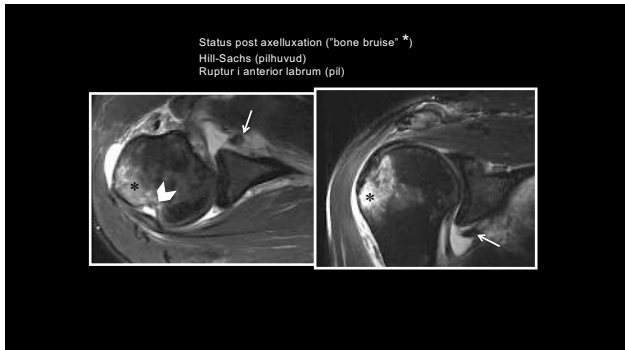
14



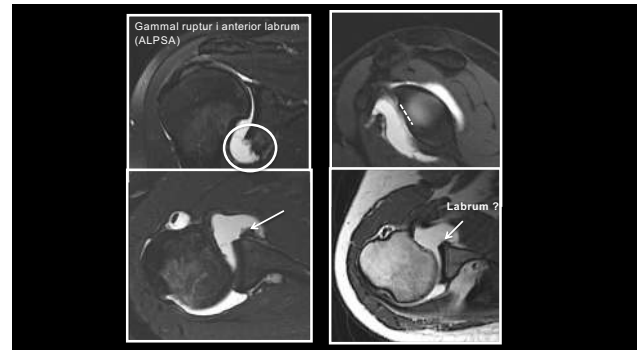
15



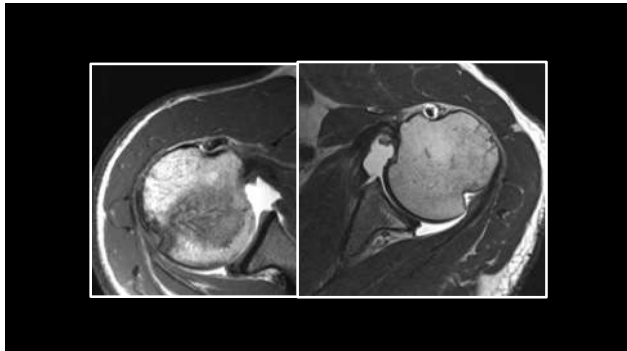
16



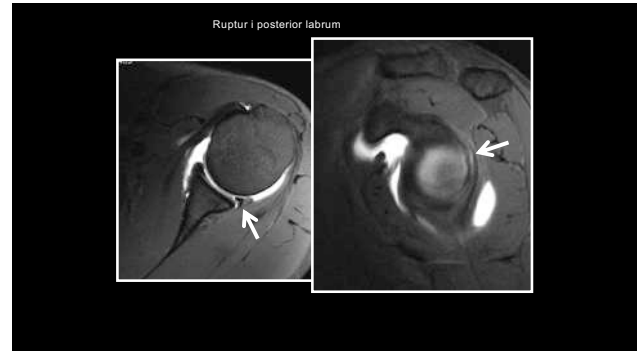
17



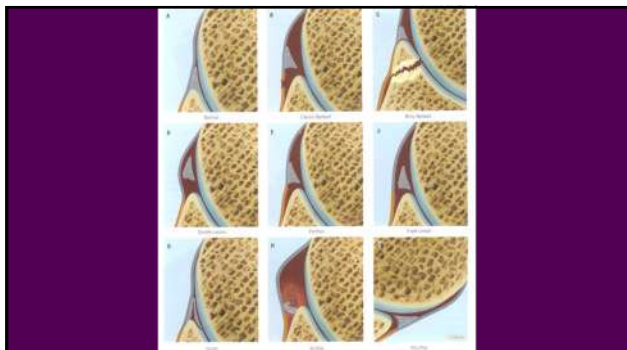
18



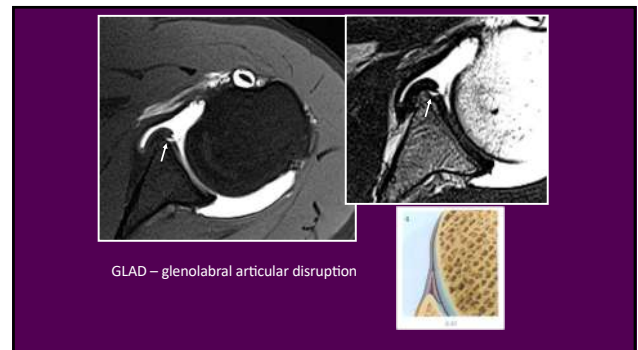
19



20



21



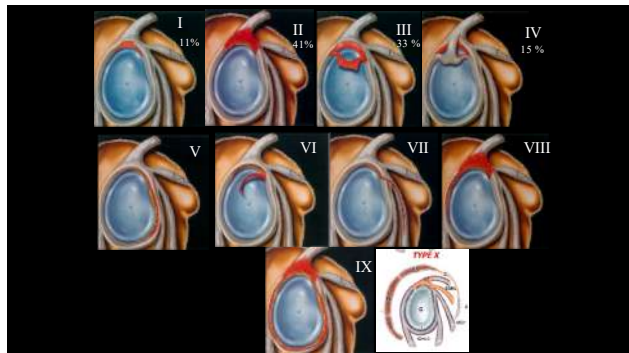
22



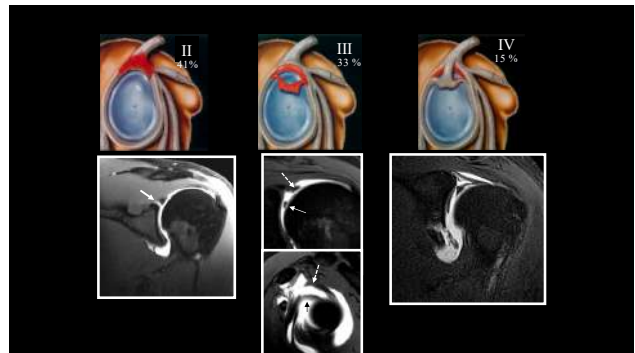
23



24



25



26

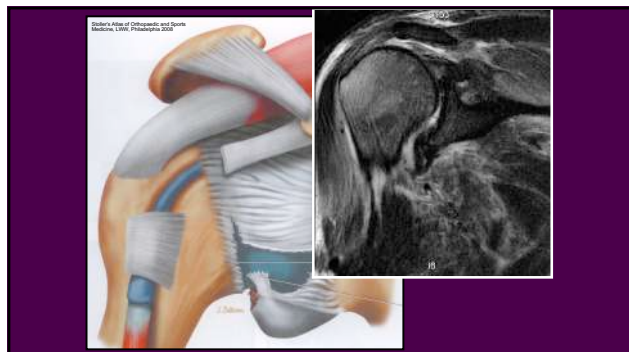


27

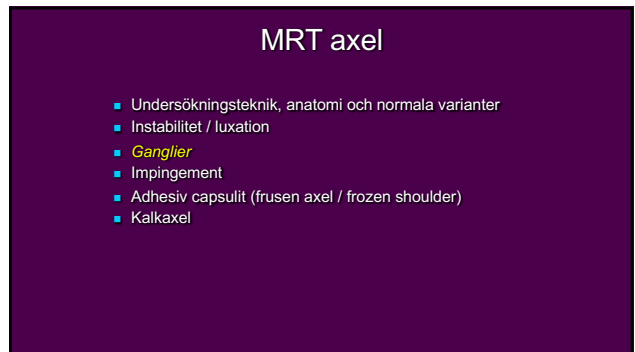
IGHL – inferior glenohumeral ligament

- Anterior band
- Axillary pouch
- Posterior band
- IGLLC (Inferior Glenohumeral Ligament Labral Complex) utgångspunkt i glenoid, labrum ellen
glenoid hals
- Infästning vid humerus anatomiska hals

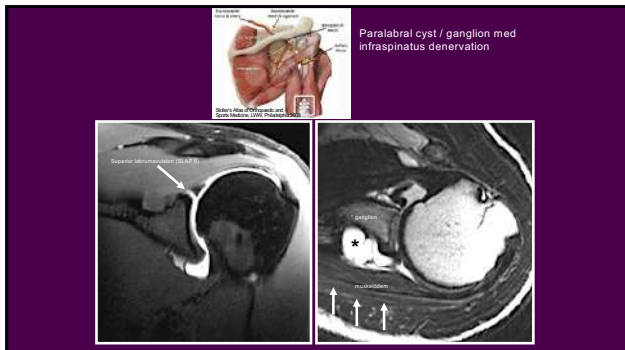
28



29



30



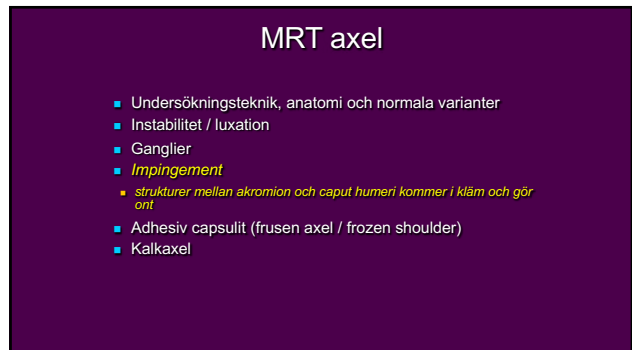
31



32



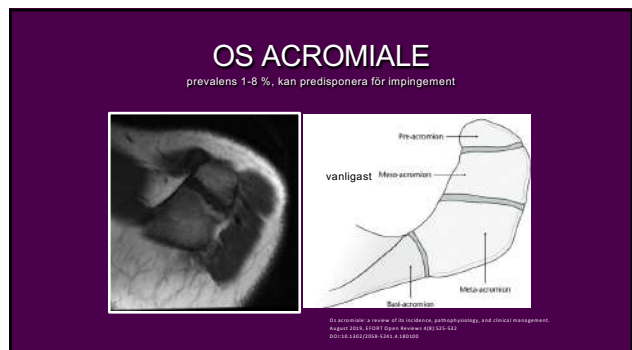
33



34



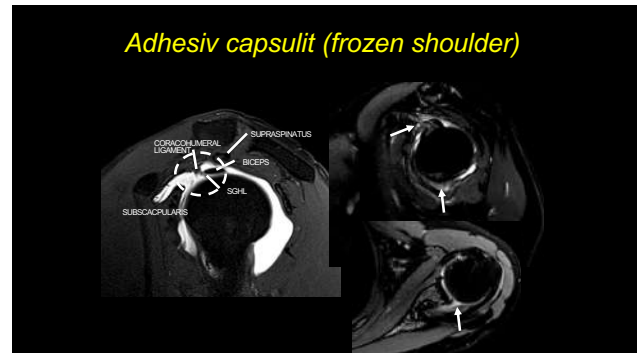
35



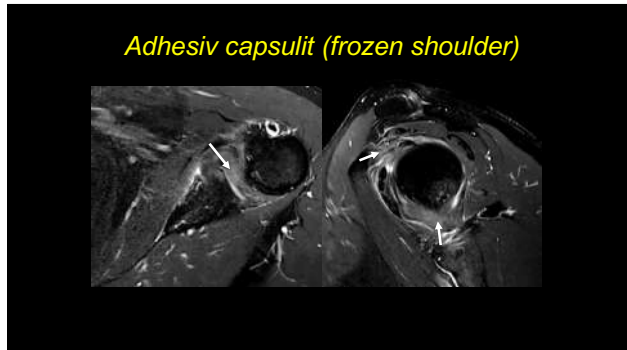
36



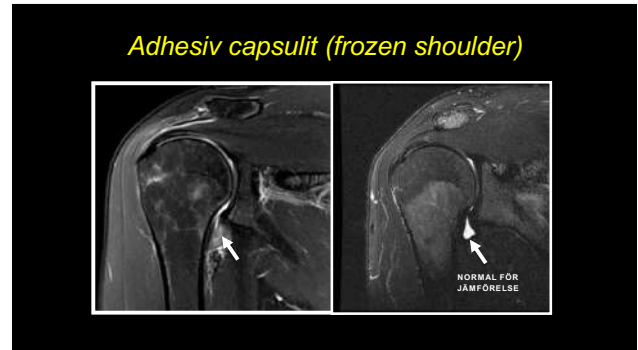
37



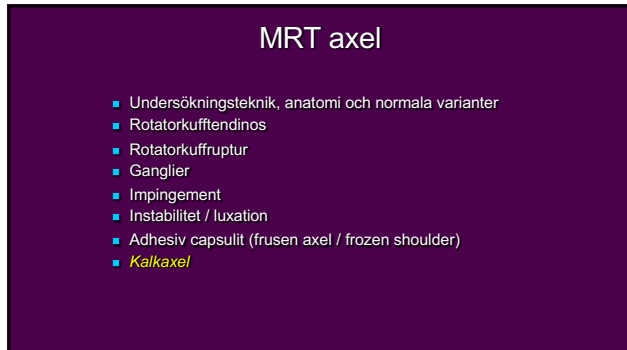
38



39



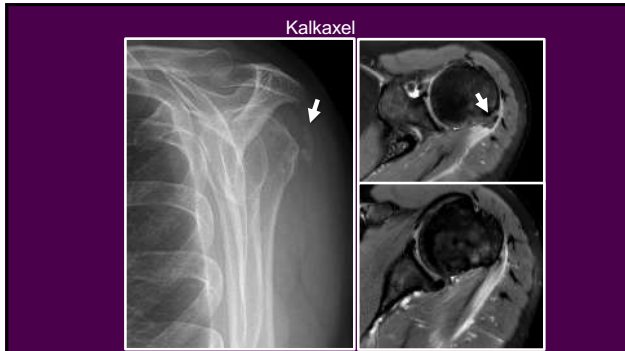
40



41



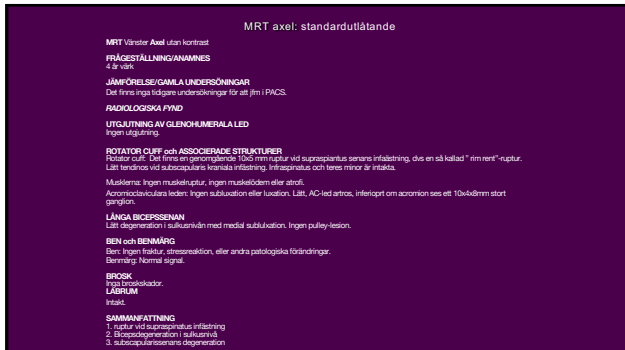
42



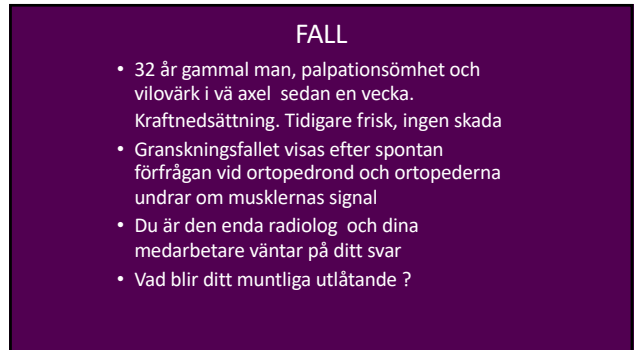
43



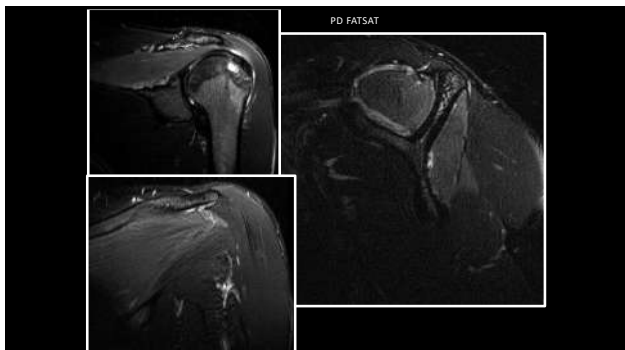
44



45



46



47



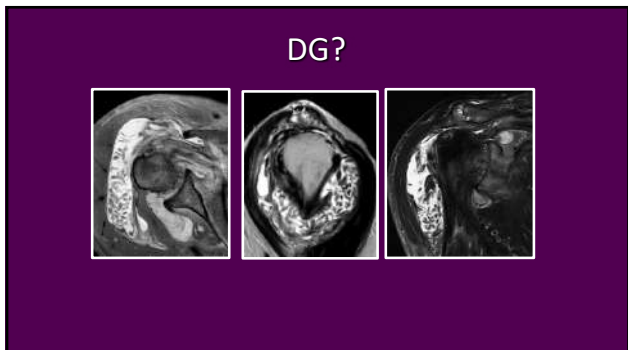
48



49



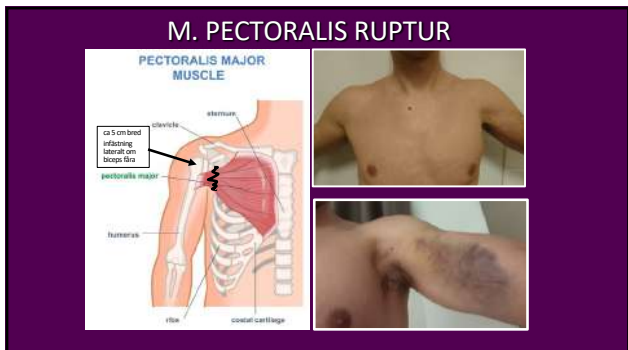
50



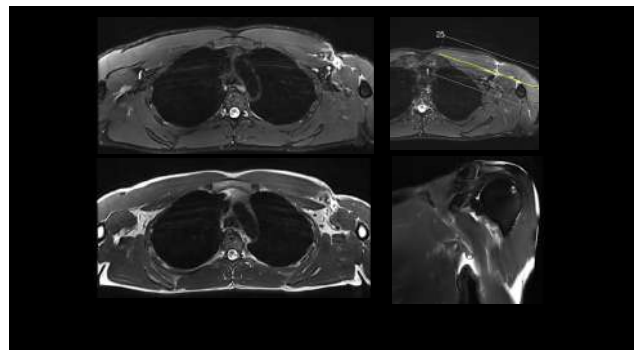
51



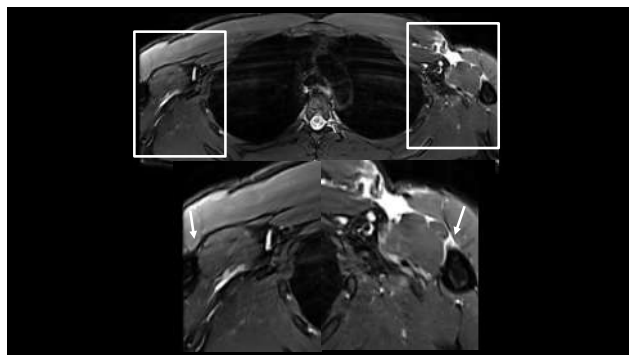
52



53



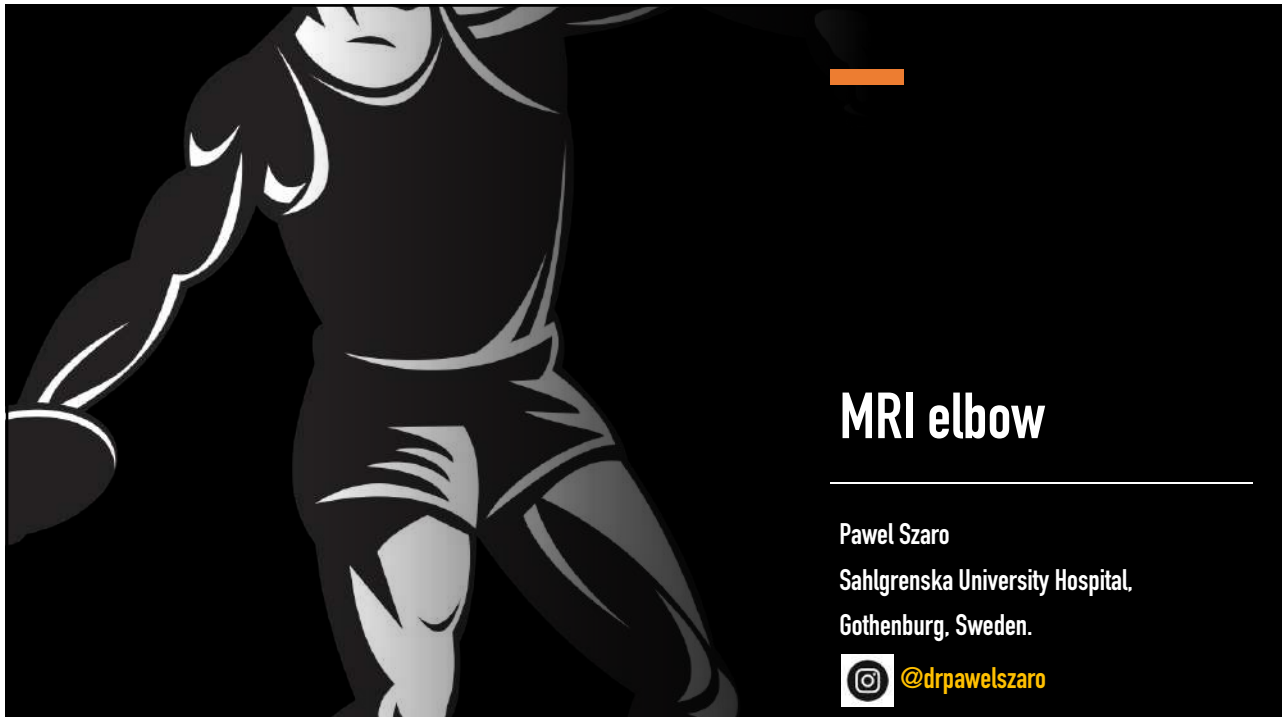
54



55



56



Pawel Szaro

Sahlgrenska University Hospital,
Gothenburg, Sweden.

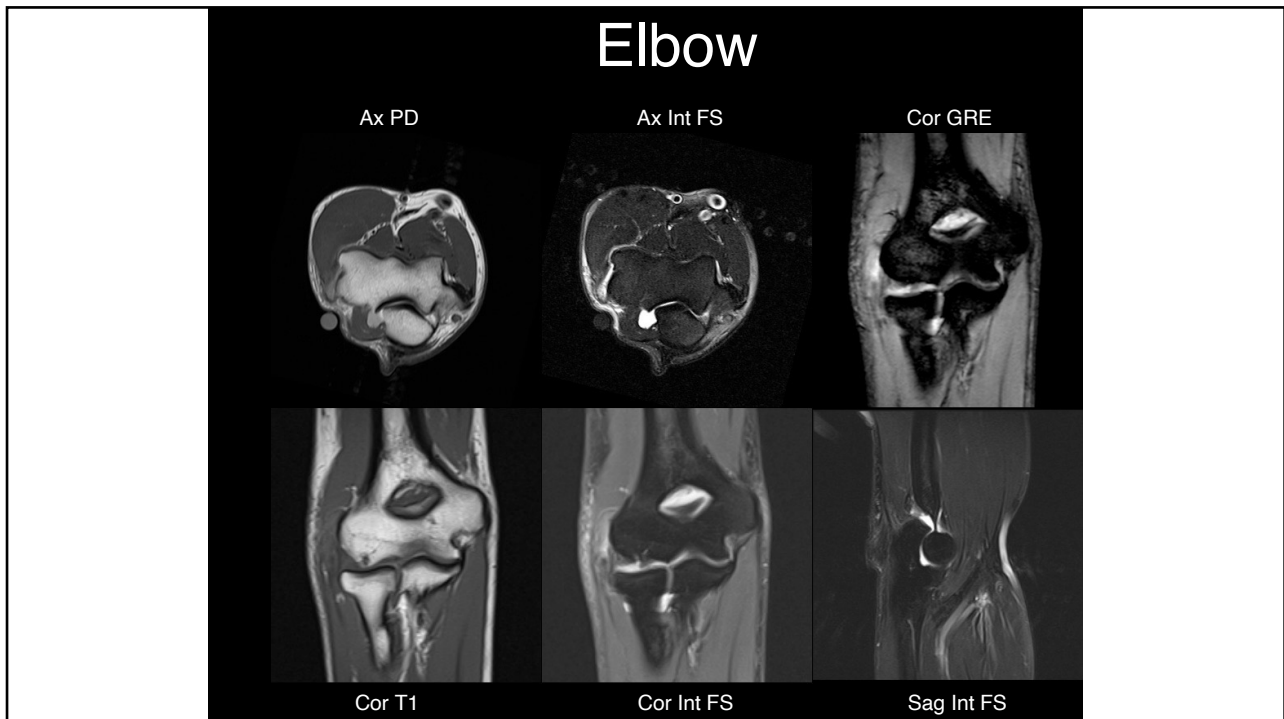


@drpawelszaro

1

64 Armbäge	1,5T Före kontrast	1,5T Efter kontrast	3T Före kontrast	3T Efter kontrast
64A Armbäge Standard M64000D M64000S	PD tra PD SPAIR tra T1 cor PD SPAIR cor PD SPAIR sag		PD tra PD SPAIR tra T1 cor PD SPAIR cor PD SPAIR sag	
64B Armbäge Tumör/Infektion Gd M64900D M64900S	T1 DIXON tra STIR cor (<i>Alt. sag vid förlängning ventral/dorsalt</i>) PD SPAIR sag	GD T2 tra GD U1 SPIR tra GD T1 SPIR sag GD T1 SPIR cor	T1 DIXON tra STIR cor (<i>Alt. sag vid förlängning ventral/dorsalt</i>) PD SPAIR sag	GD T2 tra GD T1 SPIR tra GD T1 SPIR sag GD T1 SPIR cor
64A Armbäge Tumör utan Gd M64000D M64000S	STIR cor T1 tra T2 tra PD SPAIR sag		STIR cor T1 tra T2 tra PD SPAIR sag	
64A Armbäge Skelett M64000D M64000S	T1 cor STIR cor T1 tra		T1 cor STIR cor T1 tra	
64A Biceps Muskelruptur Långt FOV M64000D M64000S	T1 cor STIR cor T2 SPAIR tra PD DIXON sag FABS-sekvens: Armen över huvudet PD SPAIR sag		T1 cor STIR cor T2 SPAIR tra PD DIXON sag FABS-sekvens: Armen över huvudet PD SPAIR sag	
64A Armbäge Kärrmibildning M64000D M64000S	T1 tra STIR cor STIR sag STIR tra		T1 tra STIR cor STIR sag STIR tra	
64A Armbäge Standard Metall	PD tra MARS+VAT PD cor MARS+VAT PD sag MARS+VAT STIR tra STIR cor STIR sag T1 cor MARS+VAT			
64A Armbäge Tumör/Infektion Metall	STIR cor STIR sag T1 tra MARS PD sag MARS	T2 tra MARS T1 tra MARS T1 cor MARS T1 sag MARS		

2



3

Structures - checklist

- Biceps tendon
 - Triceps tendon
 - Common flexor tendon
 - Common extensor tendon
 - Brachialis tendon
 - Synovial fringe

 - Radial Collateral Ligament Complex
 - lateral ulnar collateral ligament
 - annular ligament
 - lateral collateral ligament
 - Ulnar Collateral Ligament Complex
 - anterior bundle
 - posterior bundle
 - transverse bundle

4

MRI evaluation

Axial	Sagittal	Coronal
Biceps	Cartilage	Common tendons
Triceps	Bones (coronoid proces)	Colateral ligaments
Common tendons	Fluid	
Colateral ligaments	Triceps	
Nerves	Biceps	
Vessels		

5

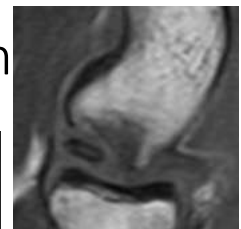
Utlåtande

MRI höger/vänster Armbåge

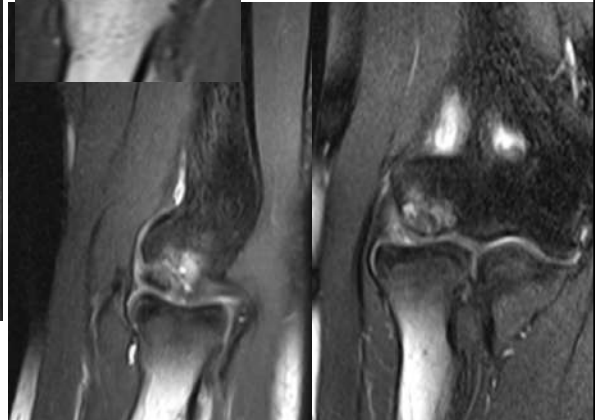
- Ingen synovitis/utgjutning.
- Inget benmärgsödem.
- Brosk förefaller normalt.
- Ligamentum collaterale radiale, ligamentum collaterale ulnare samt lig. anulare radii ordinärt.
- **Flexorfästet utan ruptur eller tendinos. Extensorfästet utan ruptur eller tendinos.**
- Bicipitoradial bursa och olekranon bursa normalt. Biceps brachii fäste på tuberositas radii normalt.
- Triceps brachii fäste på olekranon normalt.
- Nervus ulnaris ligger i sulcus, inga tecken på luxation, ordinär struktur.
- Nervus medianus ordinärt.
- Posterior interosseous nerve - ordinärt.

6

Pitfall – on the capitulum

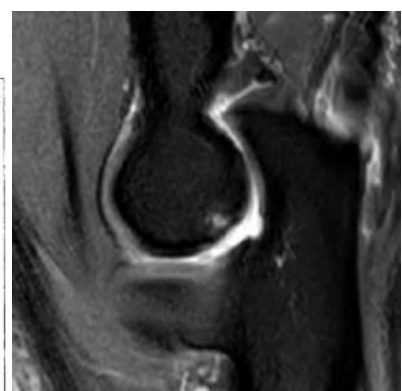
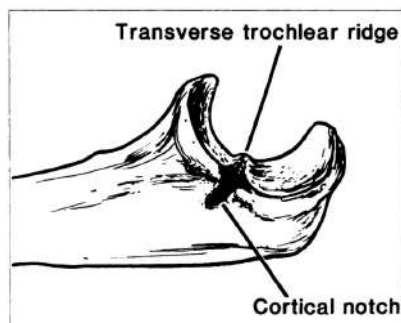
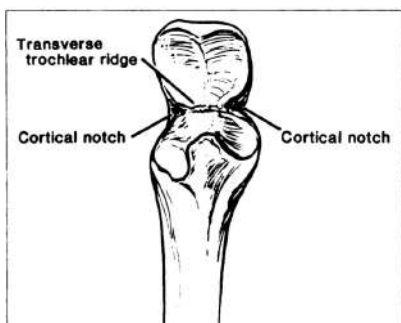


OCD:



8

Pitfall – in the trochlear notch



9

Synovial plicae

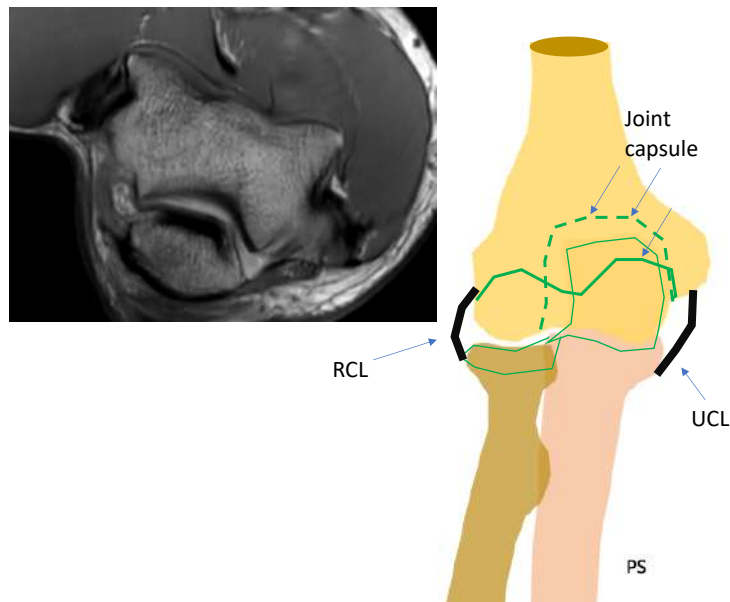
- the posterolateral plica
- lateral elbow pain known *the synovial fold syndrome*
- **snapping** in dynamic entrapment between the radial head and capitellum and often produces



10

Joint capsule

- critical role in elbow joint stability
- anterior capsule resistance to
 - hyperextension
 - valgus stress
- posterior capsule resistance to
 - hyperflexion
 - posterior direct forces



11

Ulnar collateral ligament complex

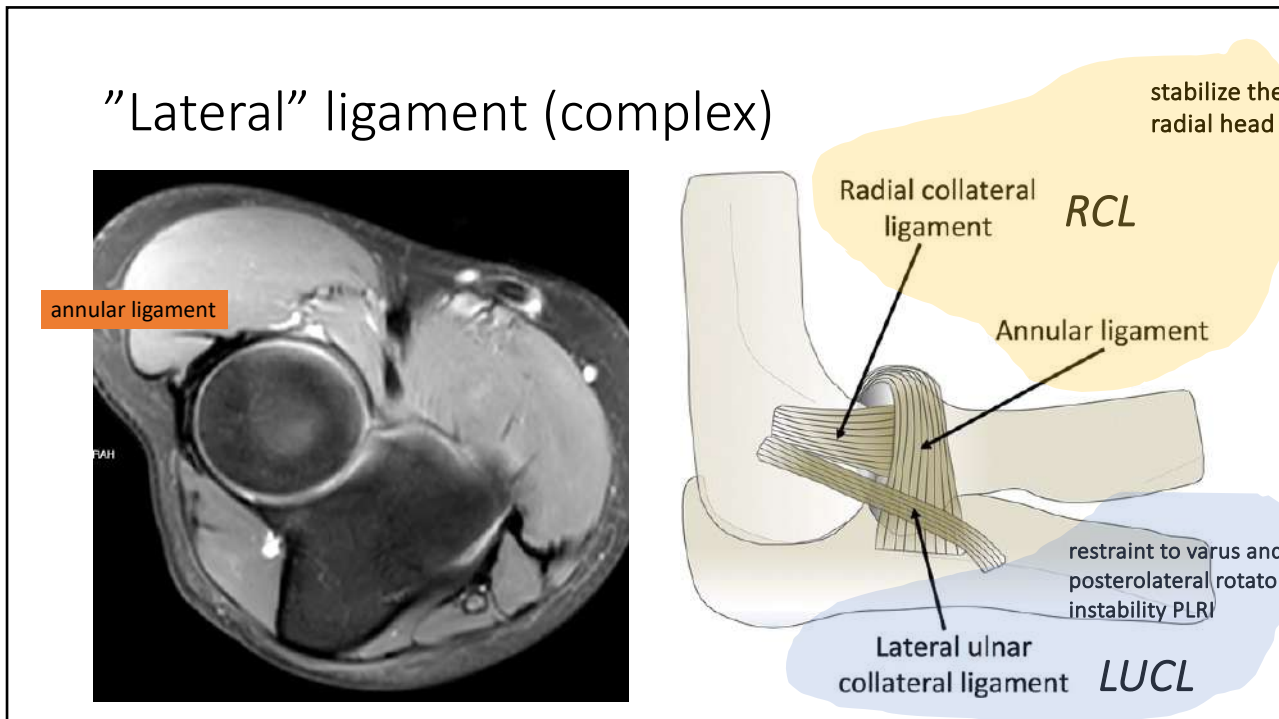


12

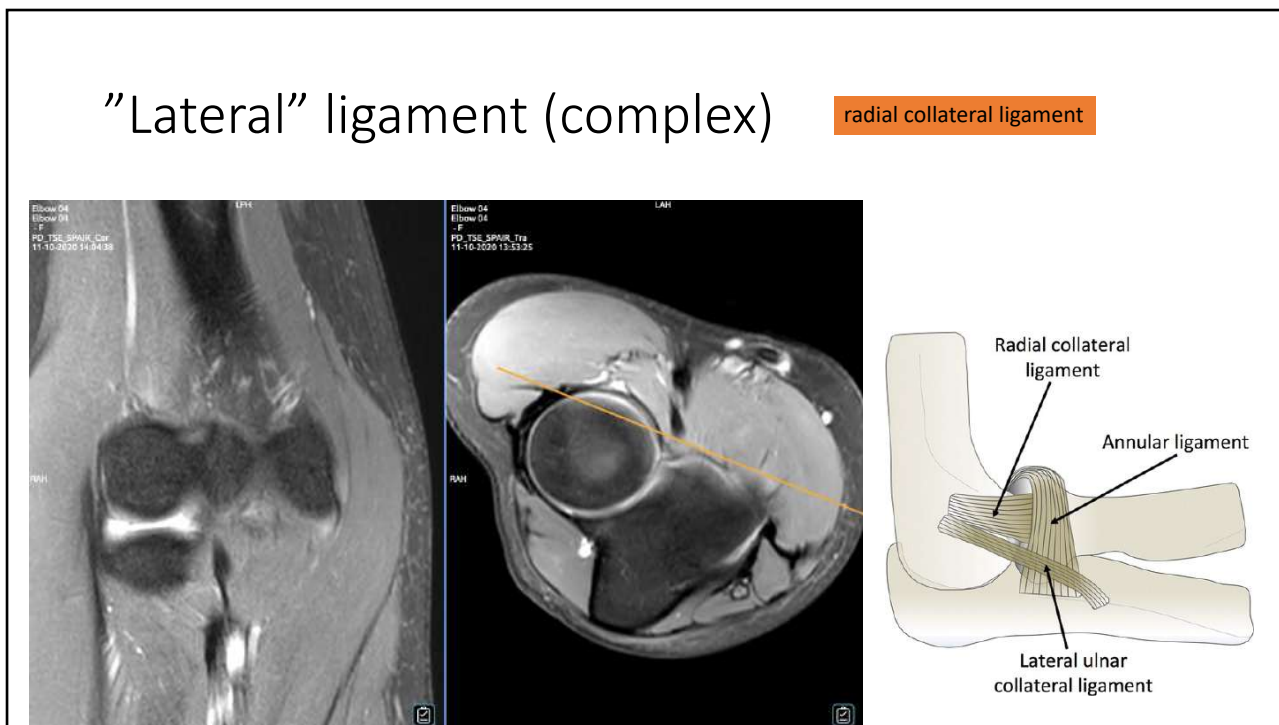
Ulnar collateral ligament complex



13



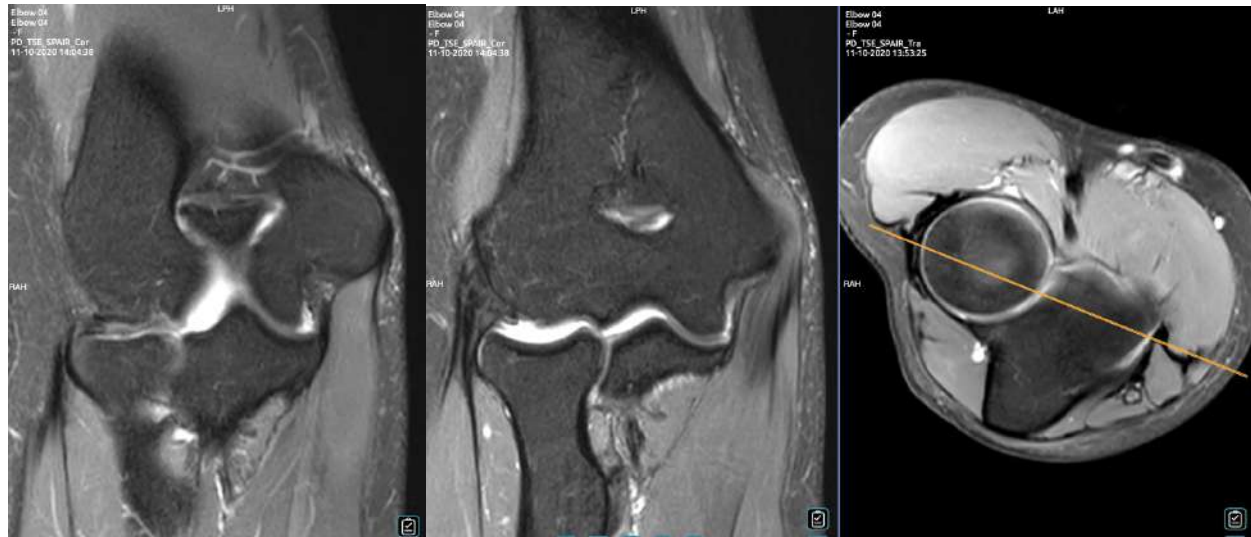
14



15

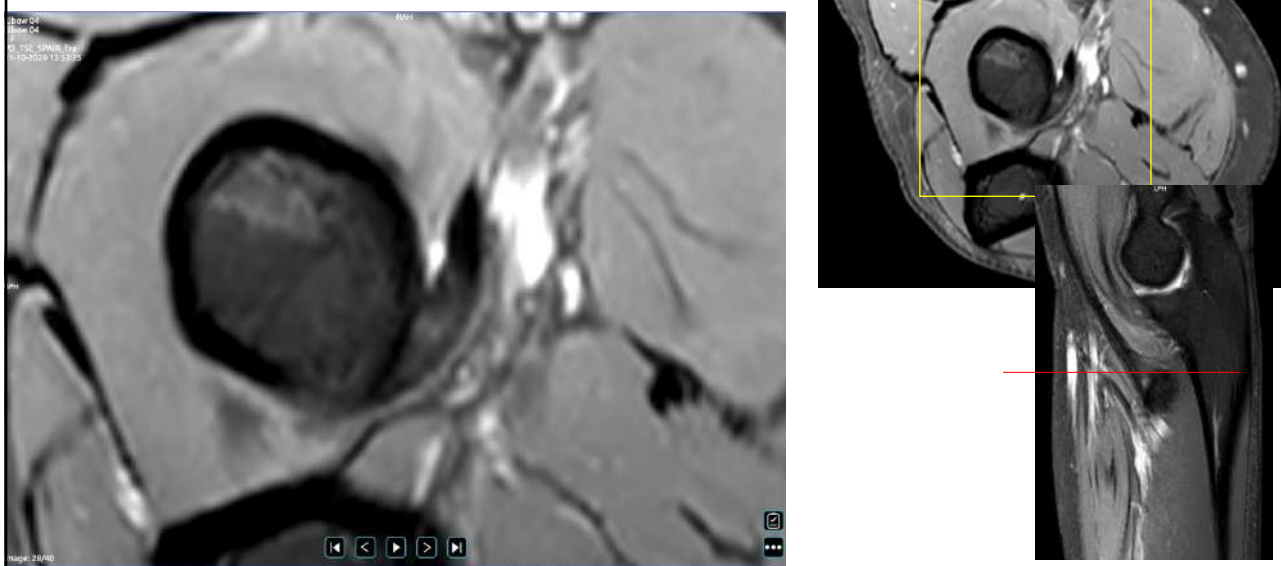
"Lateral" ligament (complex)

lateral ulnar collateral ligament

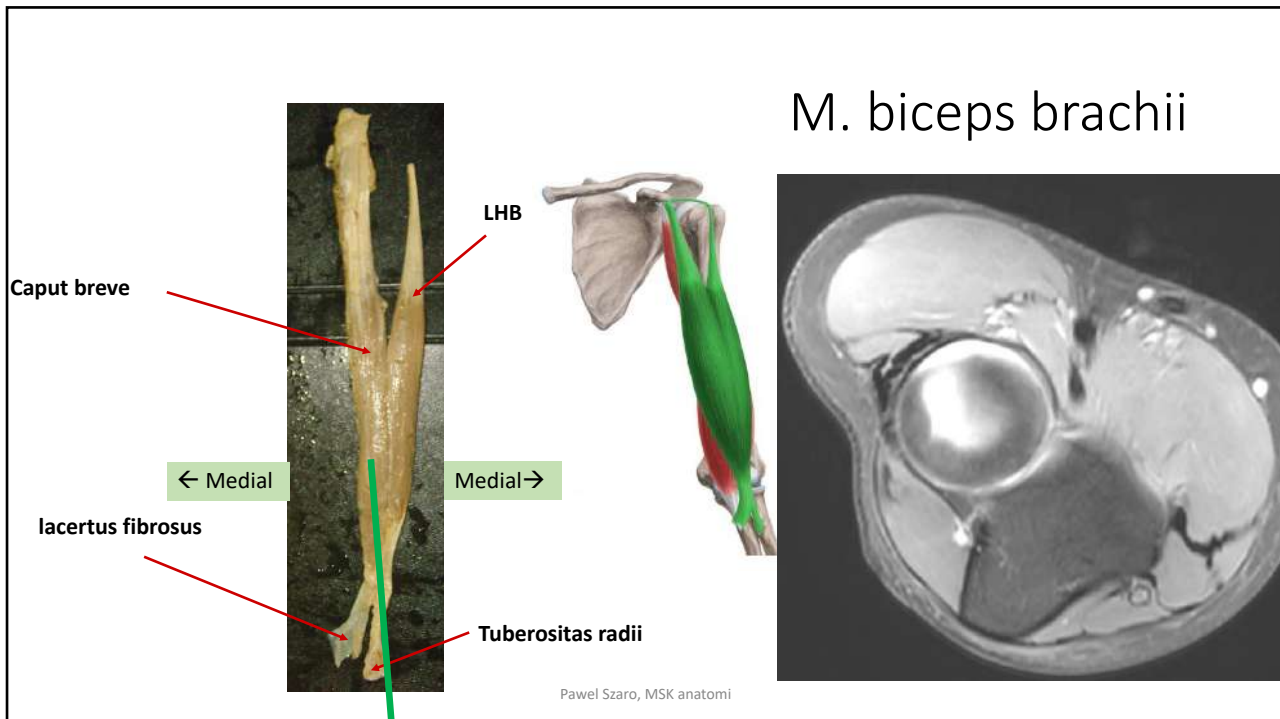


16

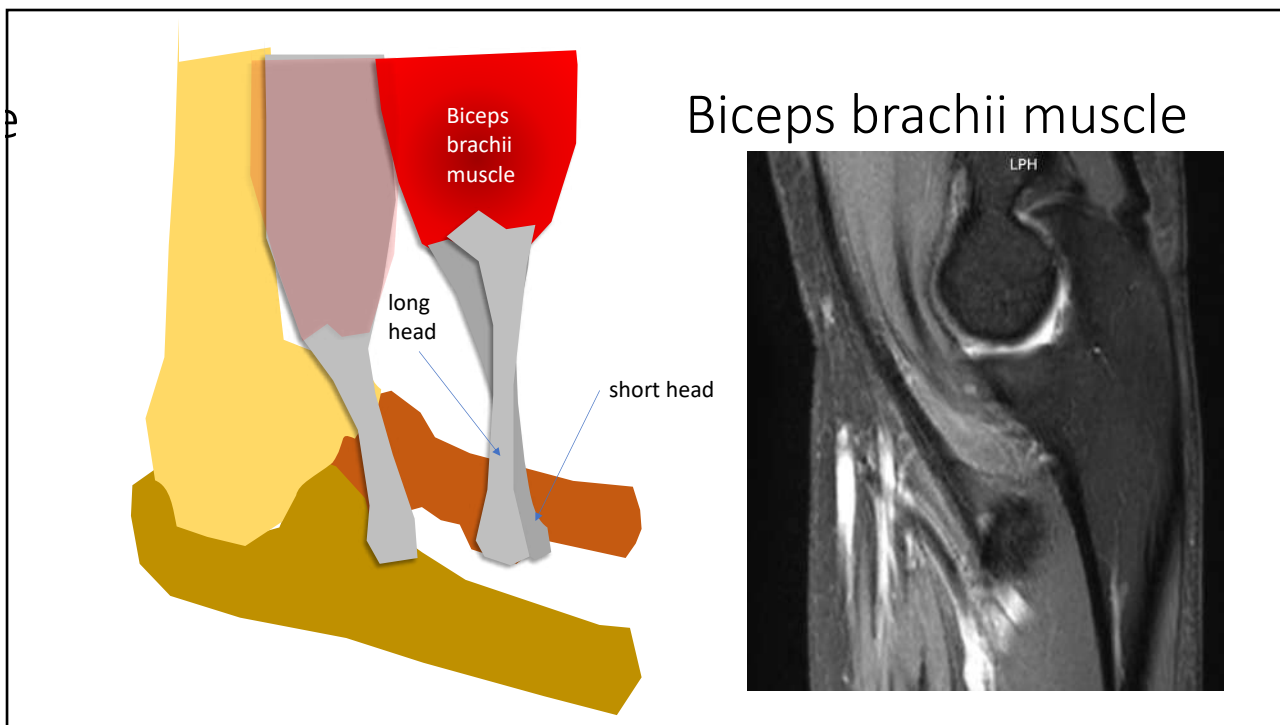
Biceps brachii tendon



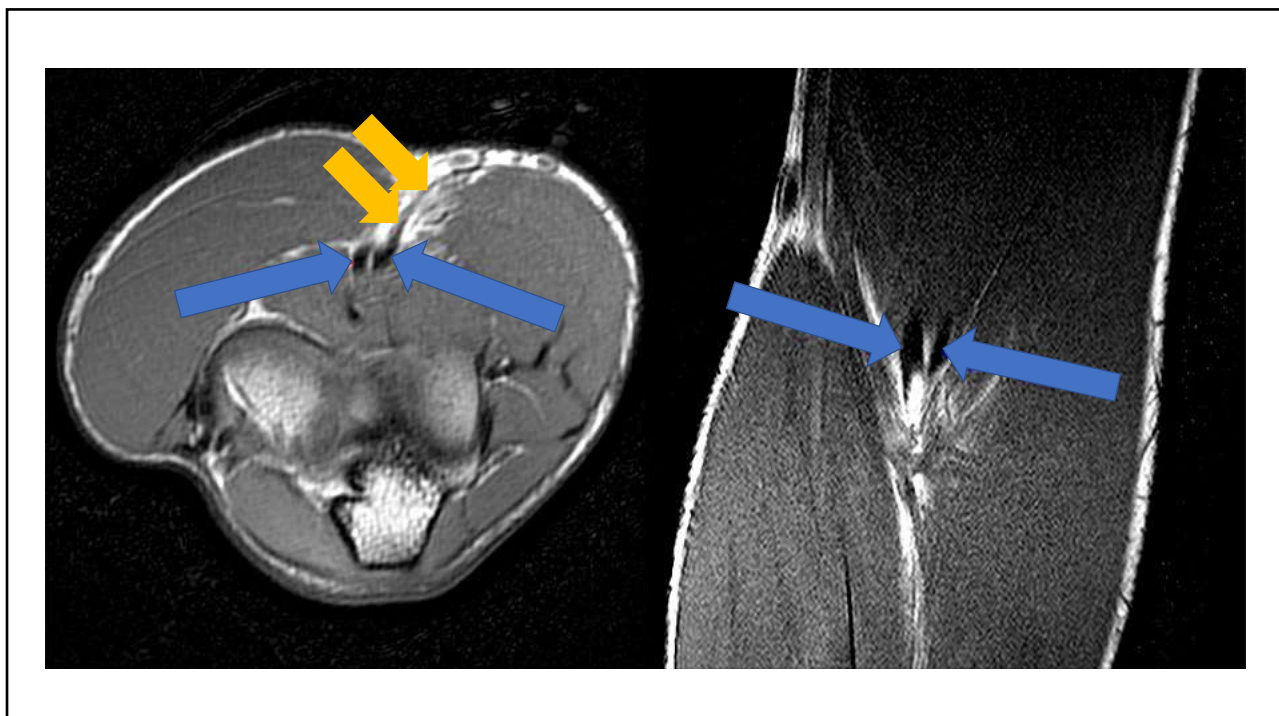
17



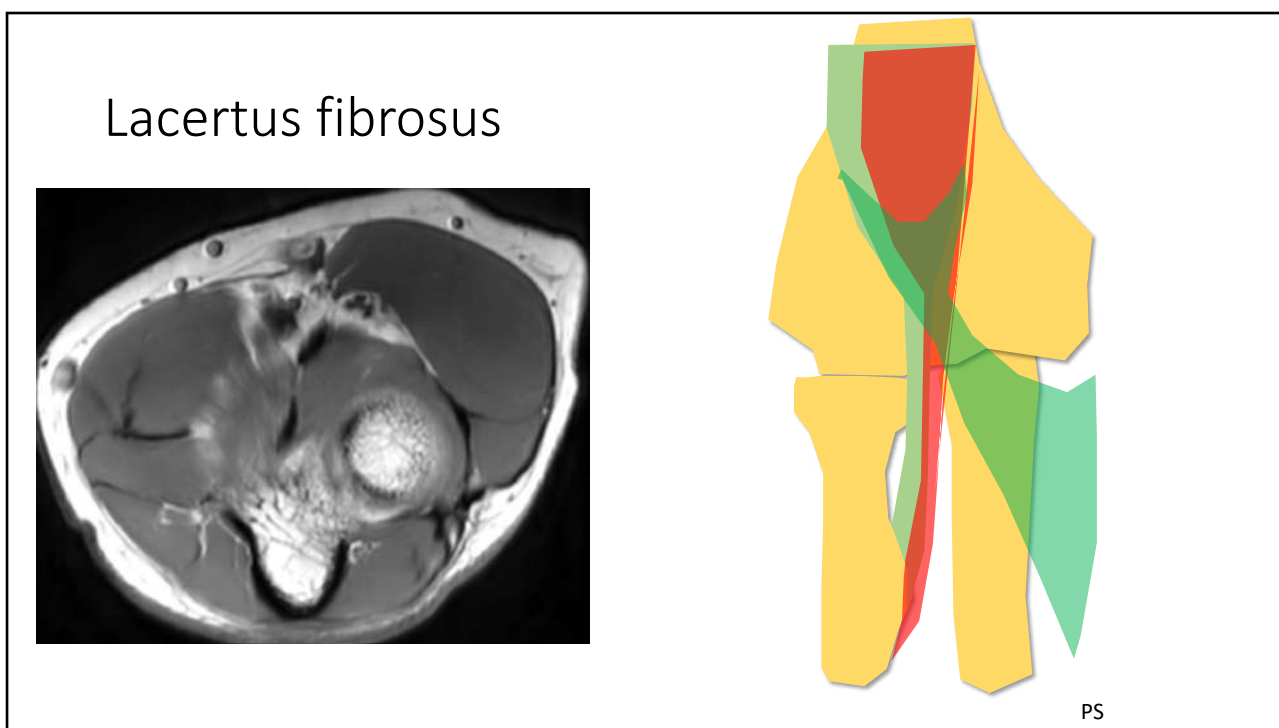
18



19



20



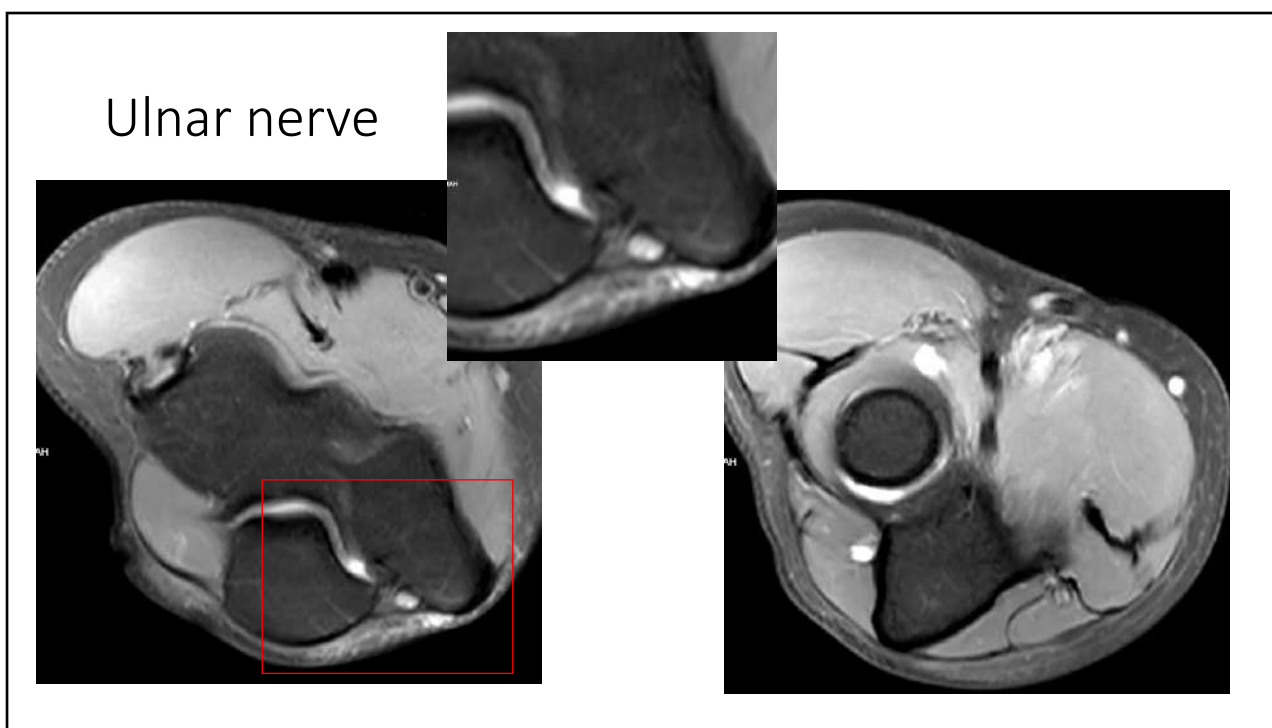
21

Common flexor tendon

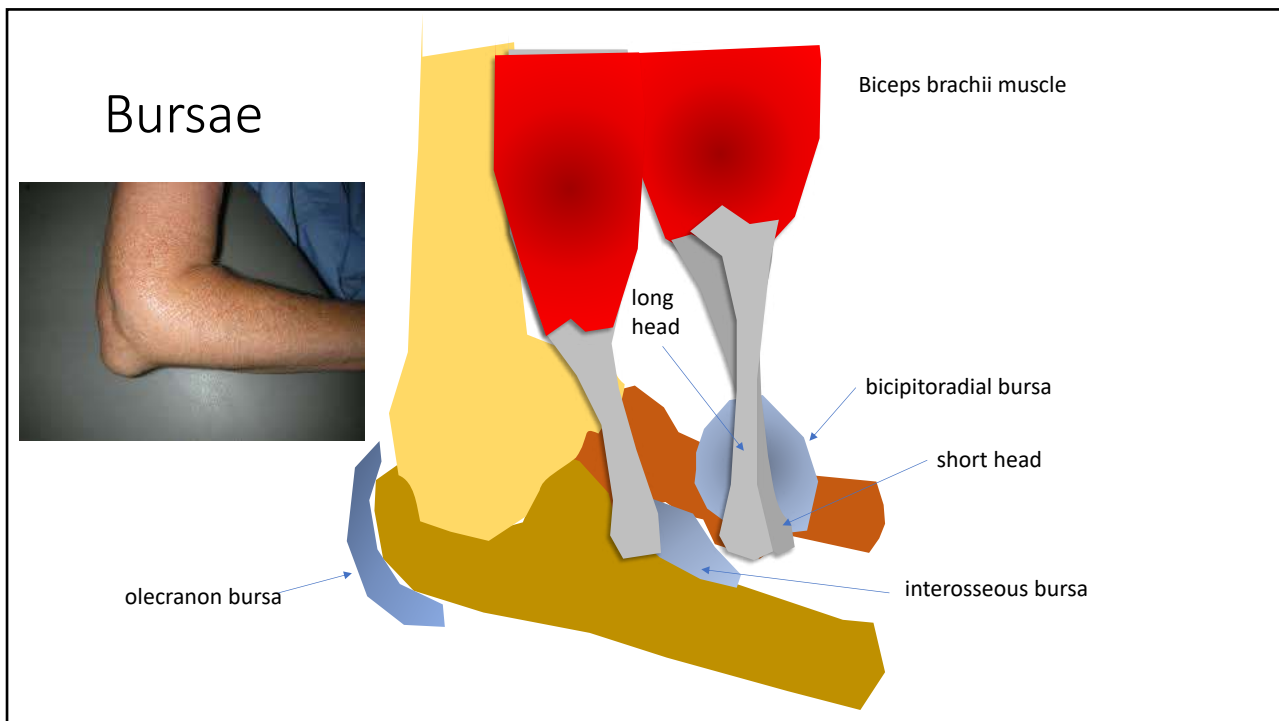


22

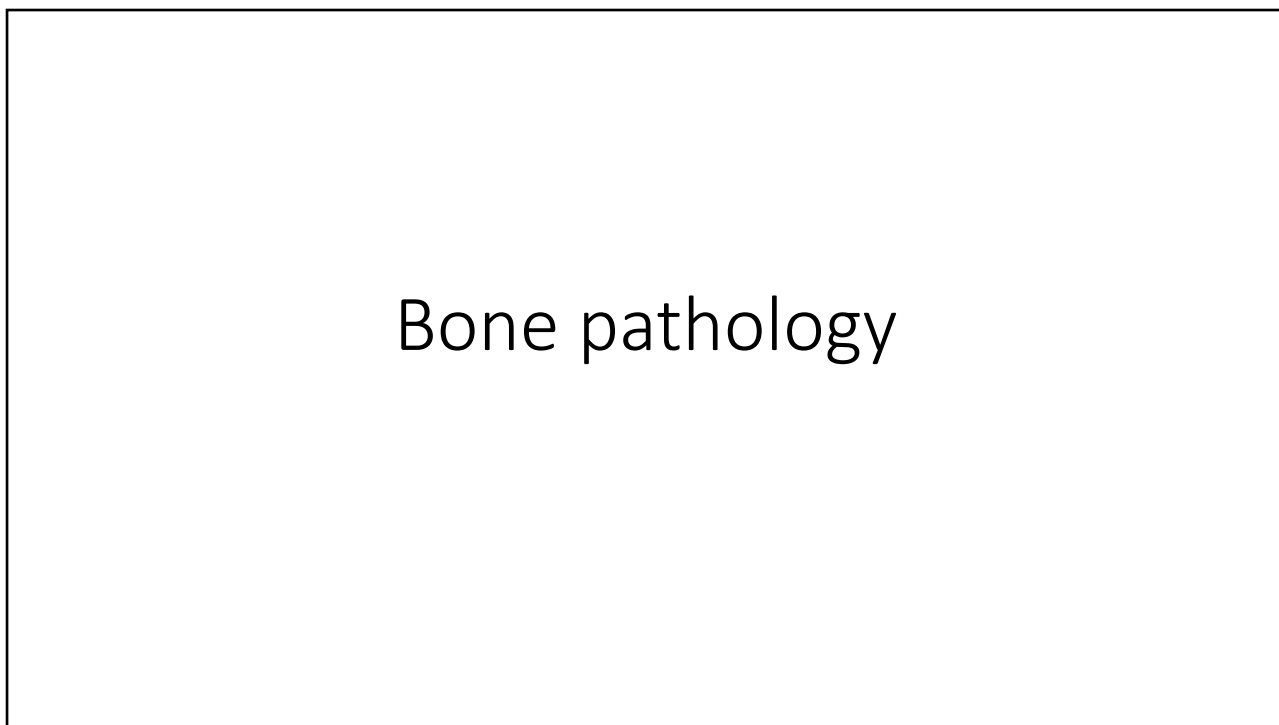
Ulnar nerve



23



24



25

Acute trauma

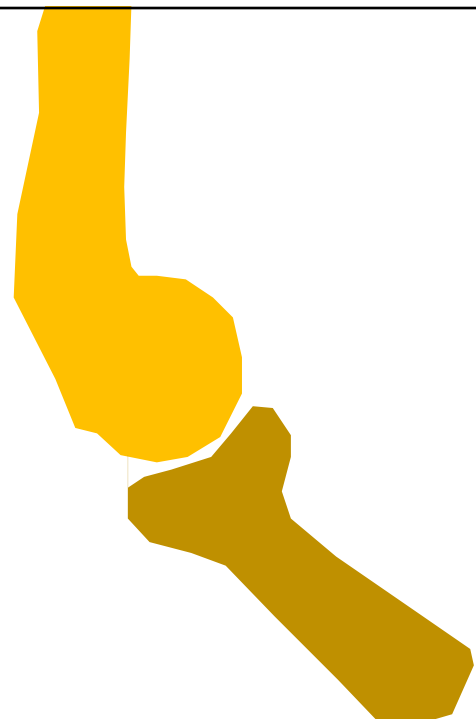
- Bone contusion
- Fracture
 - linear component T1W or T2W- images
- Contusions or fractures involving the radial head and posterior capitellum - posterior dislocation
 - inspect the collateral ligaments!



26

Acute trauma

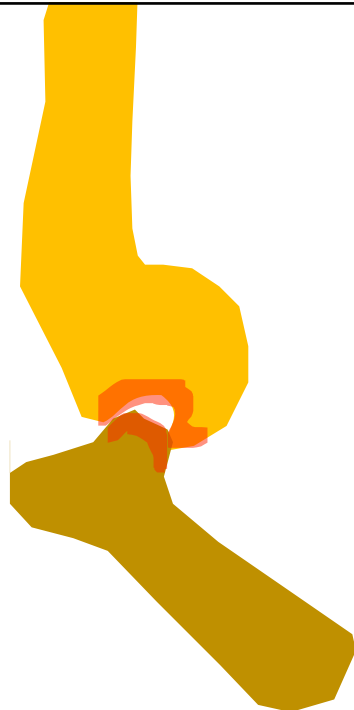
- Bone contusion
- Fracture
 - linear component T1W or T2W- images
- Contusions or fractures involving the radial head and posterior capitellum - posterior dislocation
 - inspect the collateral ligaments!



27

Acute trauma

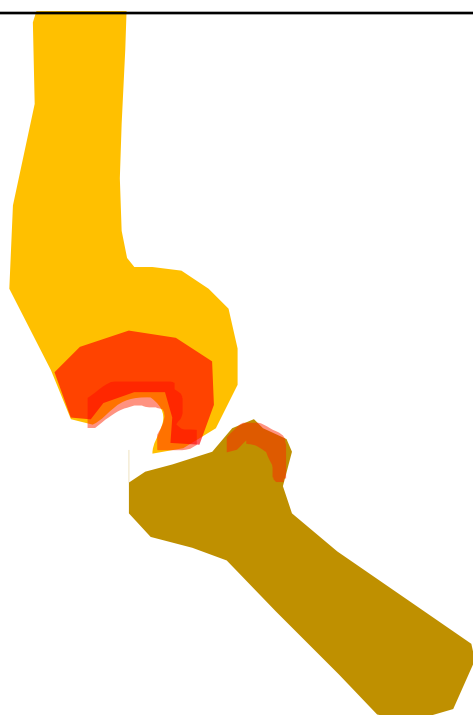
- Bone contusion
- Fracture
 - linear component T1W or T2W- images
- Contusions or fractures involving the radial head and posterior capitellum - posterior dislocation
 - inspect the collateral ligaments!



28

Acute trauma

- Bone contusion
- Fracture
 - linear component T1W or T2W- images
- Contusions or fractures involving the radial head and posterior capitellum - posterior dislocation
 - inspect the collateral ligaments!



29

Stress fractures

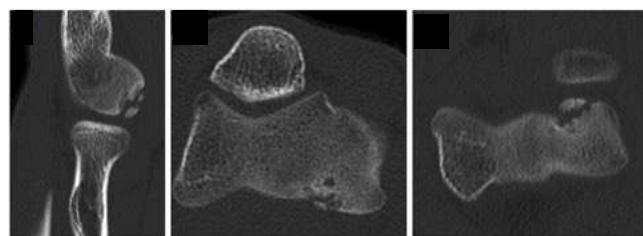
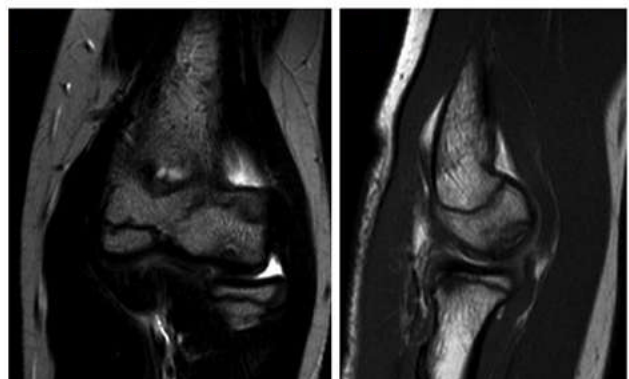
- 90% olecranon fracture
- chronic traction of the triceps
- forces along the posteromedial joint that occur in the valgus overload syndrome



30

Osteochondral lesions

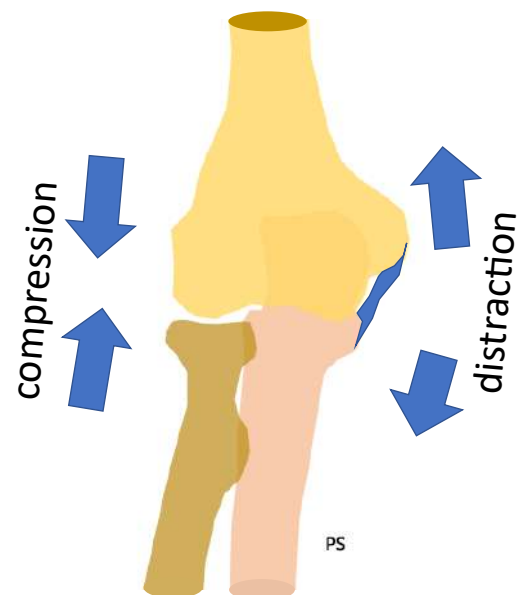
- role of imaging
 - provide information about the stability



32

Valgus overload

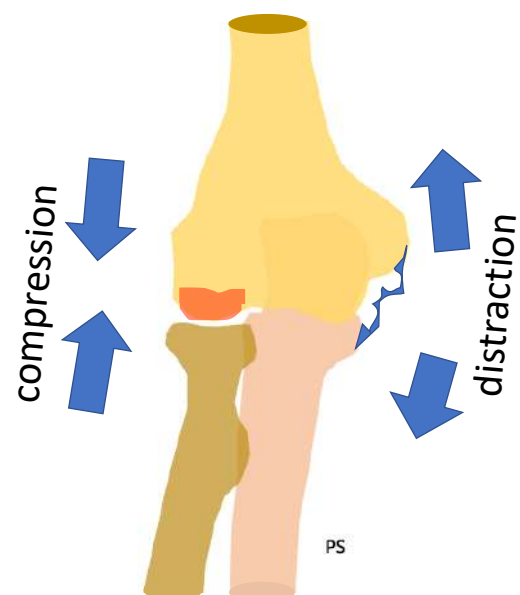
- Who?
 - overhead sports
- MRI appearance:
 - UCL
 - tensile failure and laxity
 - capitellum
 - an osteochondral lesions
 - subchondral edema
 - posteromedial elbow joint
 - cartilage loss
 - osteophyte formation



33

Valgus overload

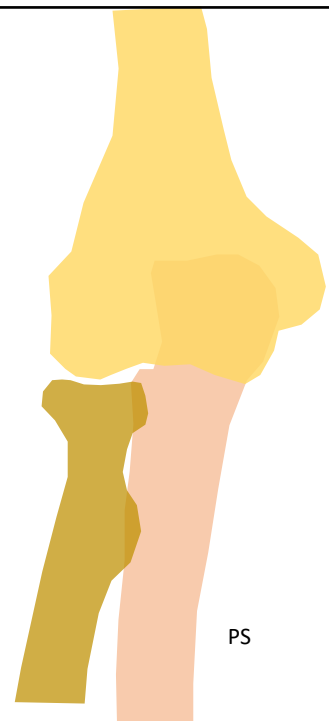
- Who?
 - overhead sports
- MRI appearance:
 - UCL
 - tensile failure and laxity
 - capitellum
 - an osteochondral lesions
 - subchondral edema
 - posteromedial elbow joint
 - cartilage loss
 - osteophyte formation



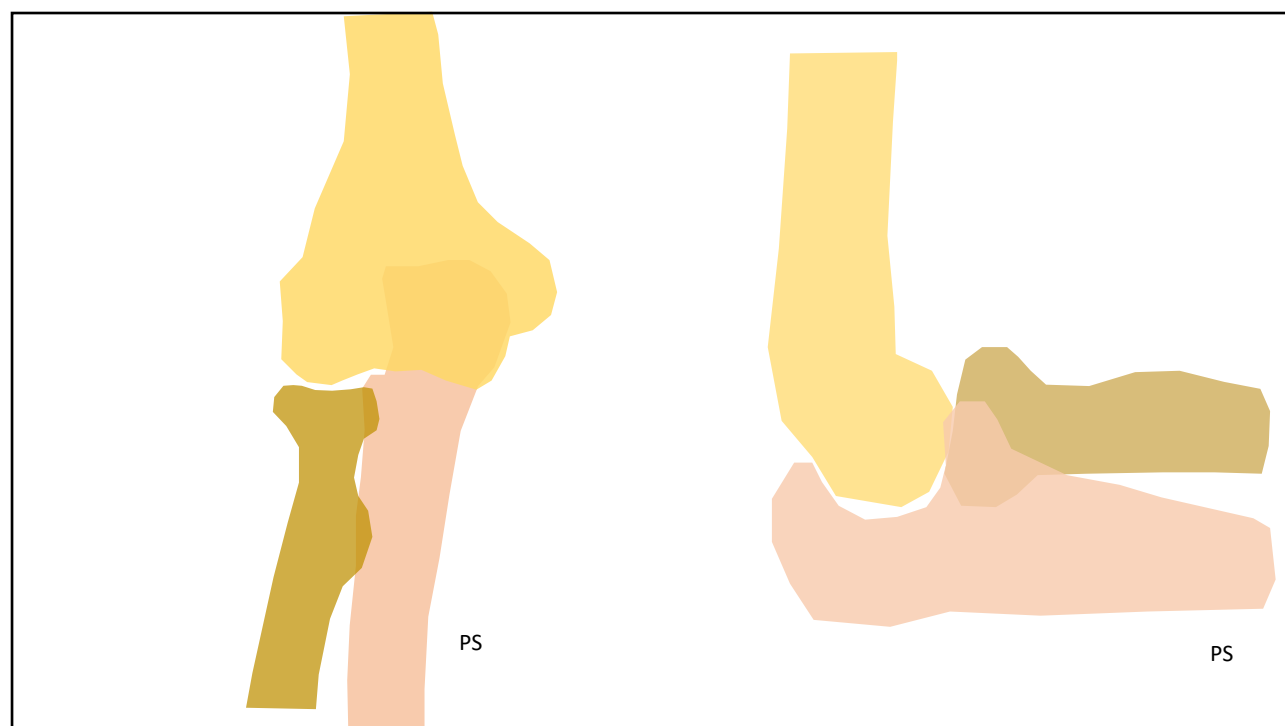
34

Dislocations

- Posterolateral rotatory instability
 - most common pattern of recurrent instability

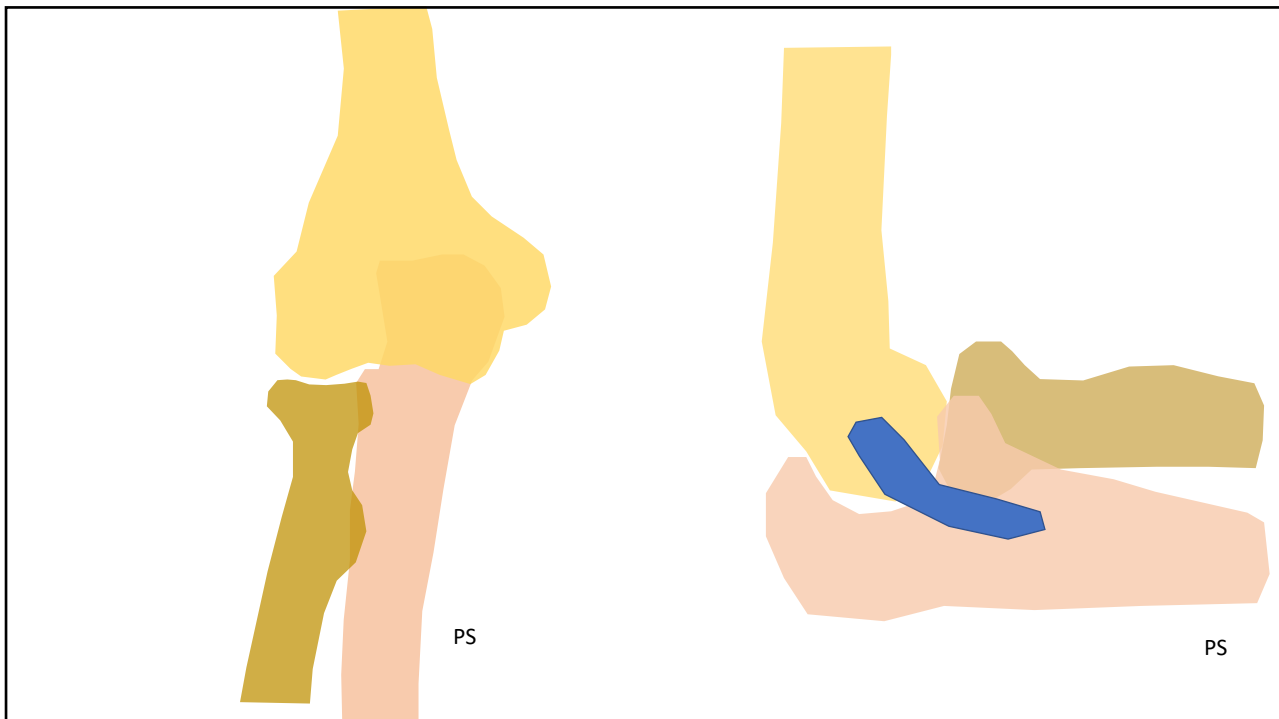


35

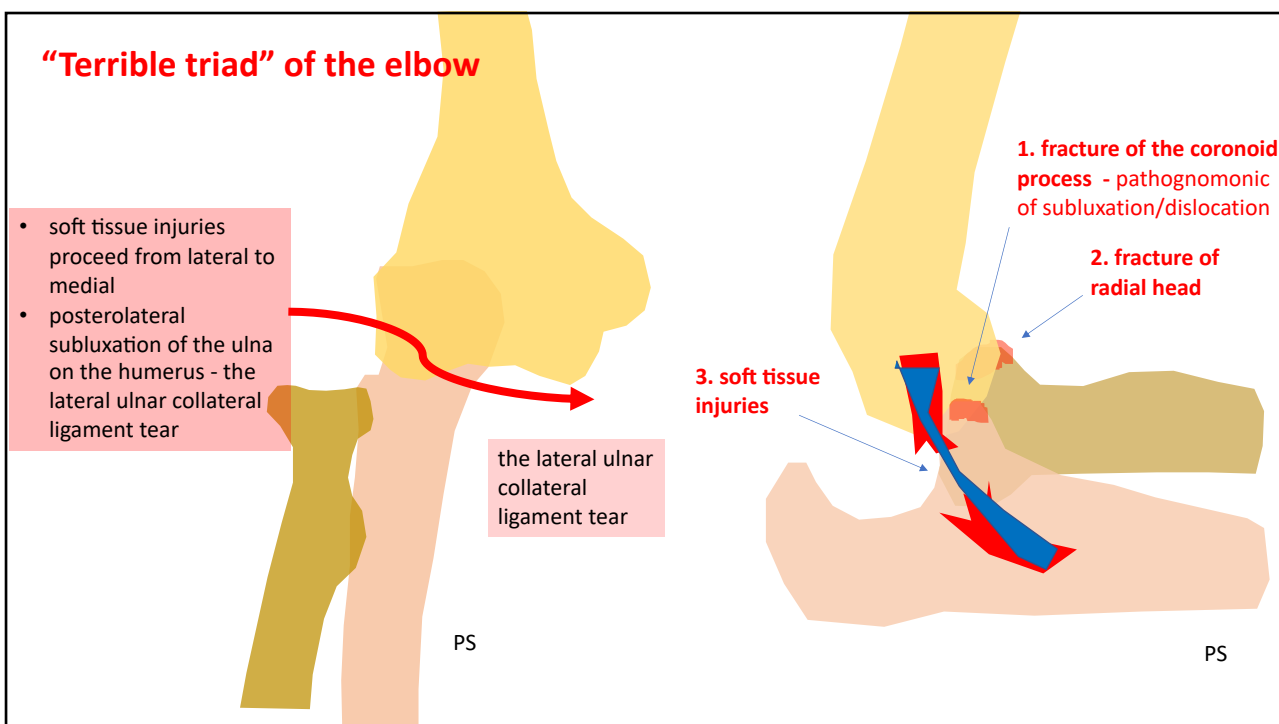


36

17



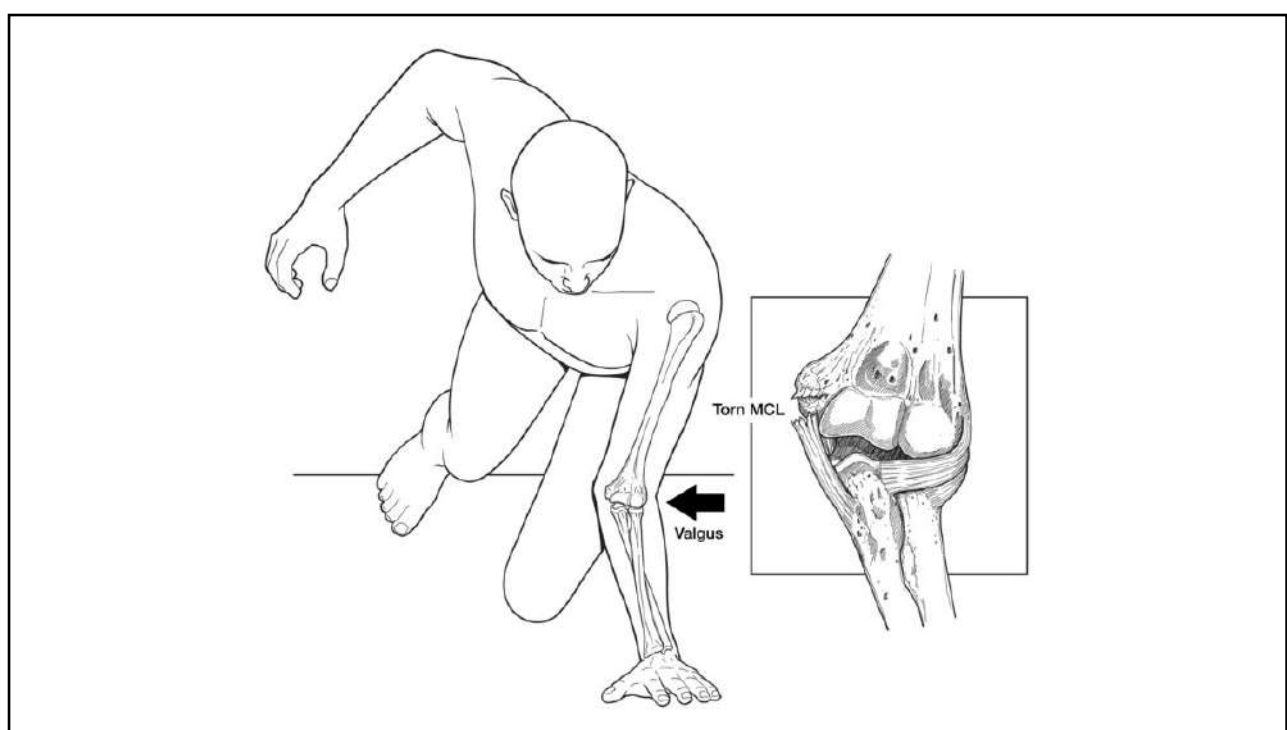
37



38

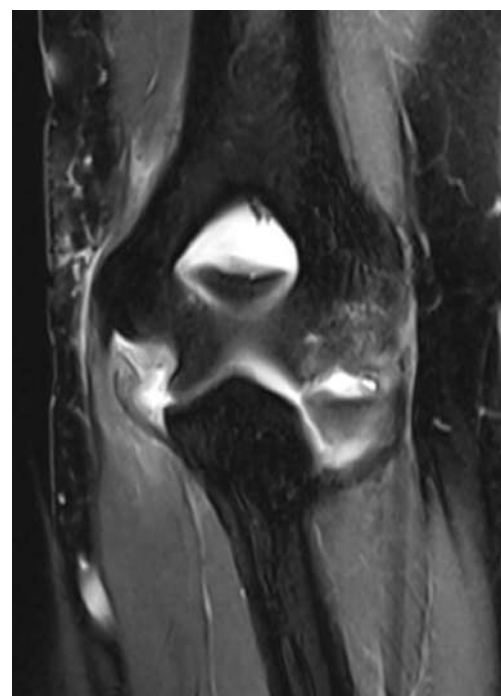


39



40

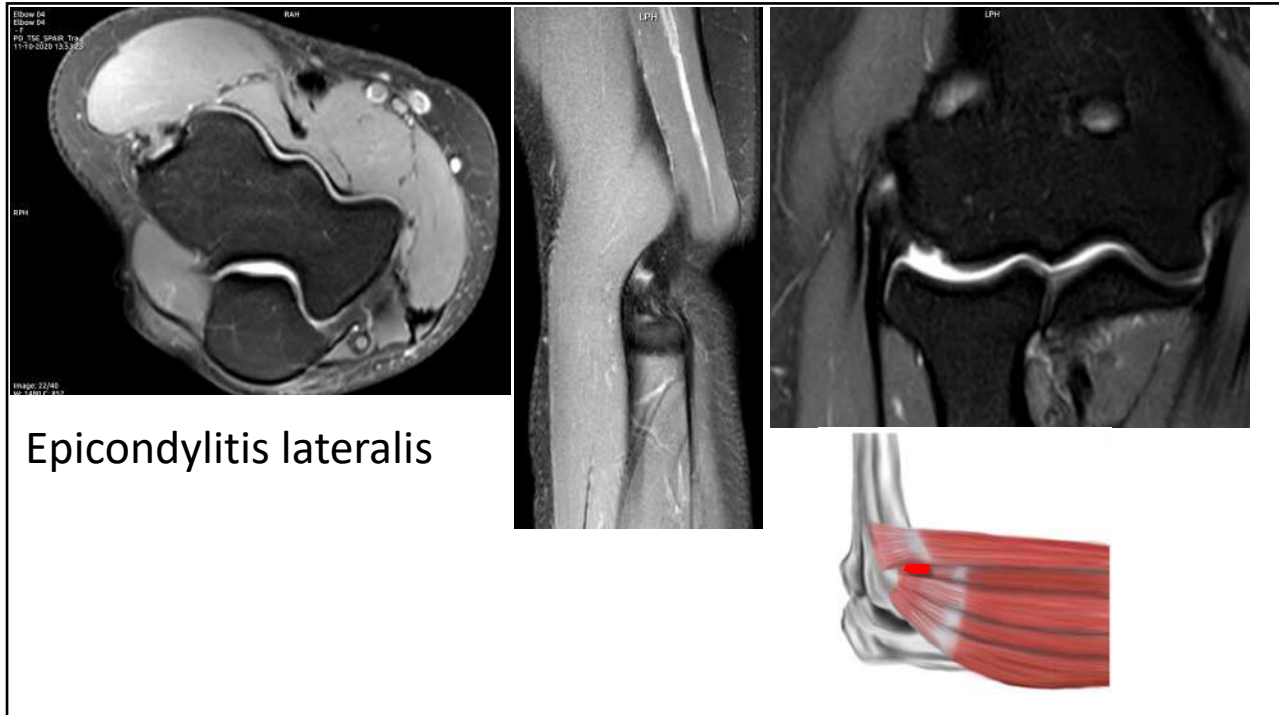
UCL



41

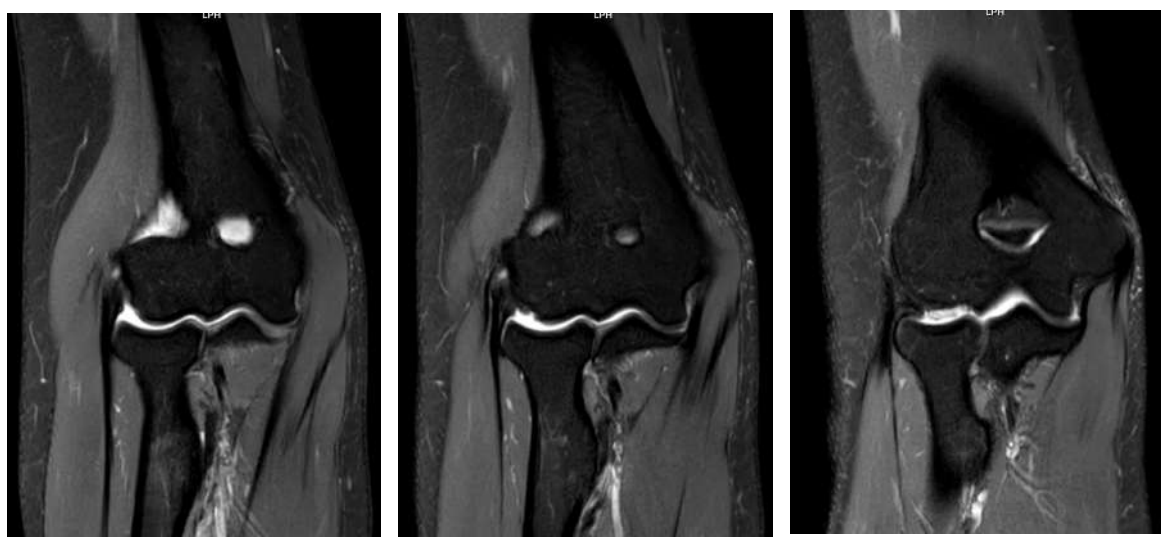
Tendon and Muscles: Pathology

42



44

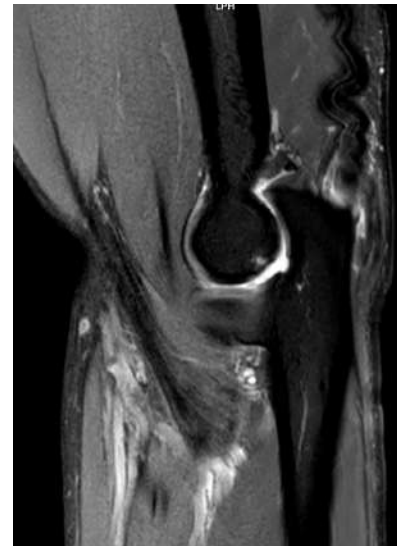
Flexor tendons



45

Rupture of the triceps tendon

- An acute injury - most common in weight lifters and other athletes
- Ruptures:
 - localisation: olecranon insertion
 - complete tears: quite rare
 - partial tears: more common
- Associated findings
 - olecranon bursitis,
 - subluxation of the ulnar nerve,
 - fracture of the radial head



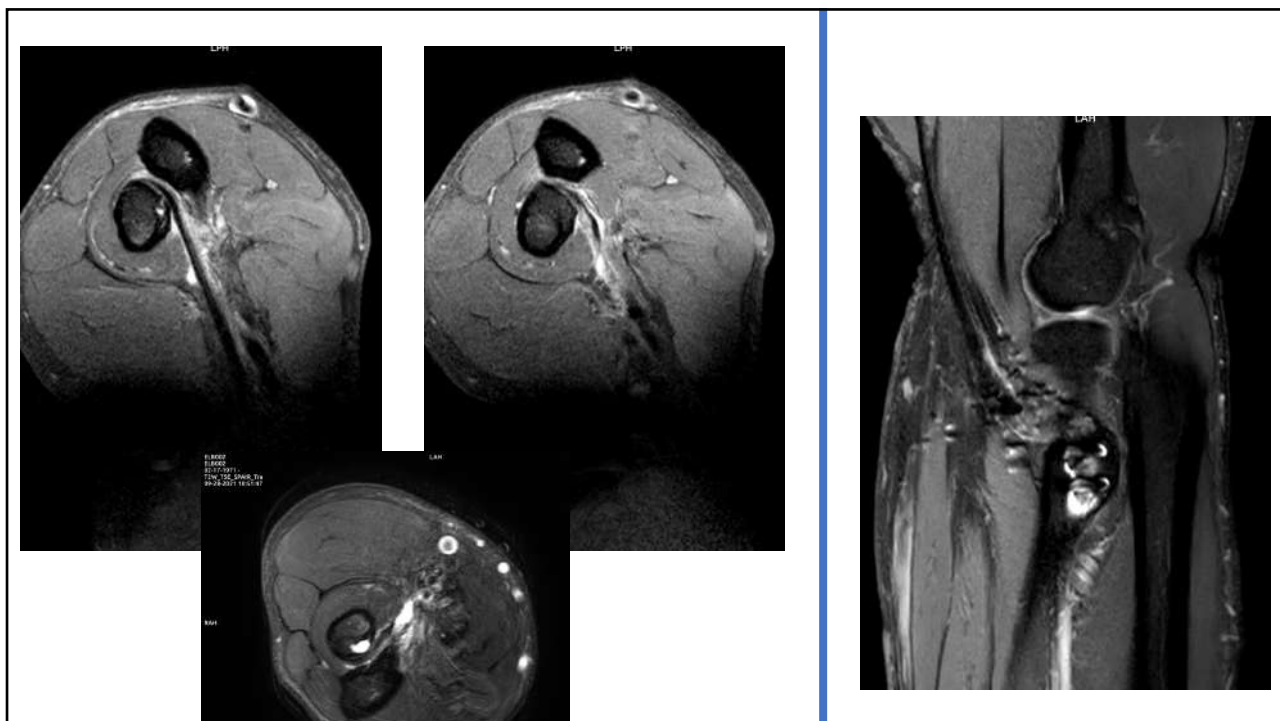
46

Rupture of the tendon of the biceps brachii muscle

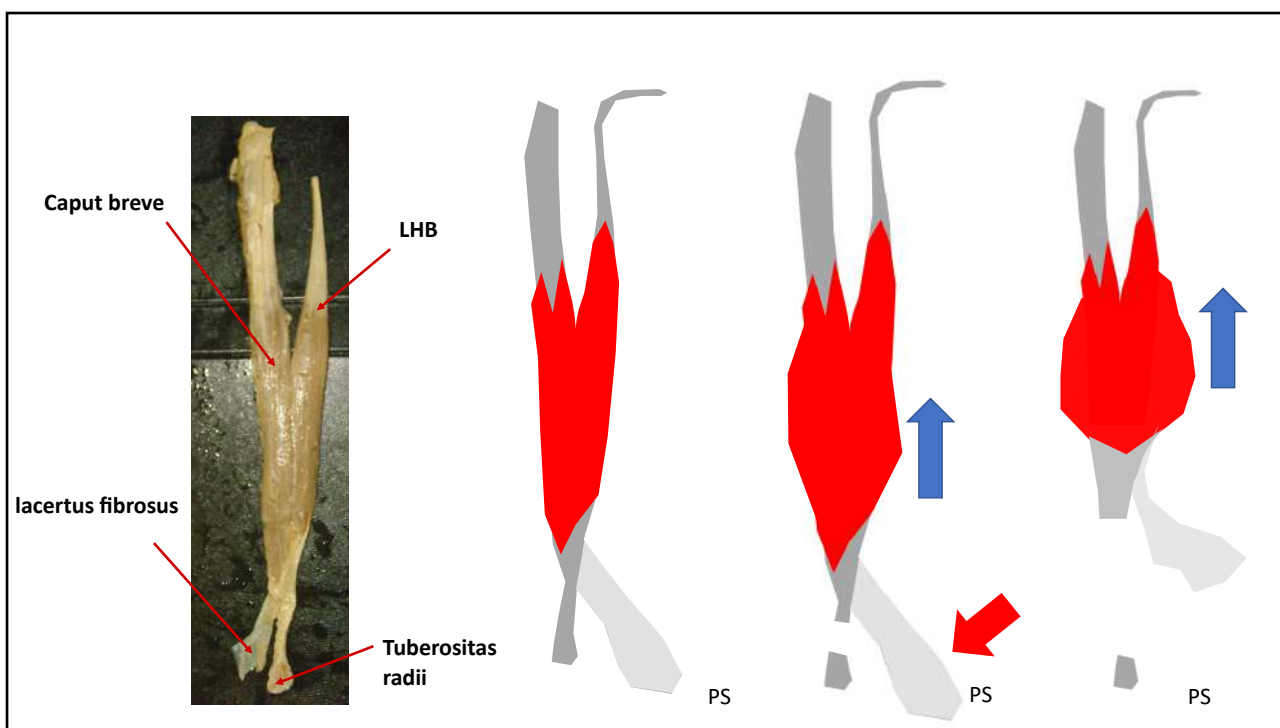
- forced hyperextension to a flexed and supinated forearm
- Accurate clinical diagnosis may be difficult



47



48



49

Nerves



Pathology

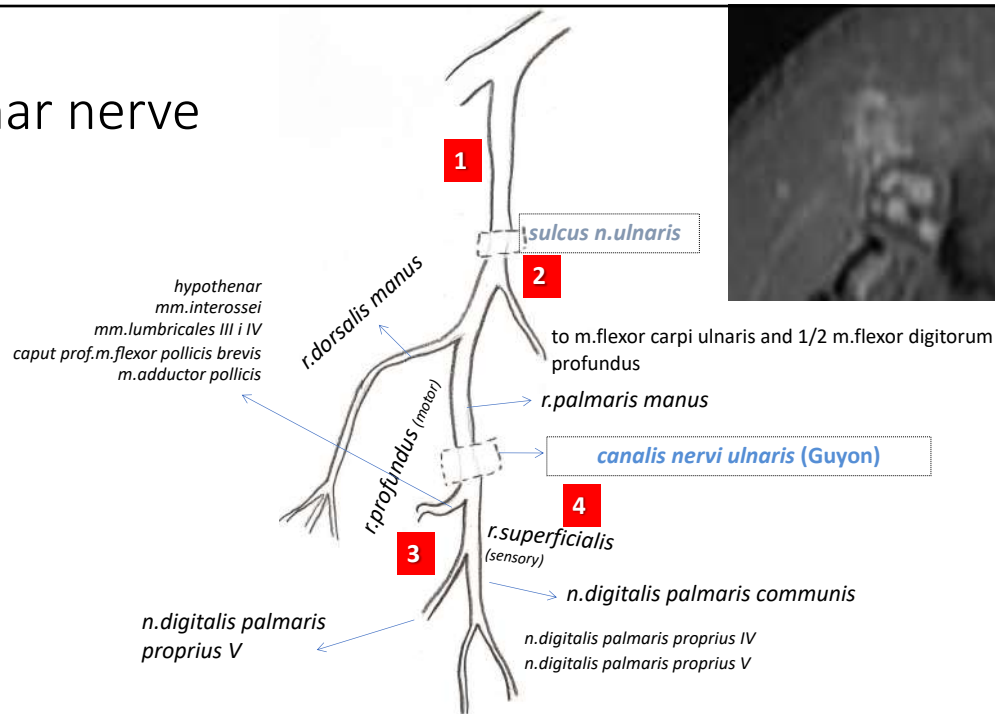
- compression/entrapment
- “non- entrapment”
 - infection
 - polyneuropathy
 - acute trauma
 - iatrogenic injury during arthroscopy

MRI findings:

- changes within the muscles which is innervated by the nerve:
 - acute process:
 - high signal intensity on T2W images with an acute process - edema
 - high signal intensity on T1-weighted images - fatty atrophy

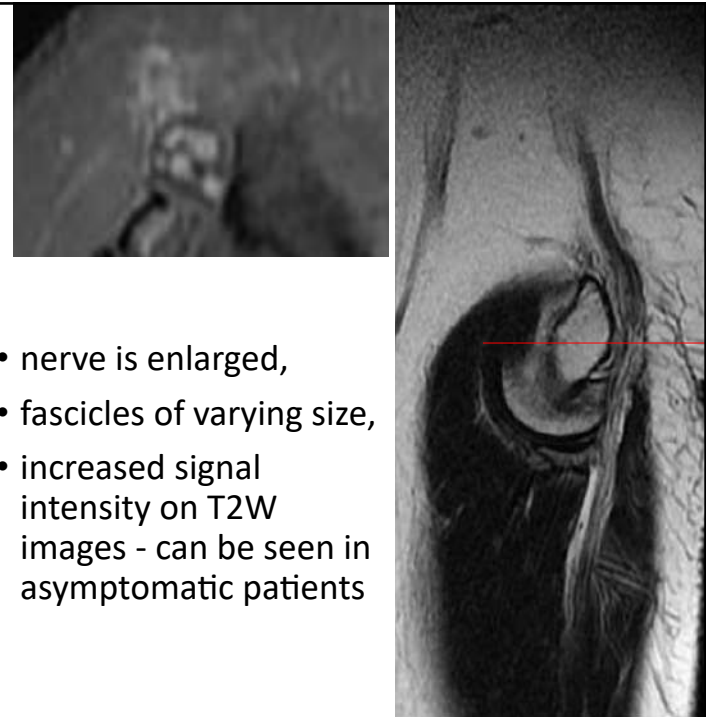
50

Ulnar nerve



51

Ulnar nerve

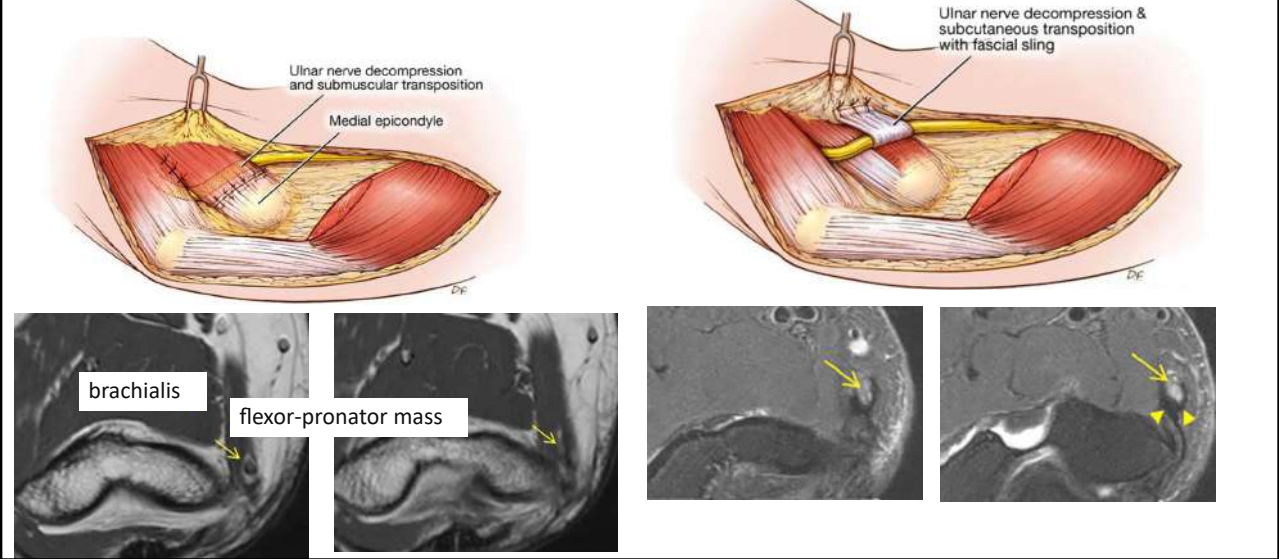


Nerve entrapment

- commonly occurs in the cubital tunnel
- etiology:
 - medial trochlear osteophyte
 - anconeus epitrochlearis muscle
 - adjacent soft tissue mass
- nerve is enlarged,
- fascicles of varying size,
- increased signal intensity on T2W images - can be seen in asymptomatic patients

52

Surgically transposed nerve

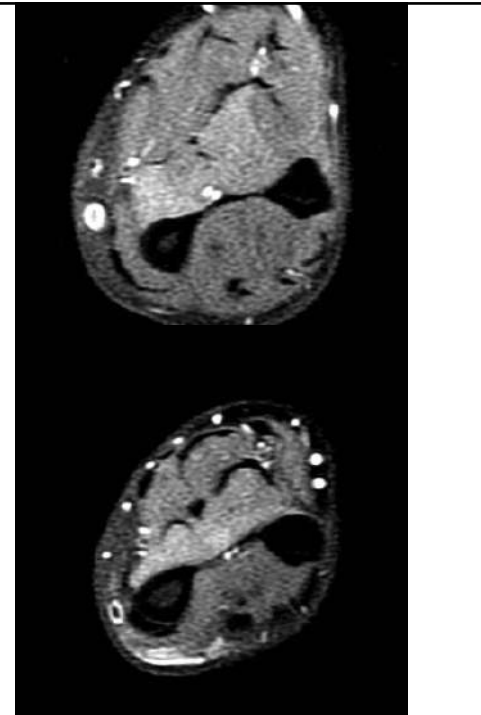


53

Median nerve

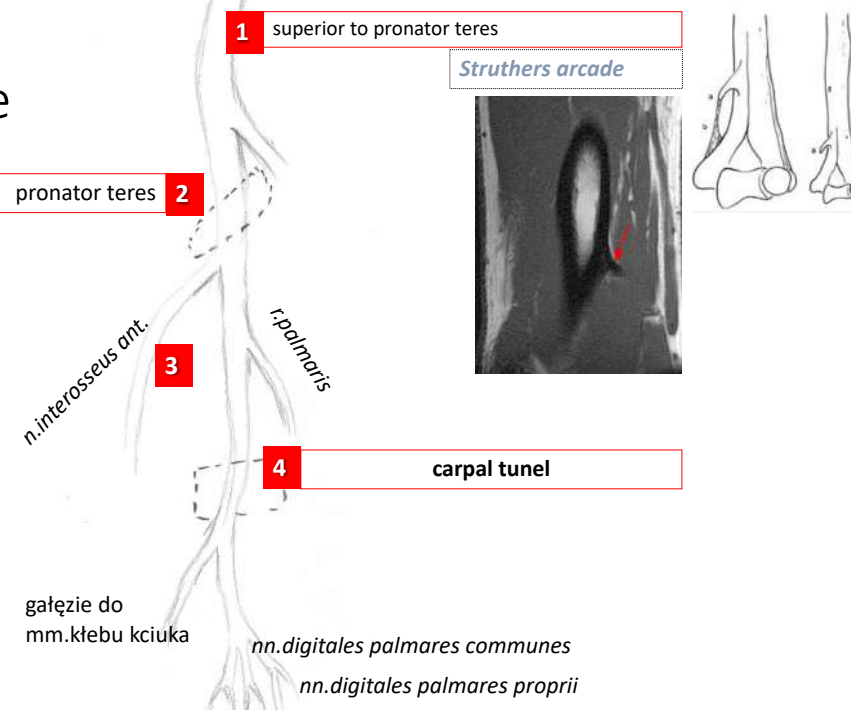
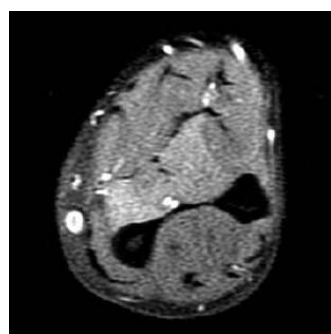
Nerve entrapment

- *supracondylar process* emanating from the anterior cortex of the distal humerus,
- *ligament of Struthers* (supracondylar process syndrome)
- *the pronator teres muscle*
- under the *fibrous arch* of the flexor digitorum profundus (pronator syndrome).
- distally, the *anterior interosseous nerve* may be injured or compressed by an adjacent mass (anterior interosseous nerve syndrome)



54

Median nerve

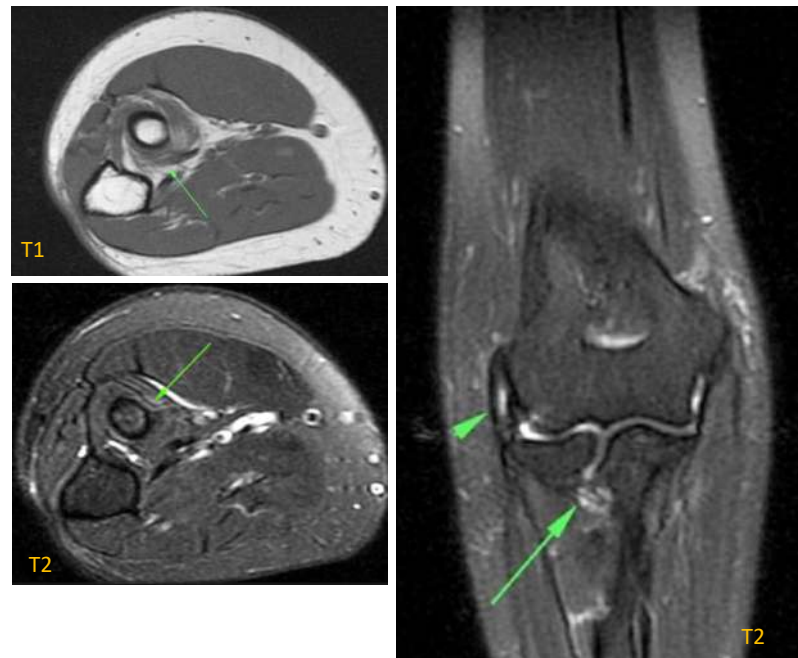


55

Radial nerve

Nerve entrapment

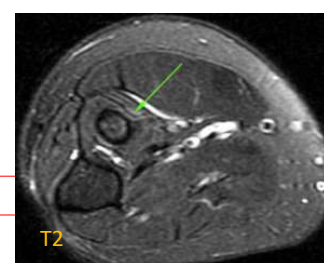
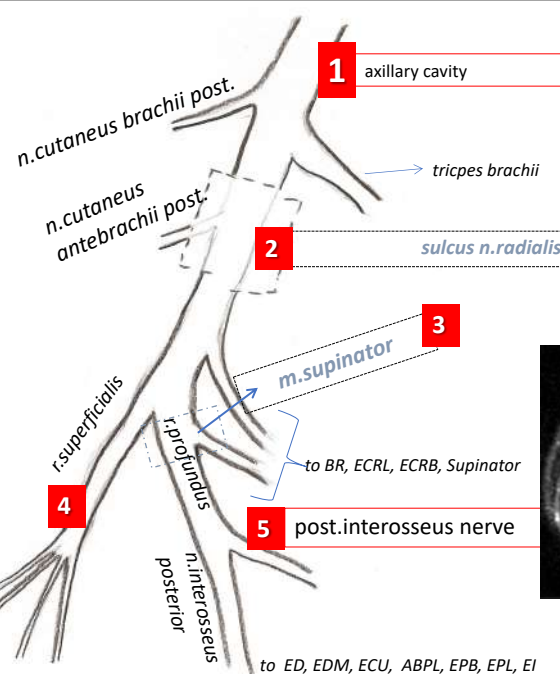
- sulcus nervi radialis
- supinator muscle
- the arcade of Frohse



56

Radial nerve

Wartenberg neuropathy



57

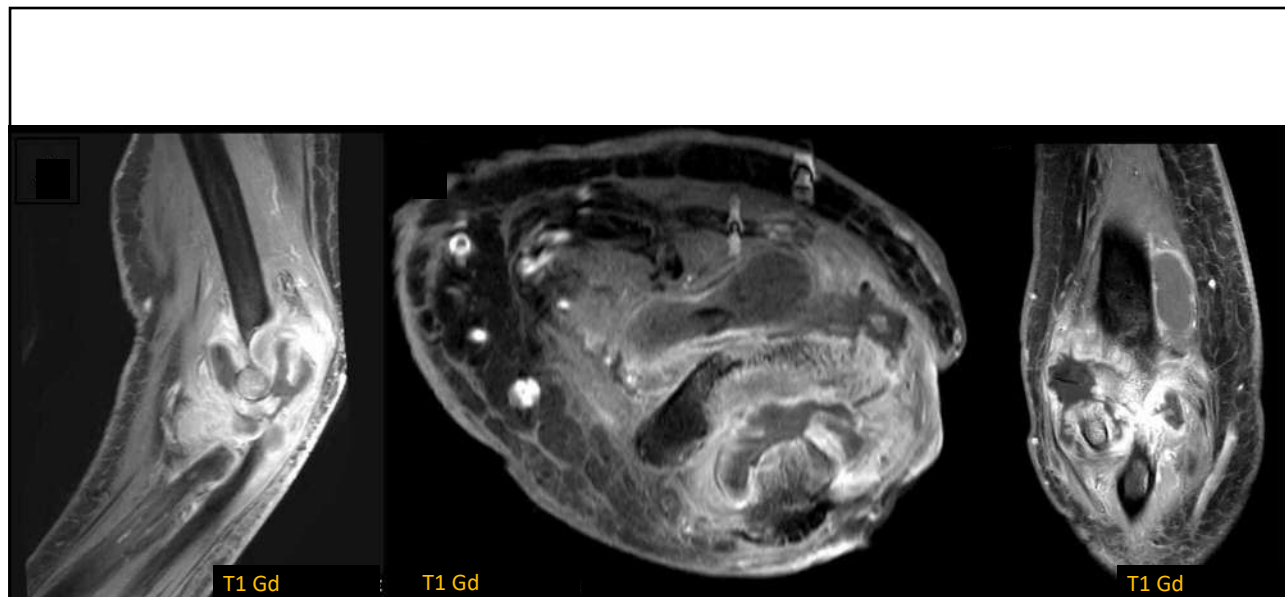
Bursae

- olecranon bursa
- radiobicipital bursa
- interosseous bursa



- bursal distention
- high signal intensity fluid
- infection or hemorrhage:
 - more heterogeneous material on T2W images
 - pronounced synovial enhancement on T1-weighted with Gd

58



Fever, joint pain, swelling, redness, and warmth

59



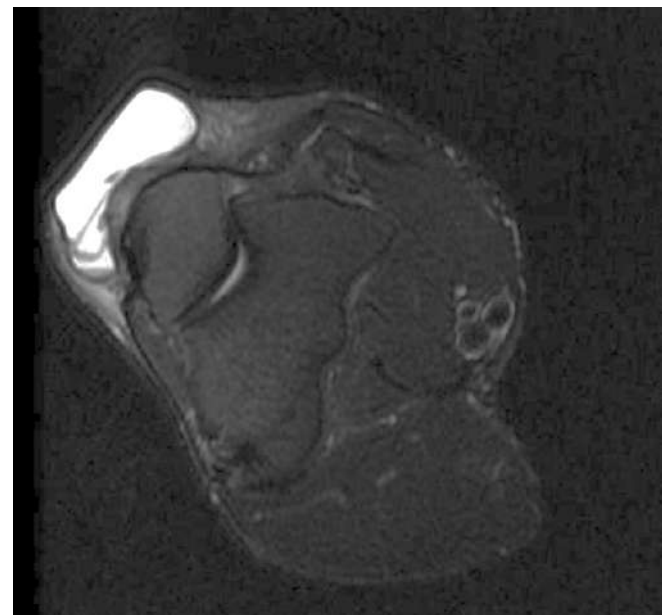
60

Septic arthritis

- Any destructive monoarticular process should be regarded as infection until proven otherwise.
- Accurate correlation with clinical and laboratory findings as well as joint aspiration is recommended



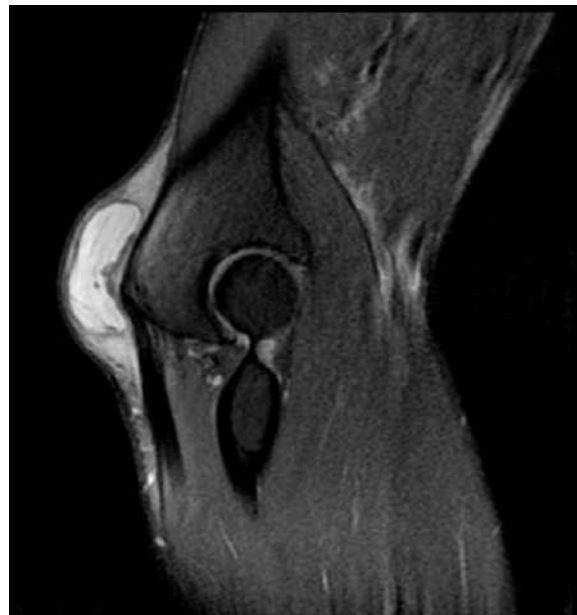
61



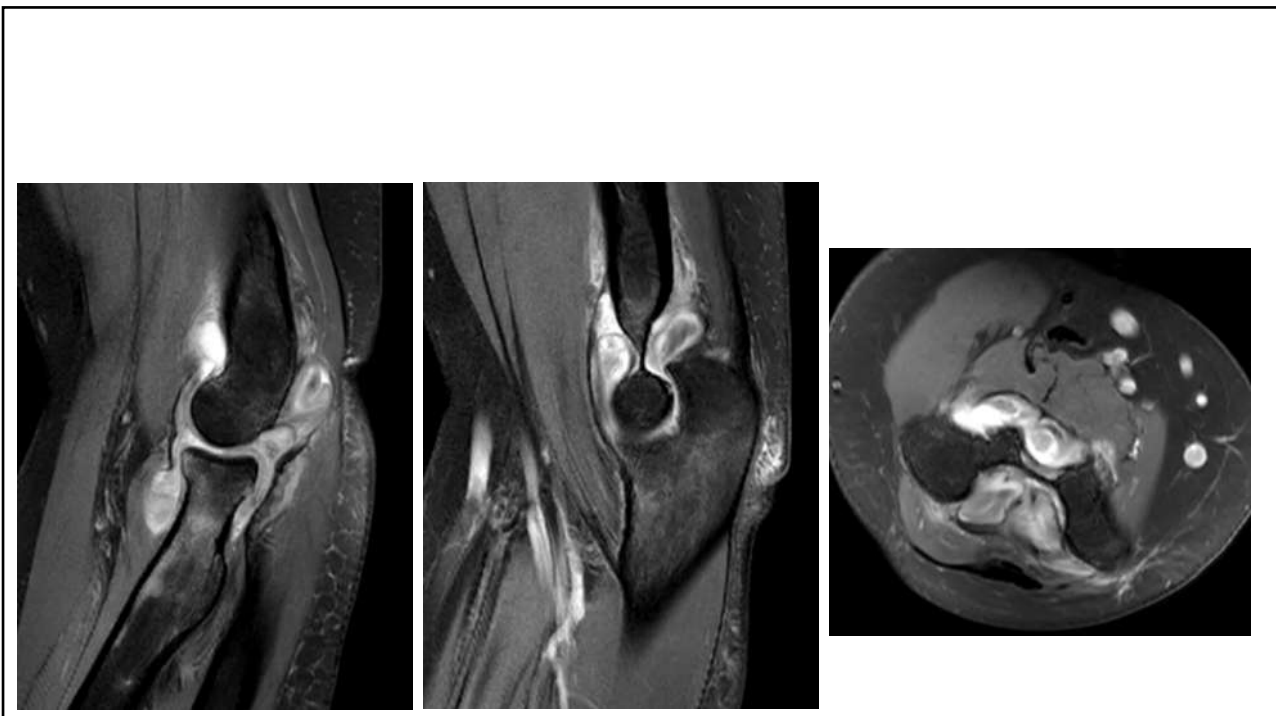
62

Olecranon bursitis

- results from an inflammatory cause
 - septic bursitis - only 25%
 - to bacterial penetration of microtrauma or hematogenous seeding.



63



64

Synovitis

- The most common cause of synovitis in an active, healthy person is overuse of the joint.
- However, synovitis is also common in people who have some form of inflammatory arthritis.

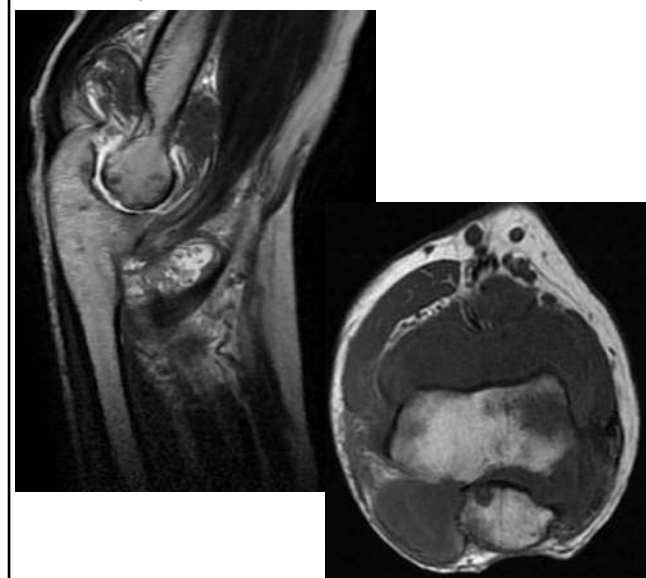


65



66

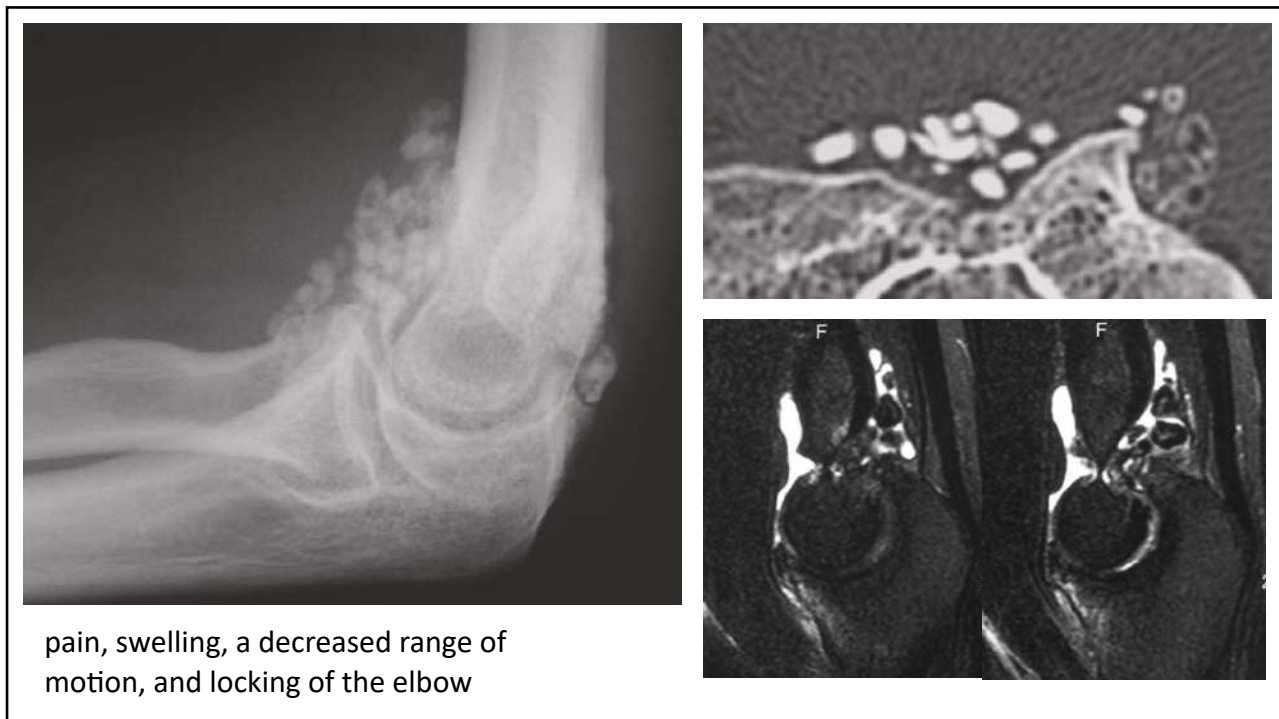
Synovial inflammation



Noninfectious synovial inflammatory processes

- Rheumatoid arthritis
- Gout
- Sodium urate crystals
- Seronegative spondyloarthropathies
- Calcium pyrophosphate dihydrate crystal deposition disease
- Pigmented villonodular synovitis (PVNS)

67



68



69

Thank you!

Pawel Szaro

Sahlgrenska University Hospital, Gothenburg
pawel.szaro@gu.se



@drpawelszaro

Muskuloskeletal radiologi -påbyggnadskurs

(nivå 2 enligt ESR)

Välkommen till kursen i muskuloskeletal radiologi som kommer att hållas i Göteborg den 12–15 maj 2025.

Målgruppen för kursen är ST-läkare (år 3–5) samt specialister som vill vidareutveckla och fördjupa sina kunskaper inom systematisk granskning av röntgenbilder, datortomografi, ultraljud och magnetresonans.

Målet med kursen är att träna på en systematisk bedömning av undersökningar och fördjupa de kliniskt viktiga aspekterna av muskuloskeletal radiologi inom områdena trauma, inflammationer, infektioner och tumörer, som alla modaliteter. En viktig del av kursen består av återkoppling från ortopedier. En stor del av kursen ägnas åt praktisk analys av undersökningar under handledning av en erfaren radiolog.

Pawel Szaro,
 Sahlgrenska Universitetssjukhuset,
 Göteborgs Universitet
 Ordförande för Svensk Förening för
 Muskuloskeletal Radiologi (SFMSR)

Läs mer och anmäl
 dig via QR-kod



MR HANDLED - HAND

ST-kurs Muskuloskeletal MR - Övre extremitet
RÖNTGENVECKA 2024 ÖREBRO

SEppo KOSKINEN, M.D., Ph.D
Enheten för radiologi
Institutionen för klinisk vetenskap, intervention
och teknik (CLINTEC)
Karolinska Institutet/Karolinska Universitetssjukhus
Radiclog, Terveystalo
Konsult, ME Radiolog KS Solna



Terveystalo



1

HANDED

PATIENTEN LIGGER

- på ryggen – surface coil vid sidan – kräver homogent magnetfält, brett gantry
- på magen – knäspol, handledsspol - > mitt på magnetfältet ("sweet spot")
- Se till att patienten ligger bekvämt och stilla

2



3

AVBILDAT OMRÅDE handled- hand

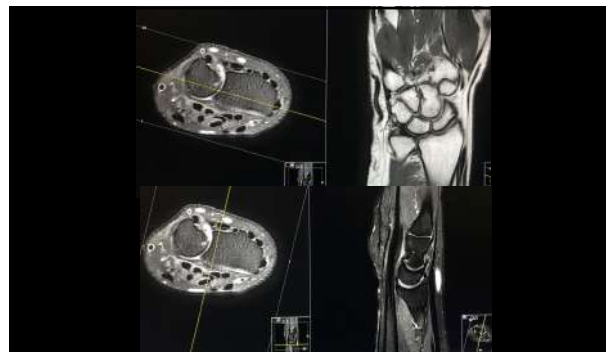
- 2-3 mm
- FOV 8-12 cm
- i.v. Gd: tumörutredning, artrit, infektion

4

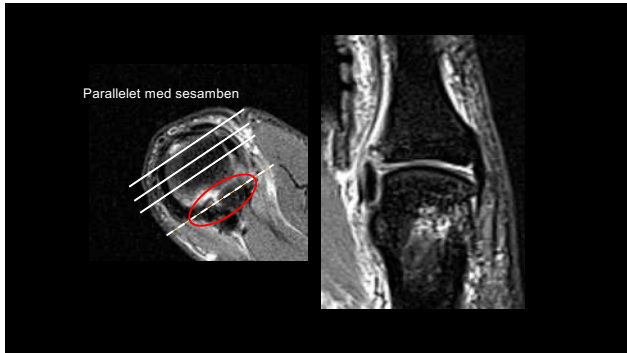
SEKVENSER

- | | |
|-------------|---------------|
| • AX | • PD FATSAT X |
| – T1 | 3 |
| – T2 FATSAT | • T1 KOR |
| • KOR | |
| – T2 FATSAT | |
| – T1 | |
| • SAG | |
| – T1 | |

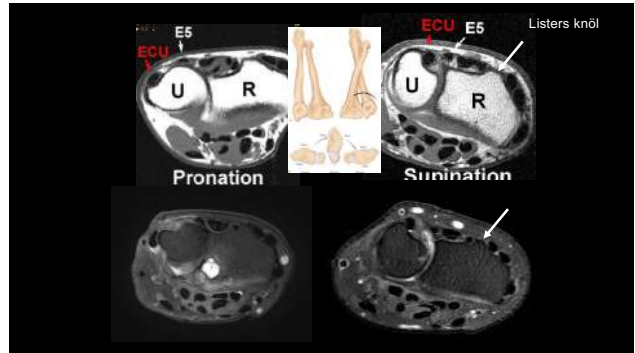
5



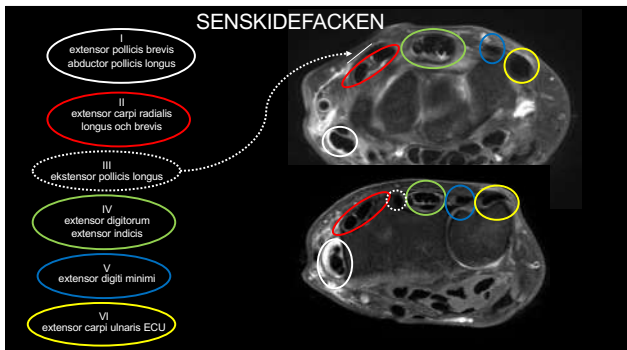
6



7



8



9



10



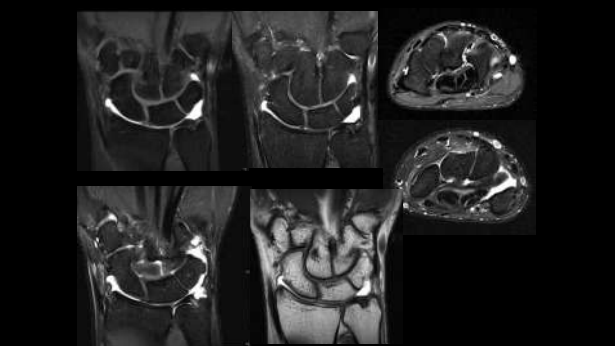
11



12

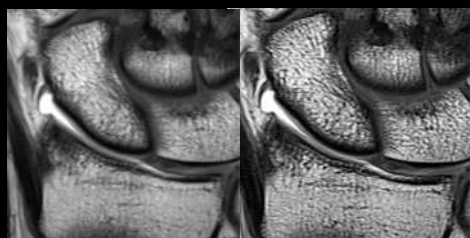
MAGNETARTROGRAFI HANDLED

- indikationer
 - TFCC-skada.
 - Sensitivitet med TFC-rupturer >90%
 - Ligamentskador SLL, LT
 - SLL: Sensitivitet 86-92%, specificitet 46-100%



13

14



15

MAGNETARTROGRAFI HANDLED

- 2-4 ml radiokarpalled
 - UL-styrd, genomlysning, palpation
- 23 G nål (0.6mm)
- 1 cm distalt om Listers knöll 15° kranieellt och antydd radialt
- Undvik scapholunarspringa -> risk för att spruta in kontrast både i radiokarpalled OCH i interkarpal (midcarpal) led



16

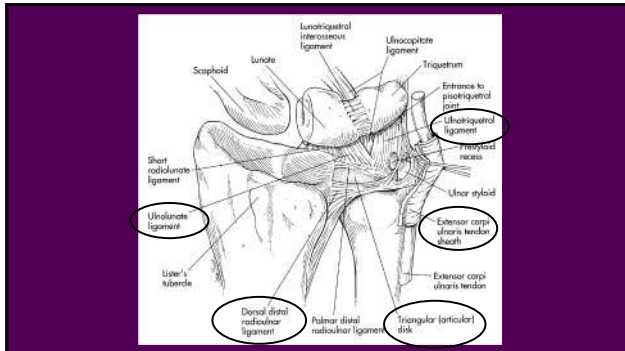
TFCC

- Central för (DRUJ) stabilitet
- Överförs axial belastning från karpus till ulna
- Ansvarig för ulnar karpal stabilitet

- TFCC: anatomi
 - **TFC** Dorsal och volar radioulnarligenament
 - Volart ulnolunate och ulnotriquetralligament
 - Meniskhomolog
 - ECU senskida
 - Ulnar kollateral ligament
 - Triangularligament

17

18



19

TFC-skada

(Palmer AK. Triangular fibrocartilage complex lesions: a classification. J Hand Surg Am 1989; 14A: 594-606)

-akut

- **1A:** 1 mm bredd spalt sentralt, 2-3 mm från radiusfästet, radioulnarligament är intakta. **Den vanligaste skadan**
- **1B:** avulsion ulnart, kan ha associerad fraktur i proc styloideus ulnae
- **1C:** perifert, distal ulnolunate- och ulnoliquetumligamentruptur. Ovanlig och svårt att diagnostisera med MRT
- **1D:** avulsion från radiusfaste. Ovanlig, relativt lätt att diagnostisera med MRT

20

TFC-skada

- kronisk

- **2A:** TFC degeneration
- **2B:** 2A+ kondromalasi i lunatum och/eller ulna
- **2C:** TFC perforation + kondromalasi i lunatum och/eller ulna
- **2D:** 2C + LT ligamentruptur
- **2E:** 2D + ulnokarpal- och DRUJ-artros

21



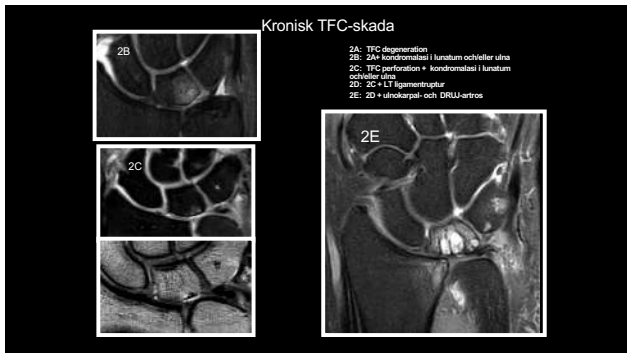
22



23



24



25

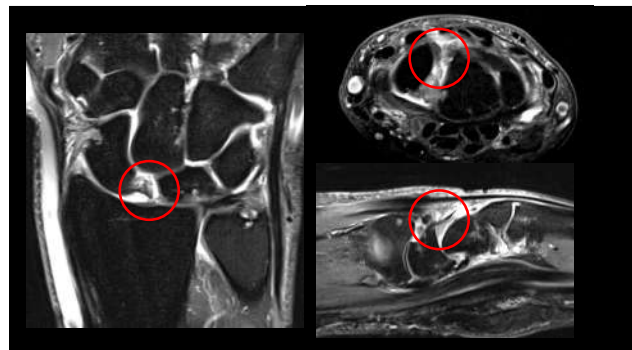
SLL;LTL

- scapholunate (SLL) ja lunotriquetral ligament (LTL)
 - Tre komponenter: dorsal och volar komponent stark bindvävnad, fäster på bredvidliggande karpala ben och extrinsika ligament
 - SLL *dorsal* komponent är den starkaste (och viktigaste)
 - LTL *volar* komponent är den starkaste (och viktigaste)

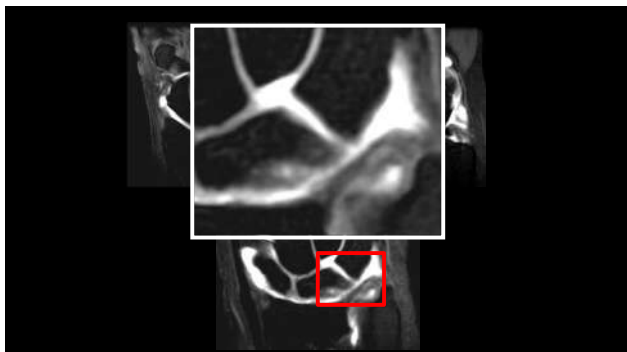
26



27



28

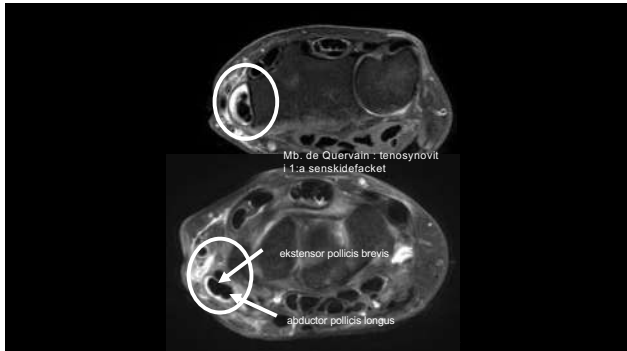


29

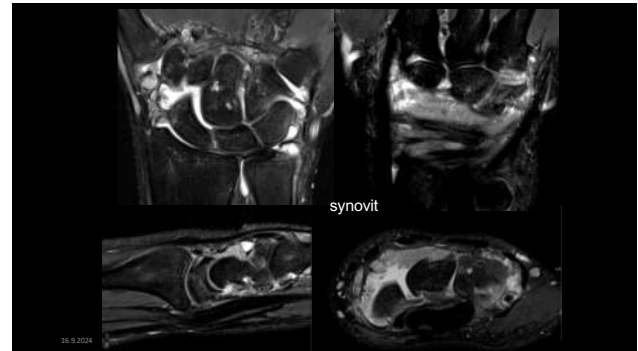
Mb. de Quervain

- en lokal inflammatorisk process med smärta och ibland svullnad över det 1:a dorsala senskidefacket vid *processus styloideus radii*
- Tillståndet är namngivet efter den schweiziske kirurgen Fritz de Quervain som först beskrev tillståndet 1895
- Synonymer är stenoserande tendovaginit, radial handledstenosynovit, de Quervains tendinit

30



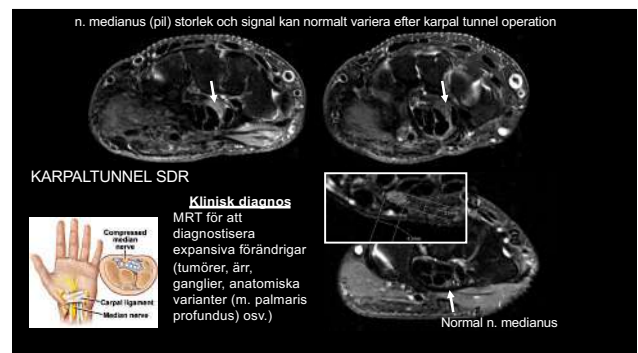
31



32



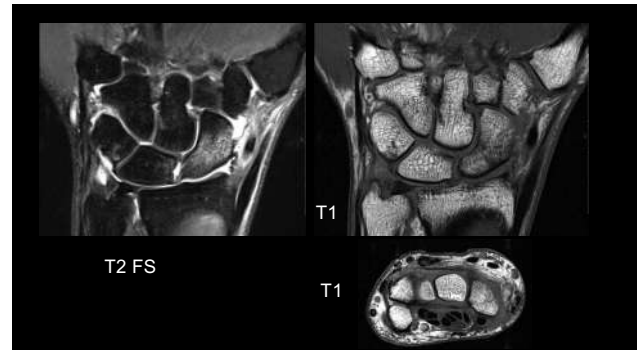
33



34



35



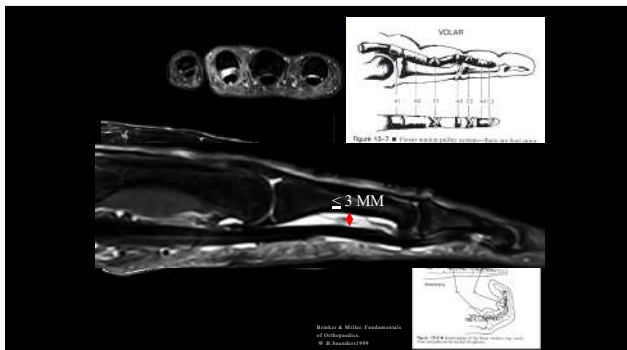
36



37



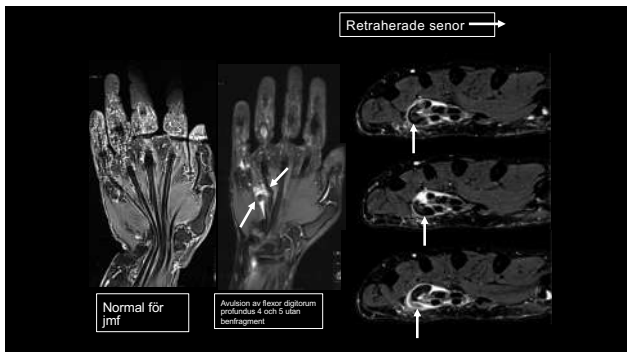
38



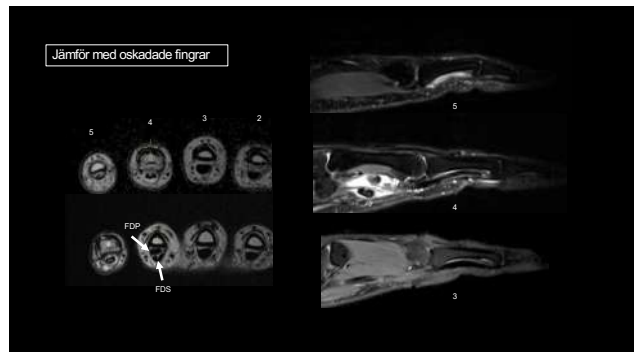
39



40



41



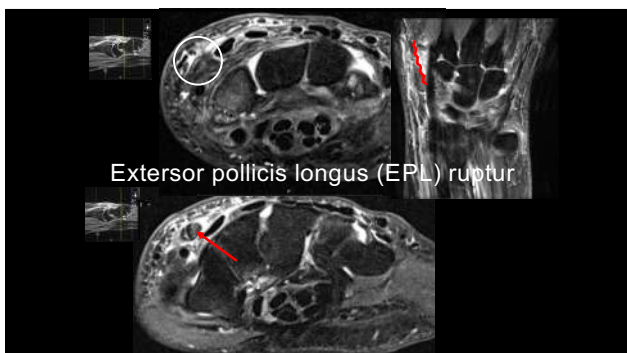
42



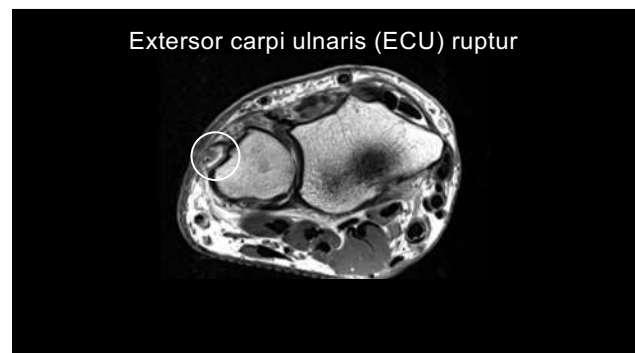
43



44



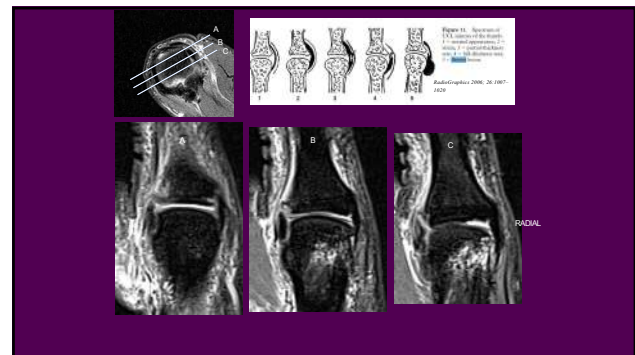
45



46



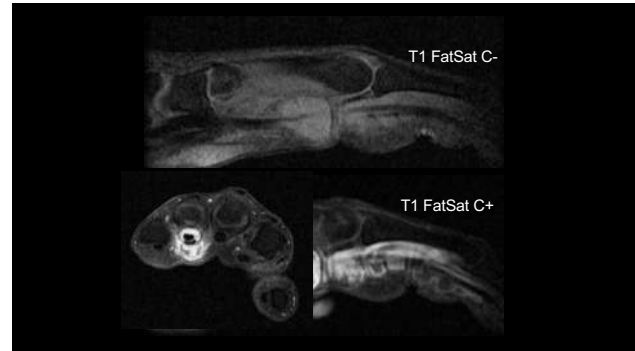
47



48



49



50

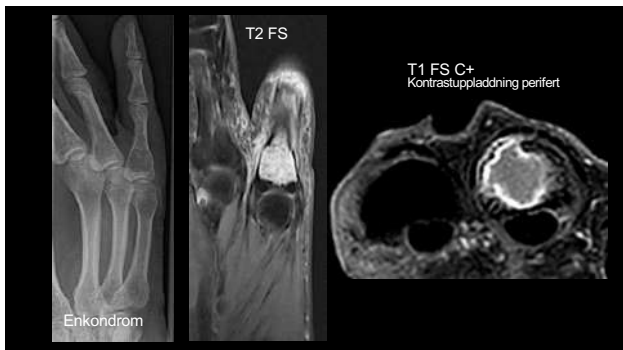


51

Lesion	No. of Total Cases	No. in Hand and Wrist
Benign		
Hemangioma*	736	362 (50%)
Giant cell tumor	1,361	156 (11.2%)
Osteoid osteoma	1,061	65 (6%)
Aneurysmal bone cyst	703	102 (14.5%)
Osteochondroma	727	28 (6%)
Osteoid osteoma	225	9 (6%)
Chondroblastoma	112	4 (3.5%)
Exostosis†	1,177	37 (3%)
Hemangioma	347	12 (3.4%)
Benign vascular tumor	333	5 (1.5%)
Intramedullary ganglion	76	6 (8.5%)
Schwannoma	597	11 (1.8%)
Intracystic cyst	397	2 (0.4%)
Chondroblastoma	294	1 (0.3%)
Hemangioma	386	1 (0.2%)
Malignant		
Malignant vascular tumor	98	6 (6%)
Chondrosarcoma	293	1 (0.3%)
Osteosarcoma	1,460	30 (2%)
Osteosarcoma, high grade	2,956	14 (0.4%)
Central low grade	43	1 (2.4%)
Periosteal	17	1 (6.0%)
Telangiectatic	37	1 (2.7%)
Malignant fibrous histiocytome	255	8 (3%)
Ewing's sarcoma	221	1 (0.4%)
Mesothelioma	5,040	29 (0.5%)
Myxoma	1,054	2 (0.2%)
Lymphoma	134	6 (0.7%)

*Does not include Ollier's disease or Maffucci's syndrome.
†Does not include multiple hereditary exostosis.

52



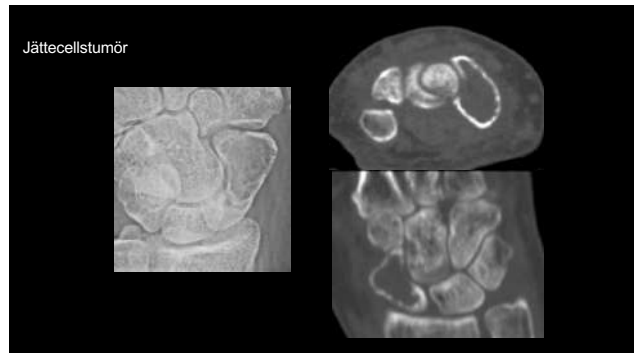
53



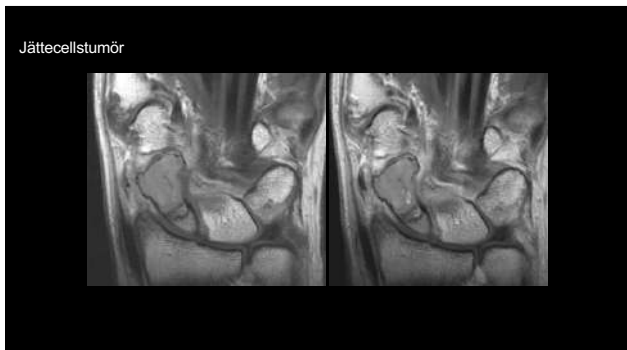
54



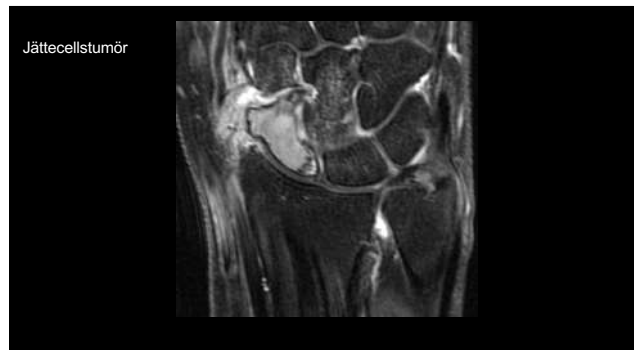
55



56



57

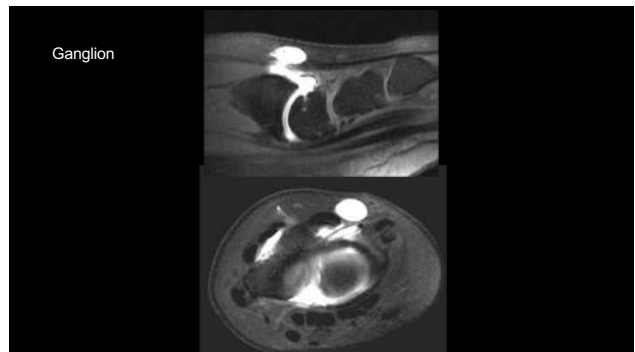


58

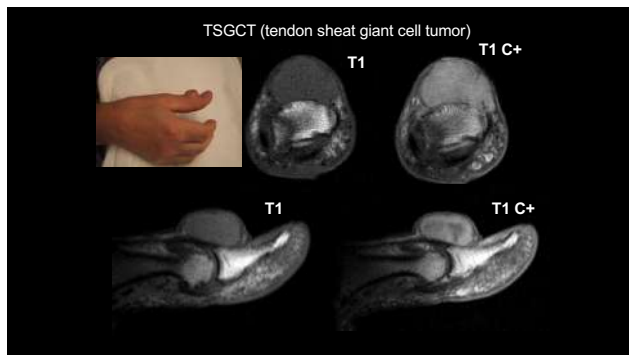
TABLE 5-2. SOFT-TISSUE TUMORS AND TUMOR-LIKE CONDITIONS IN THE HAND AND WRIST¹¹⁻¹³

Lesion	No. of Total Cases	No. in Hand and Wrist
Benign		
Ganglion cyst	—	—
Pigmented intradermal synovitis (RCT tendon sheath)	410	180 (44%)
Hemangioma	483	53 (12%)
Lipoma	402	24 (6%)
Gleoma tumor	52	27 (52%)
Neurofibroma	85	10 (12%)
Mollular fascitis	19	2 (11%)
Myxoma	49	1 (2%)
Peritoneal pseudotumor	18	20 (11%)
Malignant		
Synovial sarcoma	229	19 (8%)
Fibrosarcoma	311	13 (4%)
Malignant fibrous histiocytoma	381	7 (2%)
Malignant osteosarcoma	91	3 (3.2%)
Uterine sarcoma	70	1 (1.4%)
Malignant peripheral nerve sheath tumor	94	4 (4.2%)
Epithelioid sarcoma	31	10 (32%)
Uri sarcoma	307	1 (0.0%)
Extraskeletal chondrosarcoma	28	5 (18%)

59



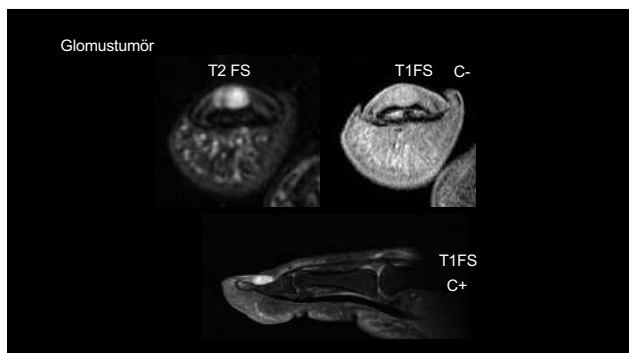
60



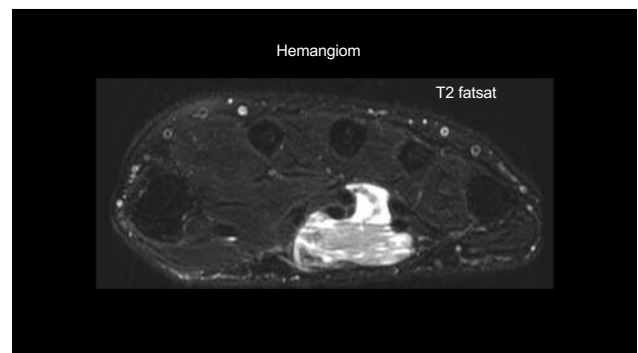
61



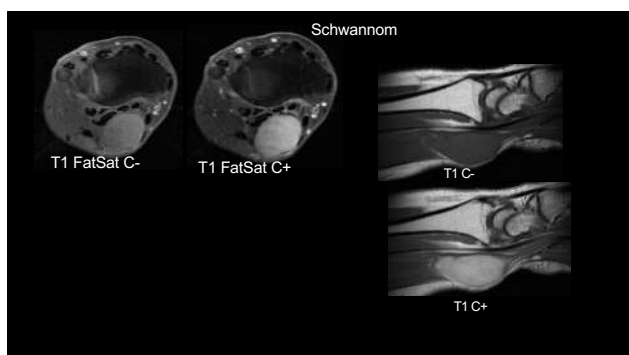
62



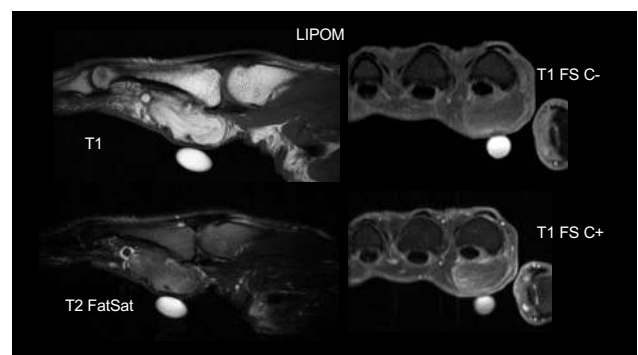
63



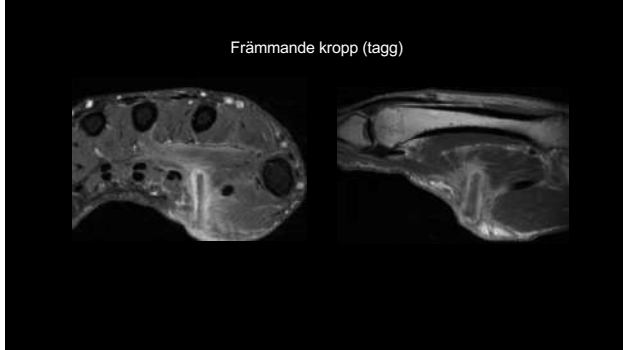
64



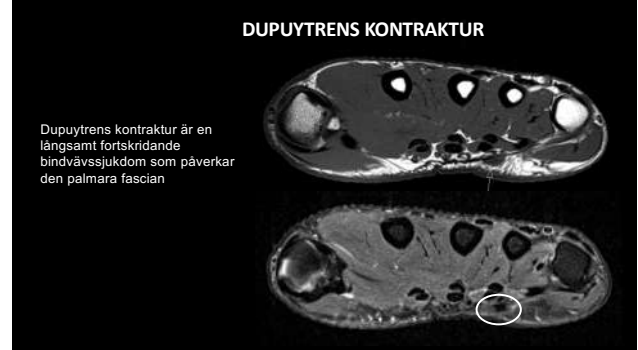
65



66



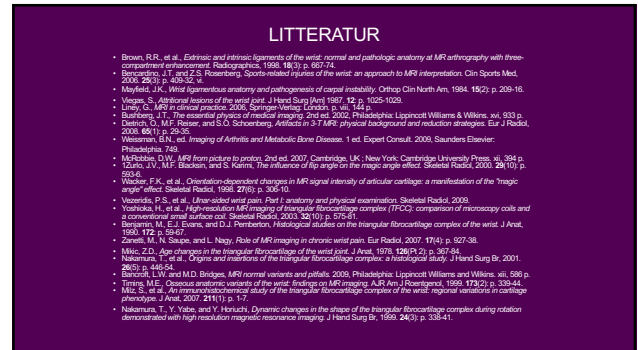
67



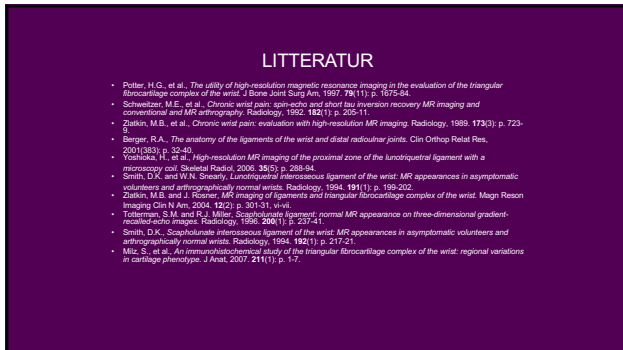
68



69



70



71